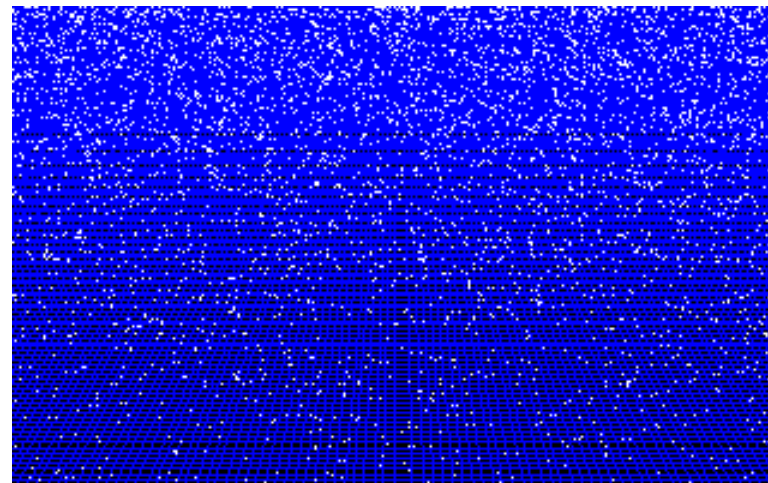


Gravitatie en kosmologie

FEW cursus



Jo van den Brand & Mathieu Blom
Gravitatiegolven: 14 november 2011

MOTIVATIE

Einstiens gravitatie:

$$G_{\alpha\beta} = 8\pi T_{\alpha\beta}$$

Gravitatie is geometrie

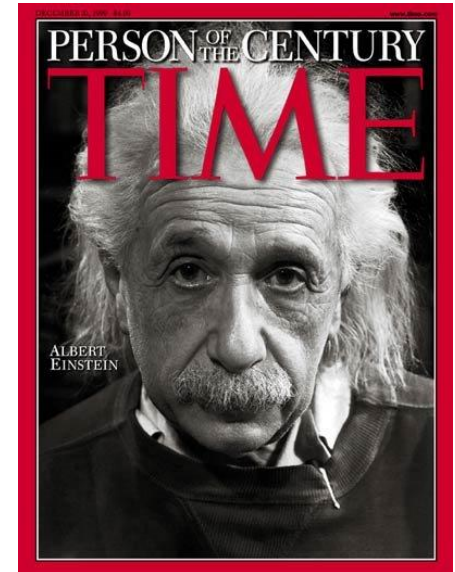
Ruimte en tijd zijn fysische objecten

▪ Gravitatie

- Minst begrepen interactie
- Wereldwijde intellectuele activiteit
 - Theoretisch: ART + QM, kosmologie
 - Experimenteel: interferometers op Aarde en in de ruimte

▪ Gravitatiegolven

- Dynamisch deel van gravitatie, ruimte is gevuld met GW
- Ideale informatiedrager, bijna geen verzwakking
- Het hele Universum was transparant voor GWs, helemaal tot aan de Oerknal

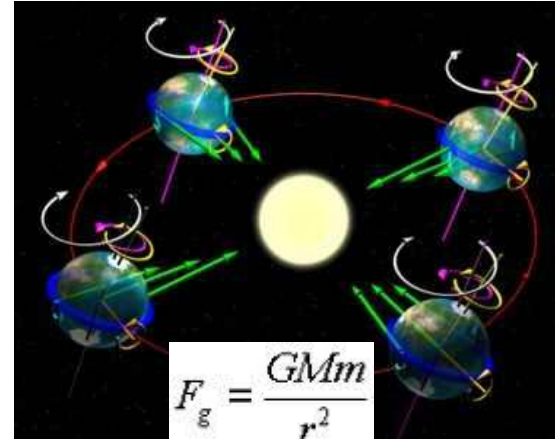


GRAVITATIE

- Newtons zwaartekrachtstheorie (1687)

Gravitatie is een kracht die massa's op elkaar uitoefenen

Deze kracht is *instantaan*



GRAVITATIE

- **Newton's zwaartekrachtstheorie (1687)**

Gravitatie is een kracht die massa's op elkaar uitoefenen

Deze kracht is *instantaan*

- **Einstiens speciale relativiteitstheorie (1905)**

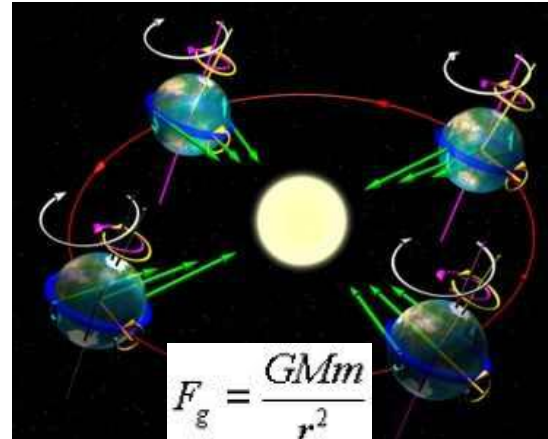
Natuurwetten zien er hetzelfde uit voor alle inertiële waarnemers

Licht beweegt met dezelfde snelheid volgens alle waarnemers

→ Nauwe relatie tussen ruimte en tijd ("ruimtetijd")

→ Informatie kan hoogstens met lichtsnelheid worden overgedragen

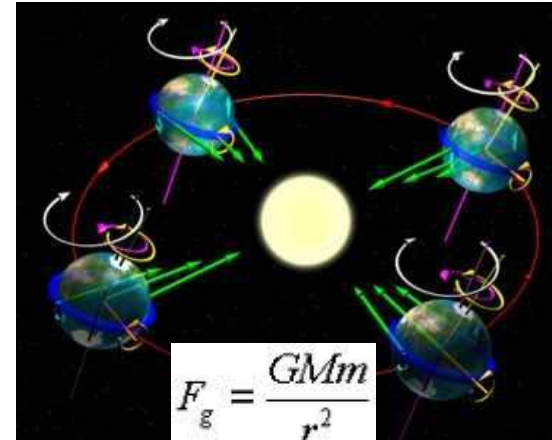
Hoe past zwaartekracht hierin?



GRAVITATIE

- **Newton's zwaartekrachtstheorie (1687)**

Gravitatie is een kracht die massa's op elkaar uitoefenen
Deze kracht is *instantaan*



- **Einstiens speciale relativiteitstheorie (1905)**

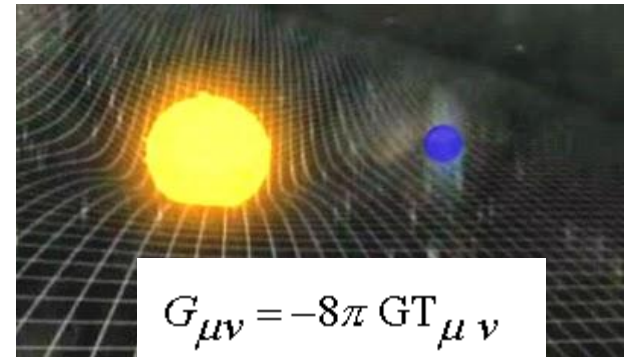
Natuurwetten zien er hetzelfde uit voor alle inertiële waarnemers
Licht beweegt met dezelfde snelheid volgens alle waarnemers

- Nauwe relatie tussen ruimte en tijd ("ruimtetijd")
 - Informatie kan hoogstens met lichtsnelheid worden overgedragen

Hoe past zwaartekracht hierin?

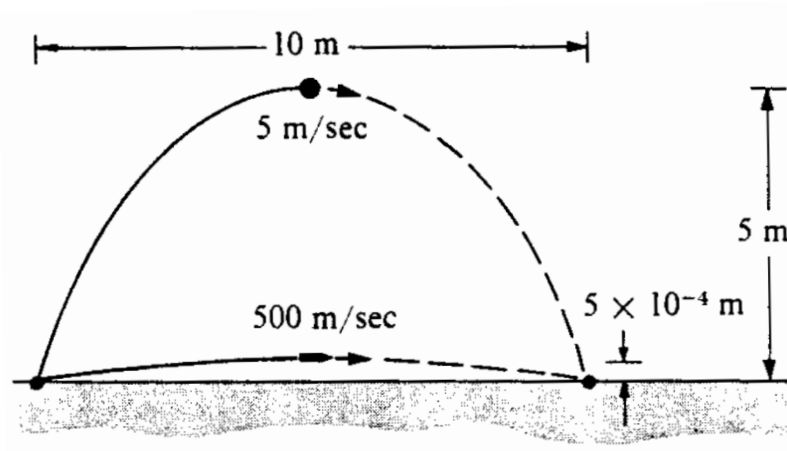
- **Einstiens algemene relativiteitstheorie (1915)**

Inertiële waarnemers in *gekromde ruimtetijd*
Materie veroorzaakt de kromming
Zwaartekracht is neveneffect van die kromming



KROMMING VAN RUIMTEIJD

Baan van een bal en een kogel

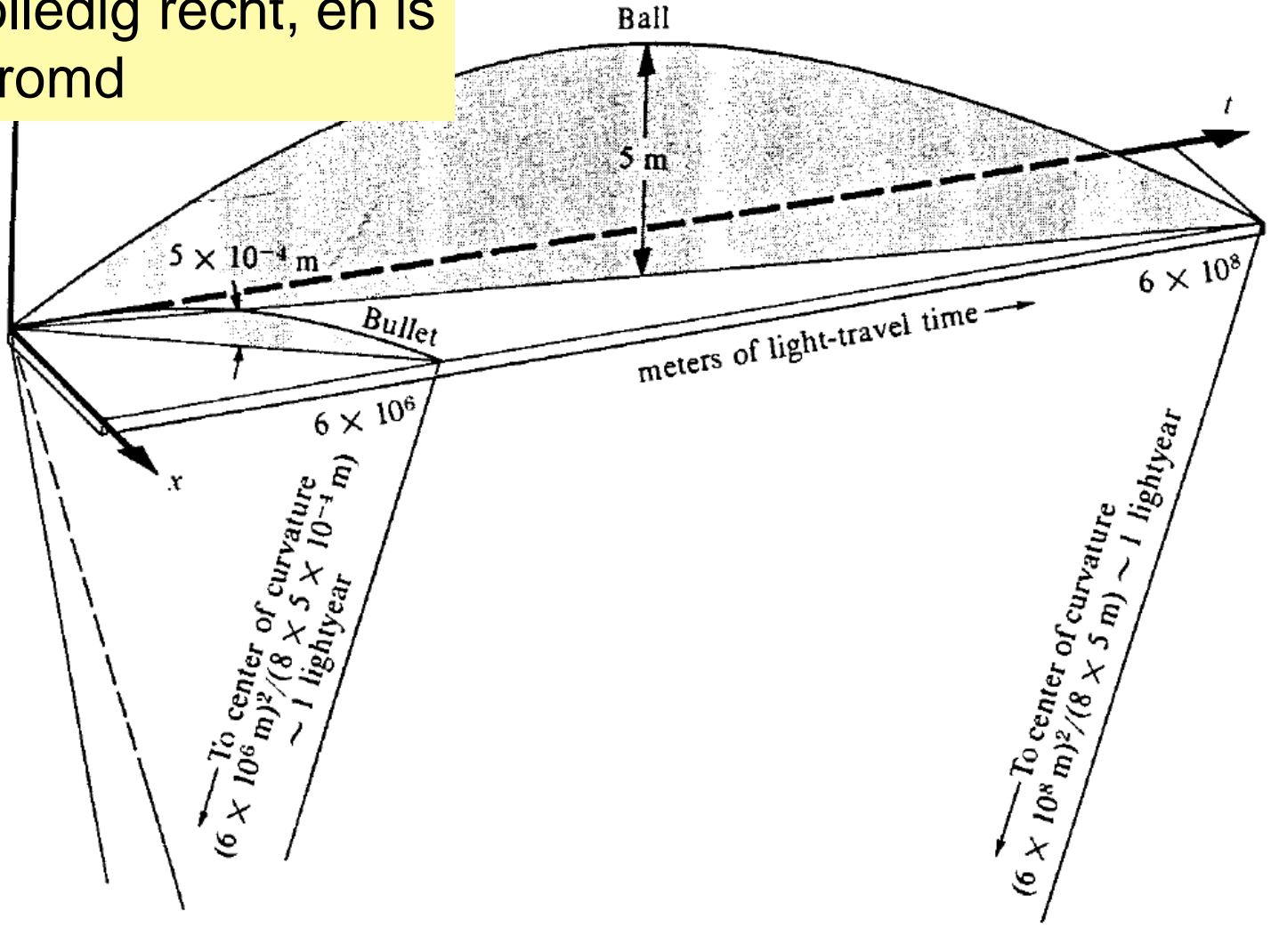


EP: alle massa's voelen dezelfde versnelling

Ruimtelijke kromming is zeer verschillend

KROMMING VAN RUIMTETIJD

In werkelijkheid zijn alle banen (geodeten) volledig recht, en is ruimtetijd gekromd

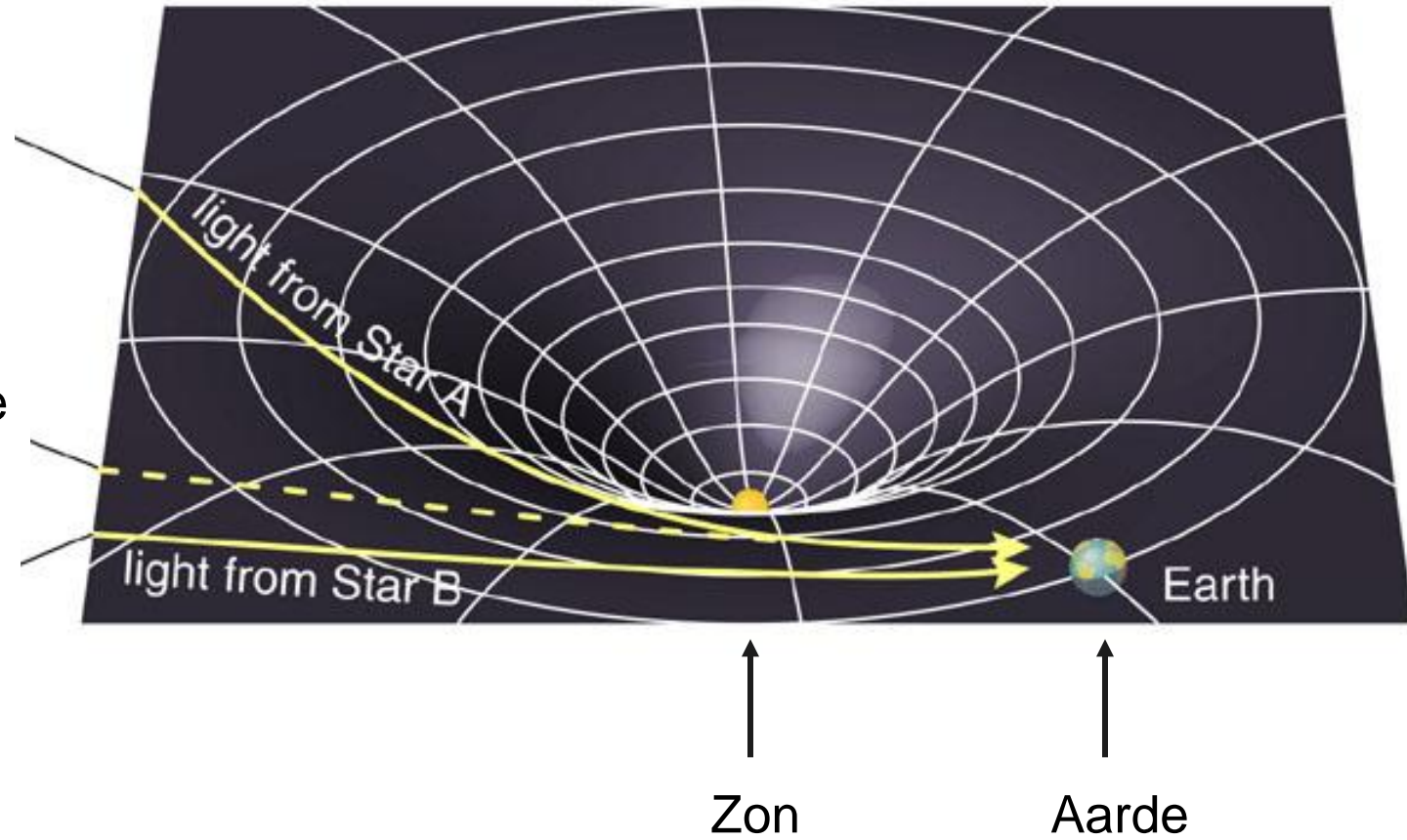


BANEN IN EEN GEKROMDE RUIMTE: LICHT

Werkelijke positie
van ster A

Schijnbare positie
van ster A

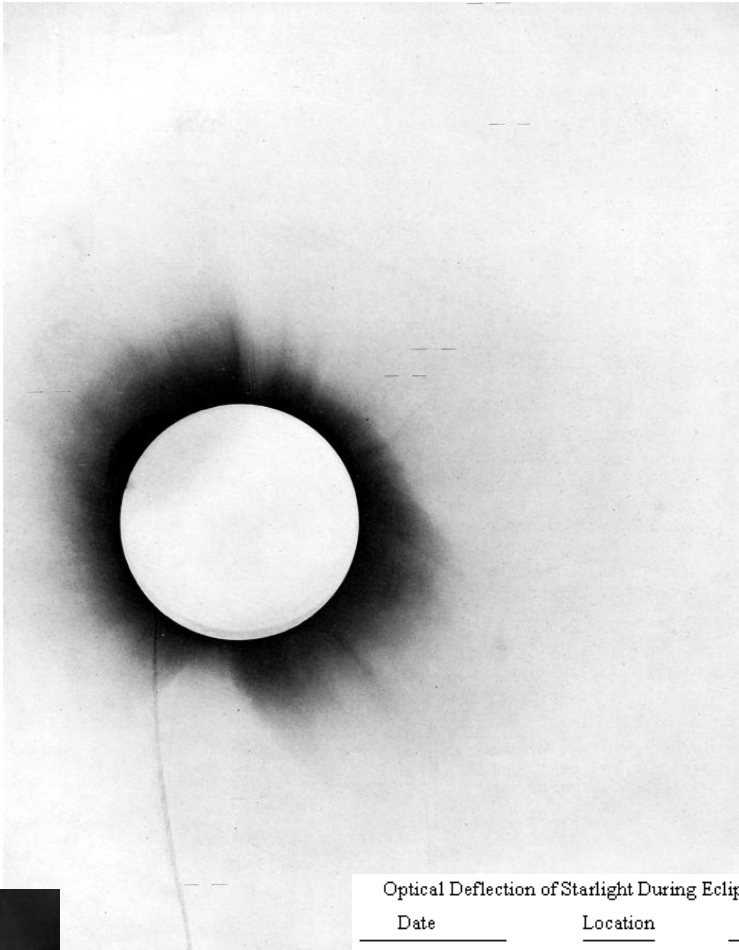
Werkelijke en
schijnbare positie
van ster B



Relativiteitstheorie:

$$\alpha = \frac{2GM}{c^2 r}$$

AFBUIGEN VAN LICHT



LIGHTS ALL ASKEW, IN THE HEAVENS

Men of Science More or Less
Agog Over Results of Eclipse
Observations.

EINSTEIN THEORY TRIUMPHS

Stars Not Where They Seemed
or Were Calculated to be,
but Nobody Need Worry.

A BOOK FOR 12 WISE MEN

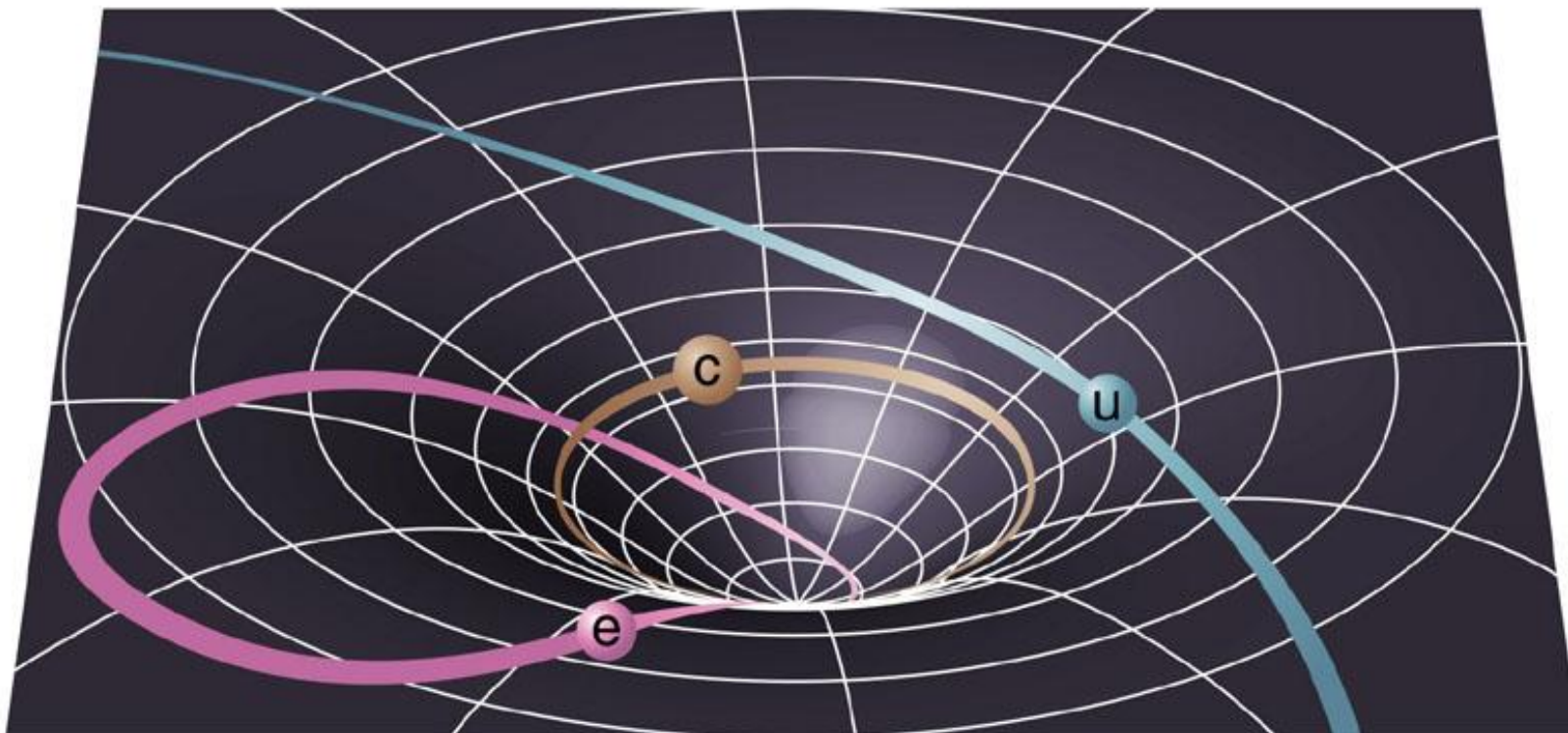
No More in All the World Could
Comprehend It, Said Einstein When
His Daring Publishers Accepted It.

Optical Deflection of Starlight During Eclipses		
Date	Location	arc secs
29 May 1919	Sobral	1.98 ± 0.16
	Principe	1.16 ± 0.40
21 Sep 1922	Australia	1.77 ± 0.40
		1.42 to 2.16
		1.72 ± 0.15
		1.82 ± 0.20
9 May 1929	Sumatra	2.24 ± 0.10
19 June 1936	USSR	2.73 ± 0.31
	Japan	1.28 to 2.13
20 May 1947	Brazil	2.01 ± 0.27
25 Feb 1952	Sudan	1.70 ± 0.10
30 Jun 1973	Mauritania	1.66 ± 0.19

New York Times,
November 10, 1919

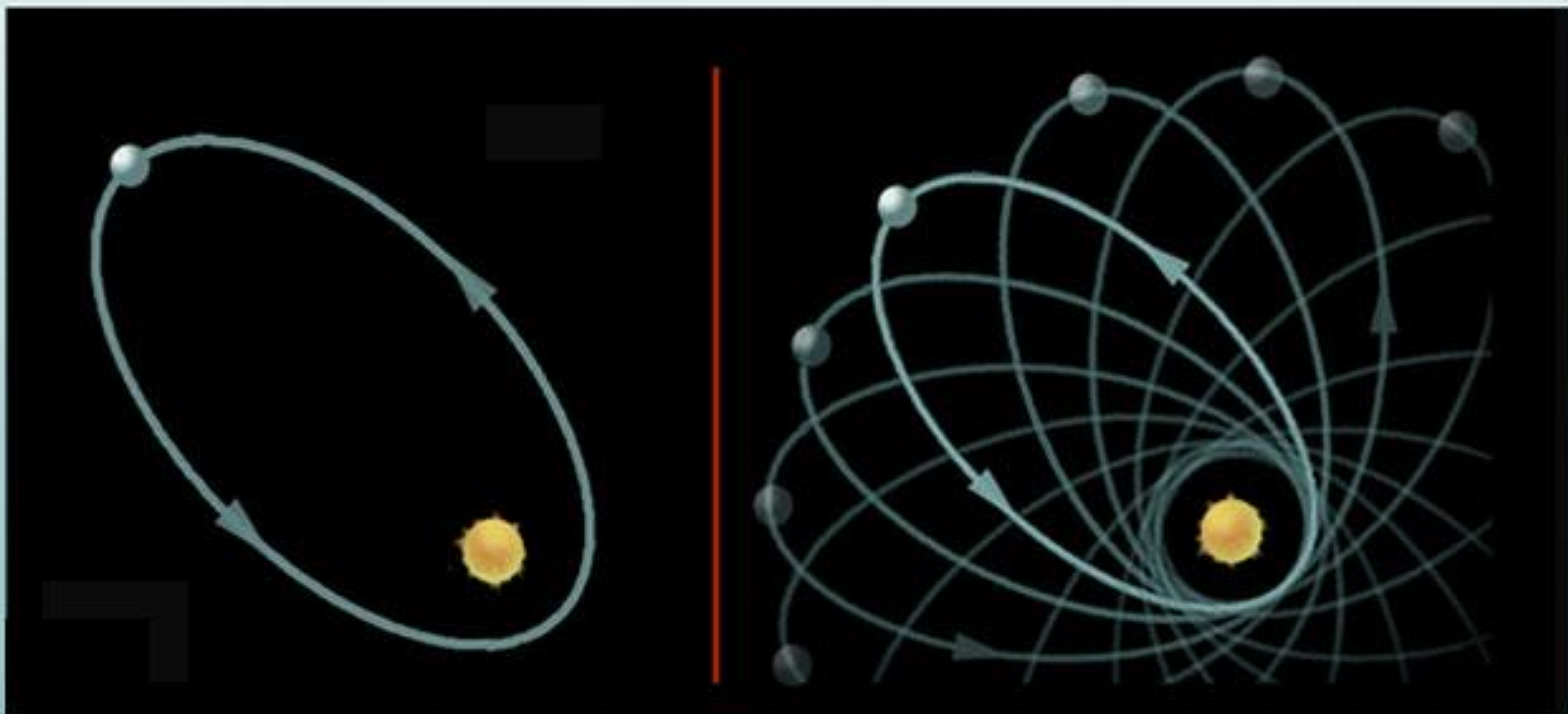
BANEN IN EEN GEKROMDE RUIMTE: PLANETEN

- c Cirkelbaan
- e Elliptische baan
- u Ongebonden baan (parabool)



EXPERIMENTEEL BEWIJS: PRECESSIE VAN DE MERCURIUSBAAN

$$\delta\phi_{peri} = \frac{6\pi GM}{c^2 r} \quad 4,8 \times 10^{-7} \text{ rad} = 0,1 \text{ boogseconde (415 omlopen per eeuw)}$$



GPS (GLOBAL POSITIONING SYSTEM)

Friedwardt Winterberg (1955): gebruik atoomklokken in orbit om ART te testen

Sputnik (1957): Doppler effect geeft lokatie (20 en 40 MHz radiosignalen)

GPS (1973 bedacht, 1978 eerste satelliet, 1993 operationeel)

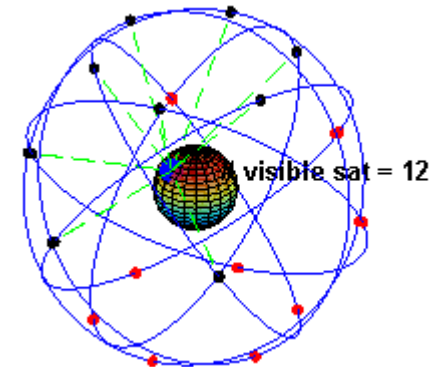
Precisie:

atoomklokken 1 ns/dag)

(licht legt 30 cm per ns af)

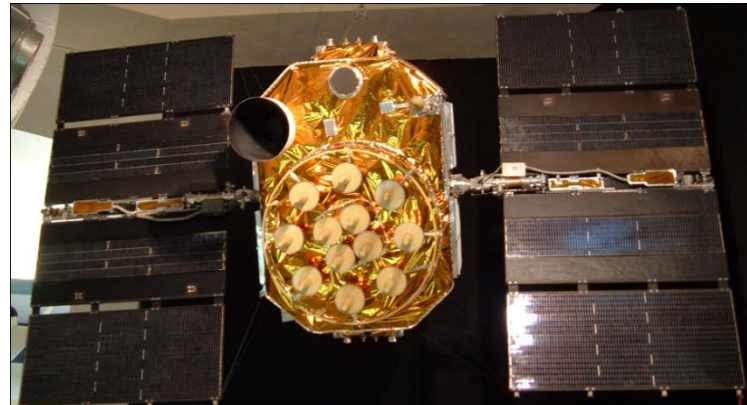
ART 45.900 ns/dag sneller dan op Aarde

SRT 7,200 ns/dag langzamer



Alle GR testen betreffen statische effecten in zwakke gravitievelden

Hoe zit het met dynamica?

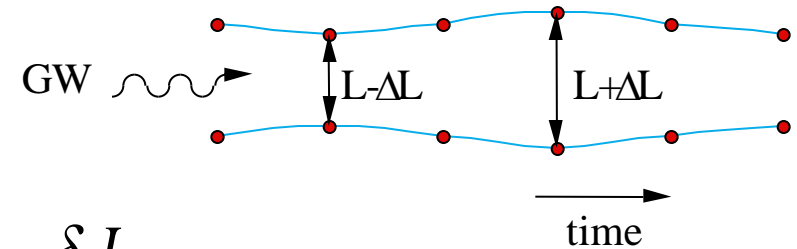


DYNAMICA: GRAVITATIEGOLVEN

- Volgen uit de relativiteitstheorie
- GW = ruimtetijd metrische golf

- Afstandsvariatie
- Amplitude h :

$$h = 2 \frac{\delta L}{L}$$



- GW geproduceerd door versnelling

- d = afstand tot bron
- Q = quadrupoolmoment

$$h \approx \frac{2G}{c^4} \frac{d^2 Q}{dt^2} \frac{1}{d}$$

$$10^{-44} s^2 kg^{-1} m^{-1}$$

- Zwakke koppeling → astrofysische bronnen



$$L_G = 10^{-30} J/s$$

$$\Sigma \approx 10^{-25} m^2 Hz \Rightarrow E_{absorbed} = 10^{-54} J$$

$$L=20\text{ m}, d=2\text{ m}, 27\text{ rad/s}$$

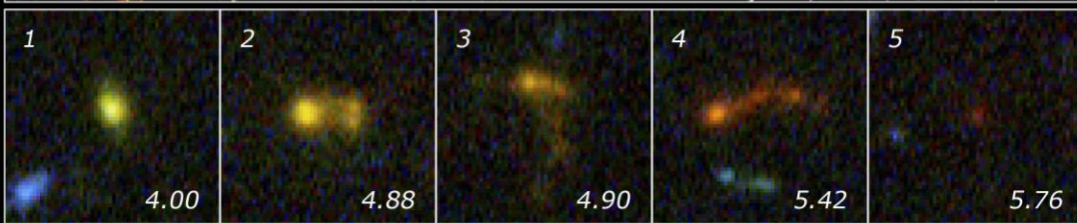
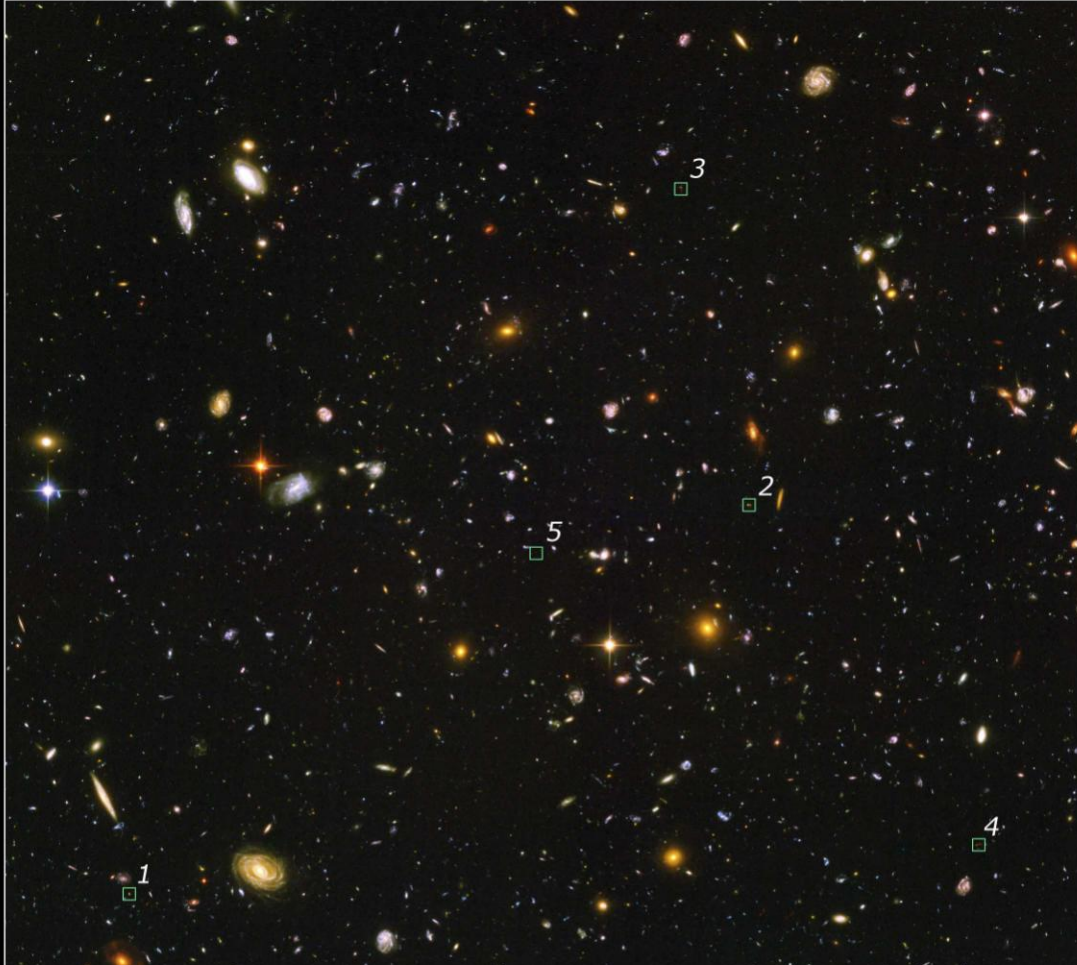
Aarde - Zon: 313 W



**Op zoek naar
astrofysische objecten**



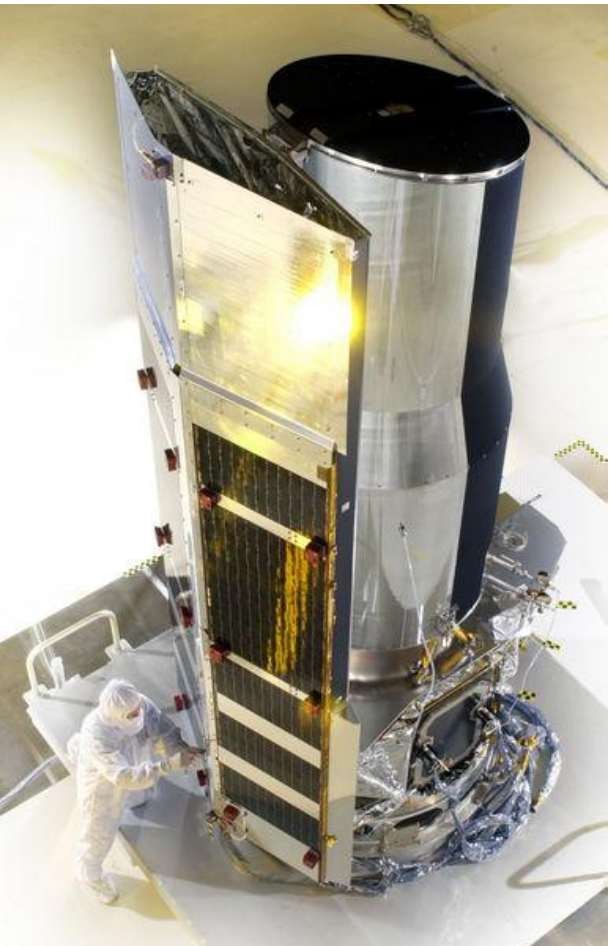
***Hubble space
telescope***



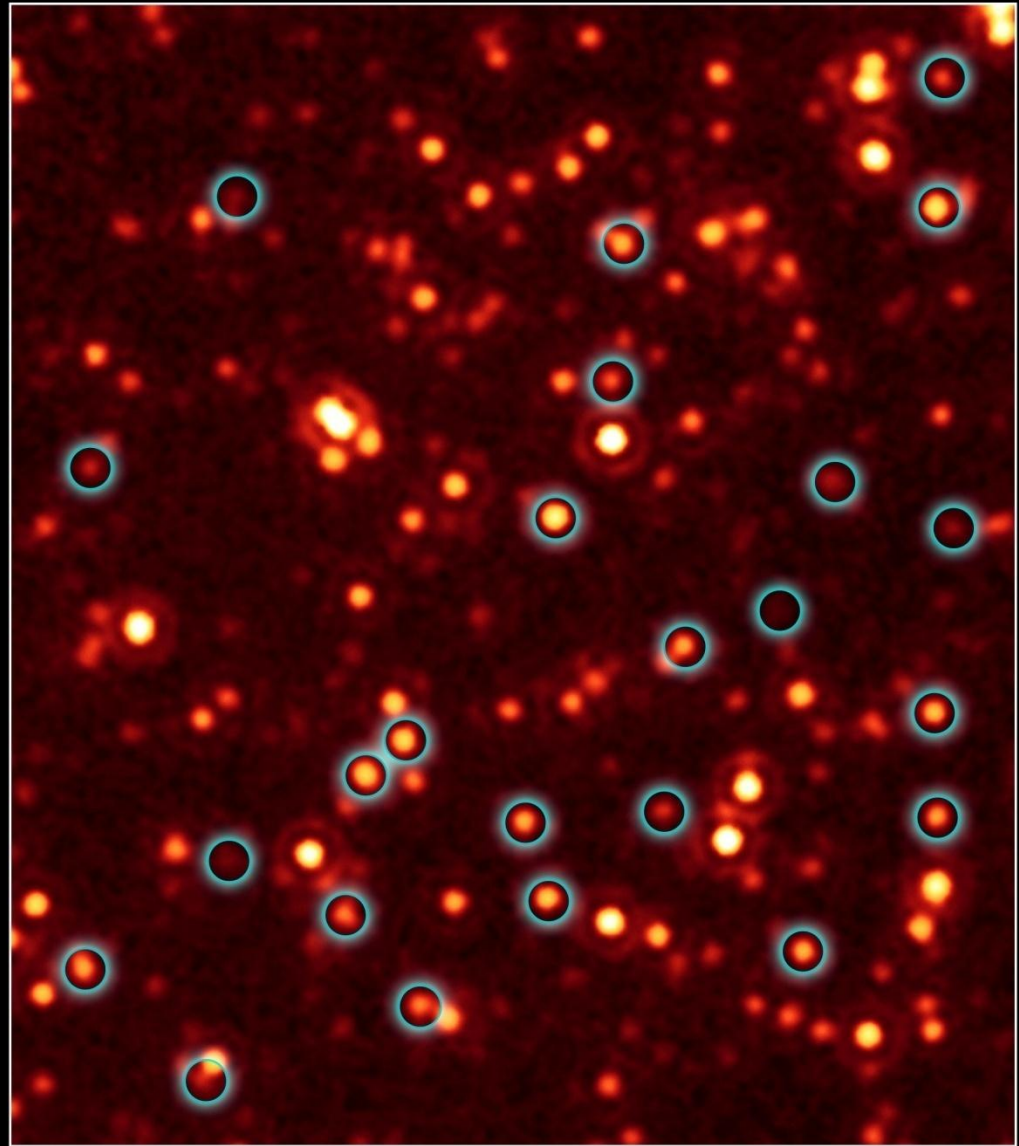
Galaxy Building Blocks in the Hubble Ultra Deep Field
Hubble Space Telescope • ACS/WFC

Hubble Ultra Deep Field

Spitzer space telecoop



***NS en BH zijn de
compacte objecten***

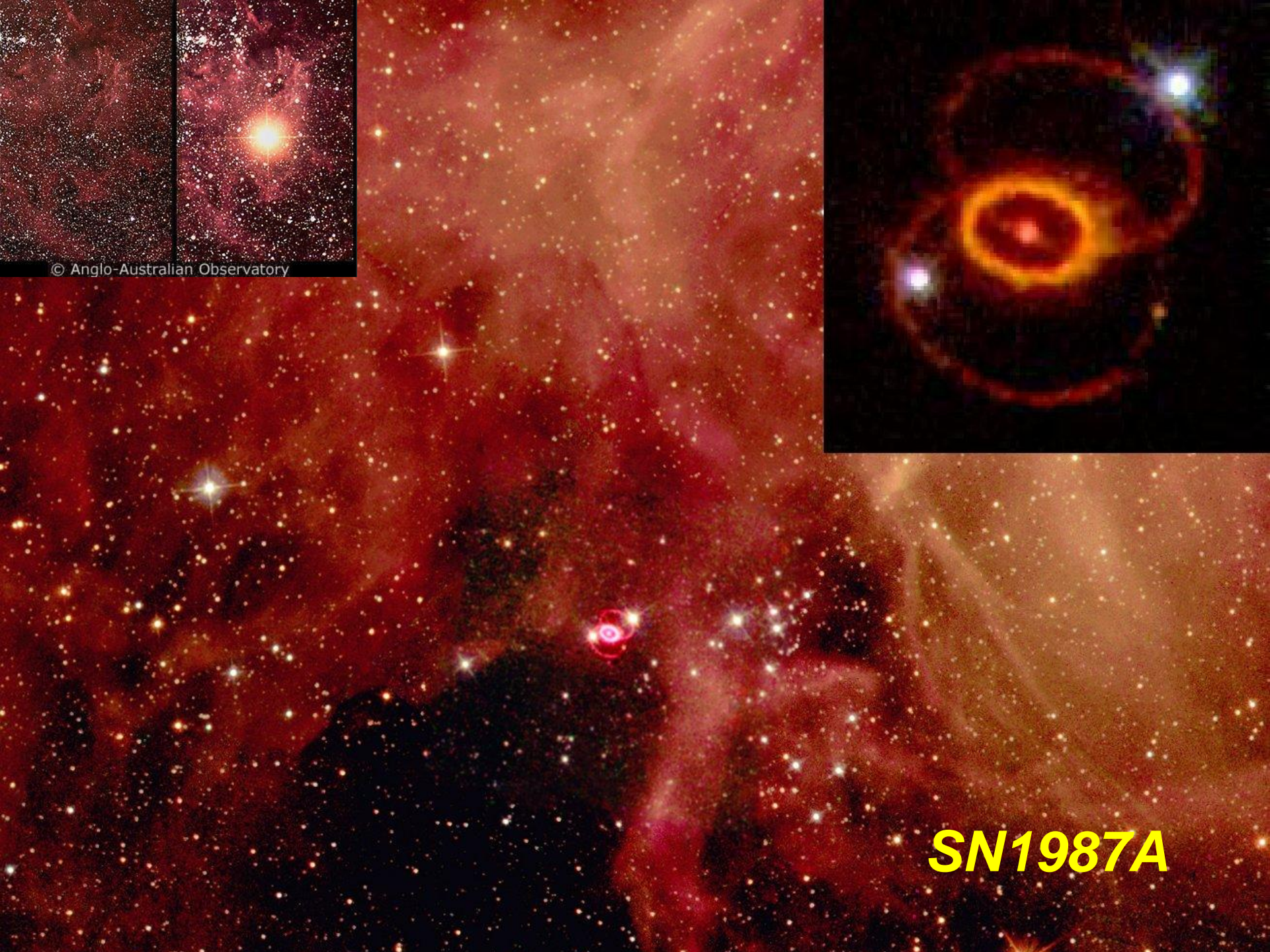


**Locating Black Holes in
Distant Galaxies**

NASA / JPL-Caltech / E. Daddi (CEA, France)

**Spitzer Space Telescope •
MIPS**

ssc2007-17a



© Anglo-Australian Observatory

SN1987A

GRAVITATIESTRALING BESTAAT: PSR B1913+16



Russell A. Hulse
Joseph H. Taylor, Jr.

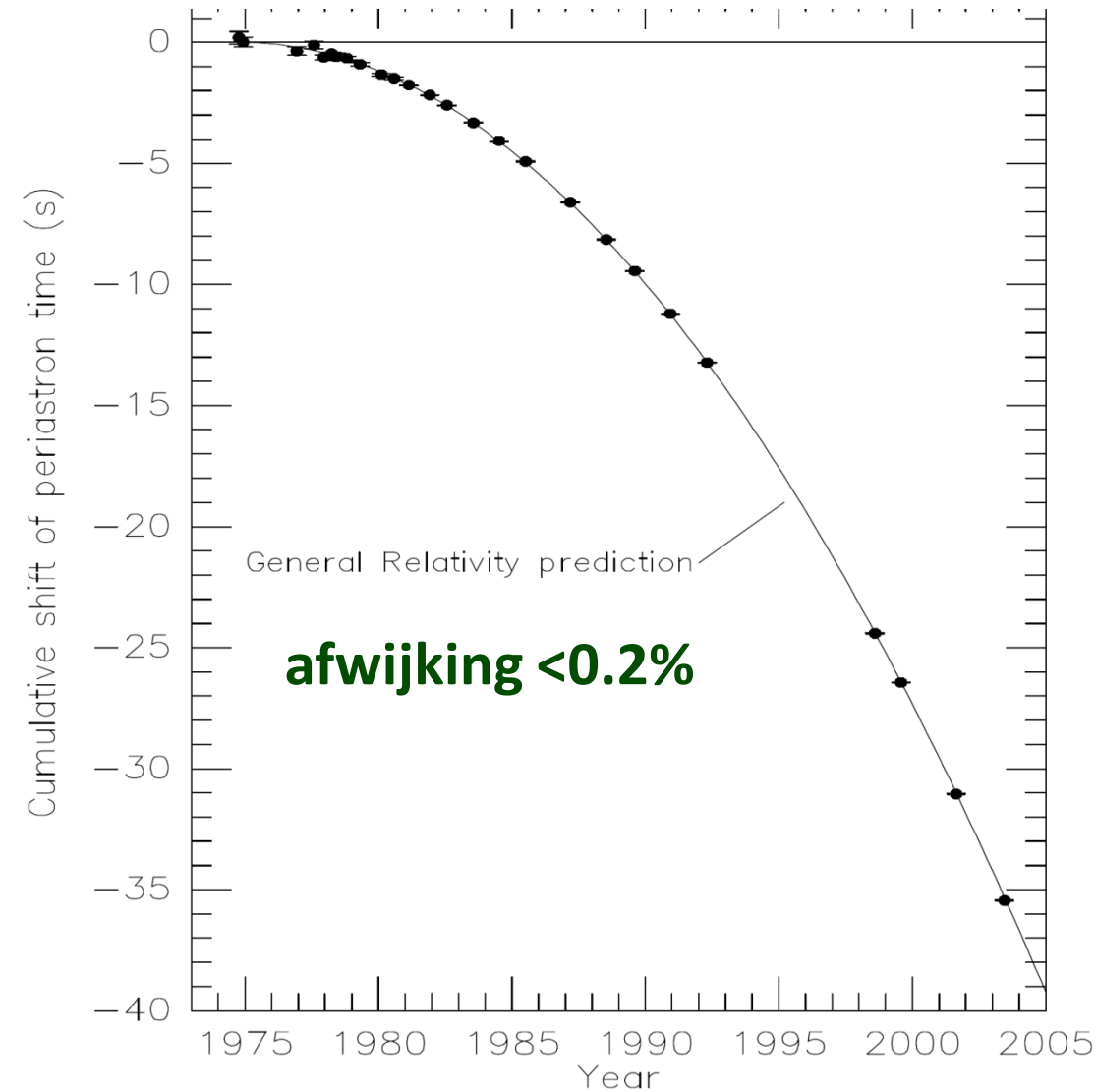
In 1974 werd de eerste pulsar in een binair systeem ontdekt

Periode $\sim 8\text{h}$

GW emissie verkort de periode

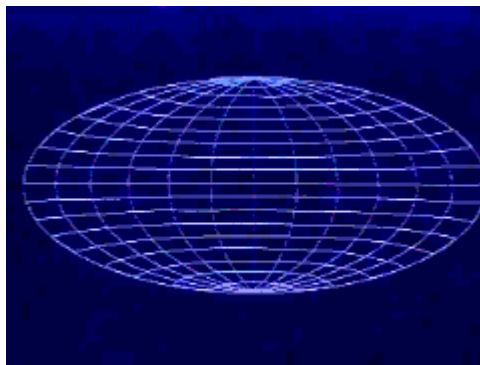
Indirecte detectie van GWs
Nobelprijs 1993

$\Delta t_p [\text{s}]$ Periastron advance

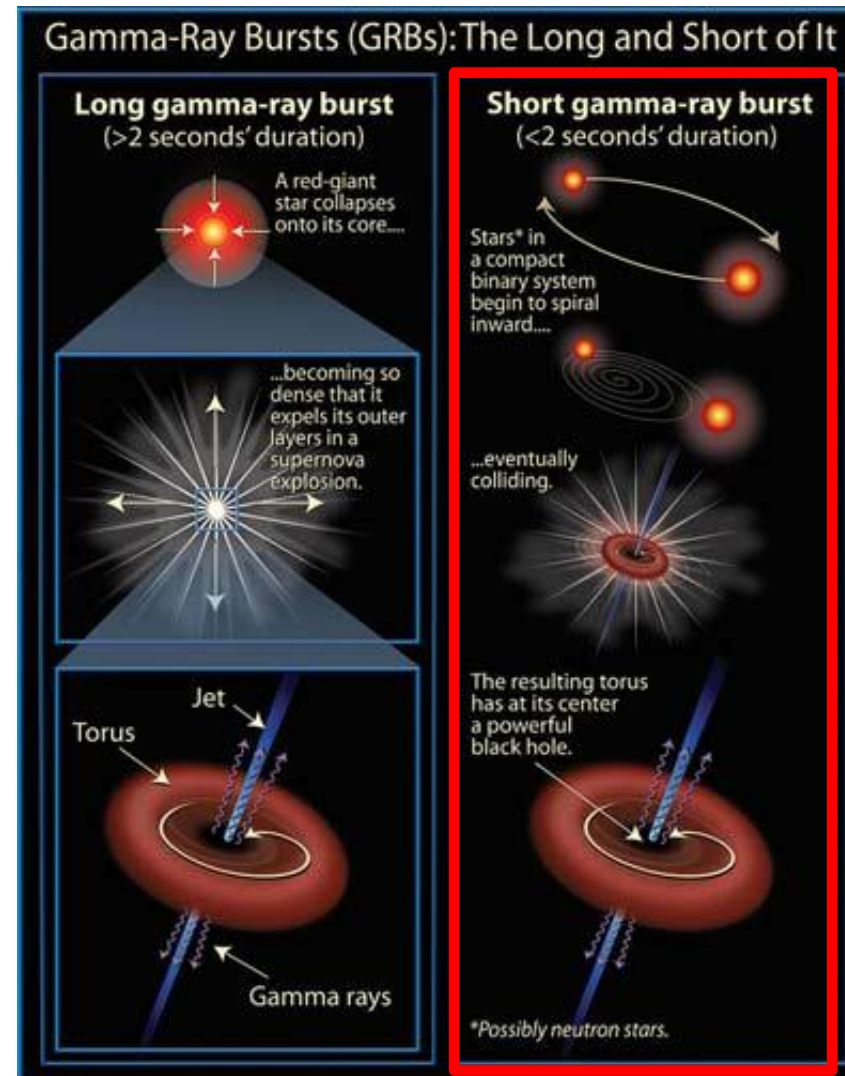
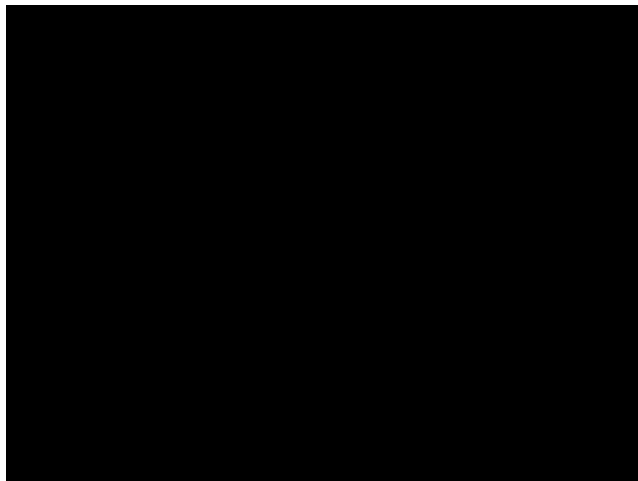


BURST BRONNEN: GAMMA-RAY BURSTS

- Recente satelliet missies tonen reeks explosieve gebeurtenissen in Universum die enorme hoeveelheden energie genereren

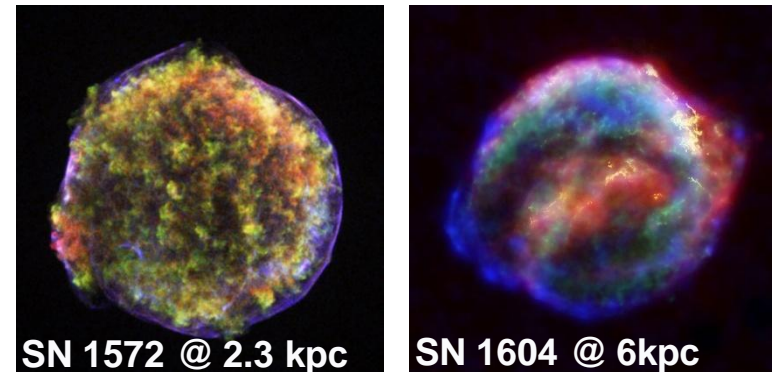
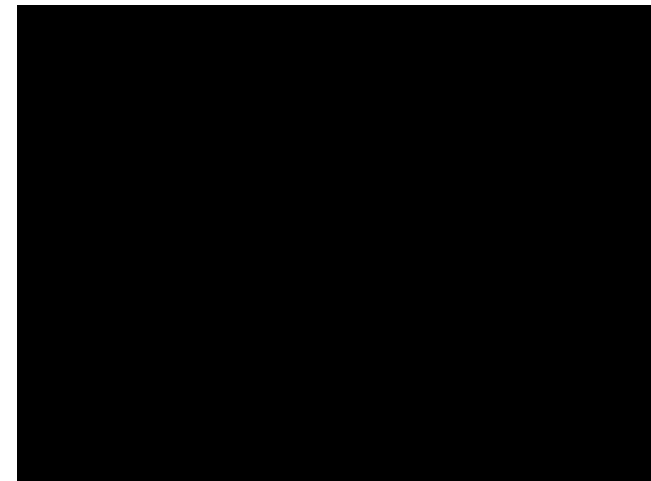
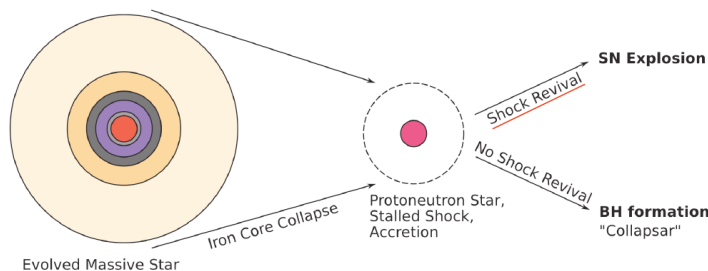


- De oorsprong van GRB is nog steeds onbekend, maar er zijn modellen



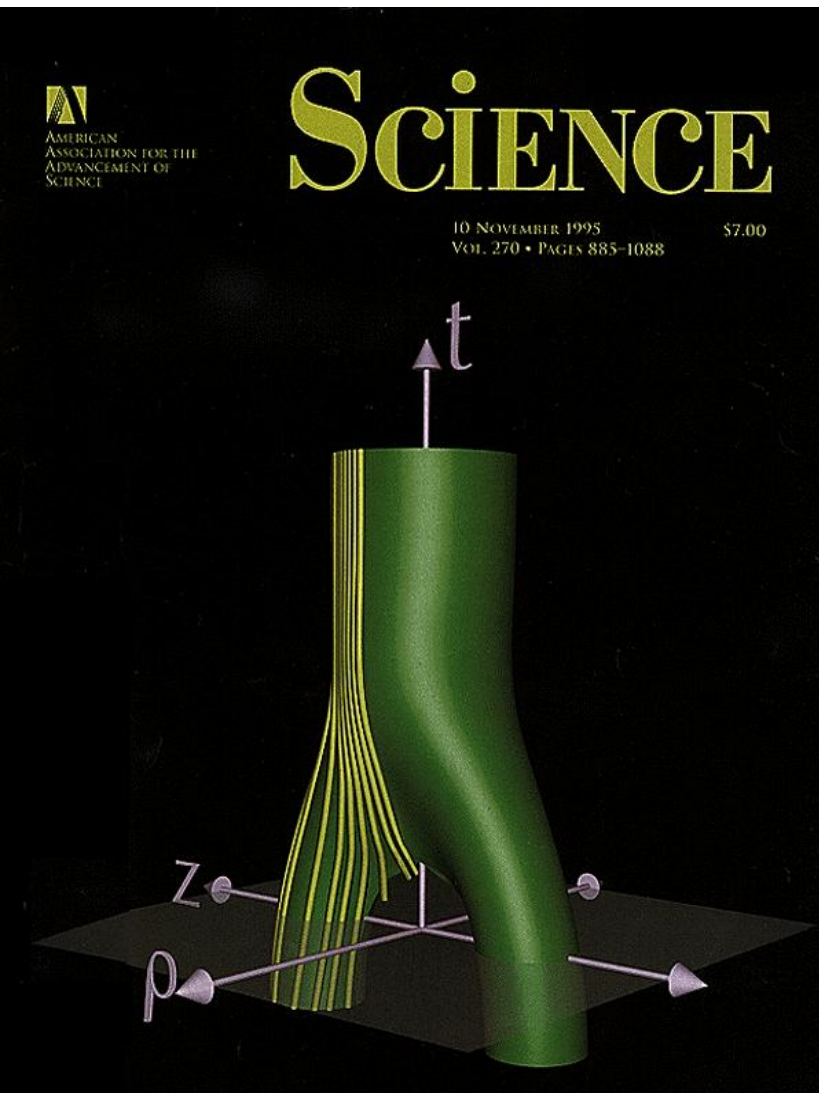
SUPERNOVAE

- Mechanisme van core-collapse SNe nog steeds niet duidelijk
 - Shock Revival mechanismw(s) na de core bounce TBC

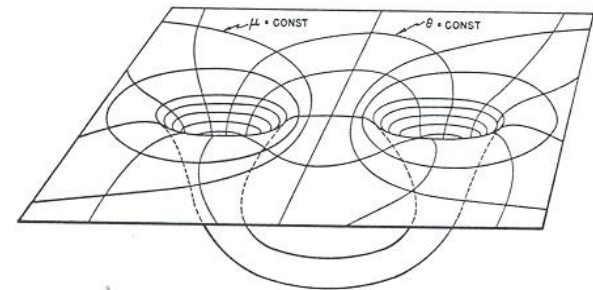


- GWs gegenereert door een SNe brengen informatie van het inwendige massieve deel van het proces en kan misschien iets zeggen over het mechanisme

BOTSINGEN VAN TWEE ZWARTE GATEN



- Twee-deeltjes probleem in algemene relativiteitstheorie
- Numerieke oplossing van de Einstein vergelijkingen
- Probleem studies begonnen 45 jaar geleden (1963 Hahn & Lindquist, IBM 7090)

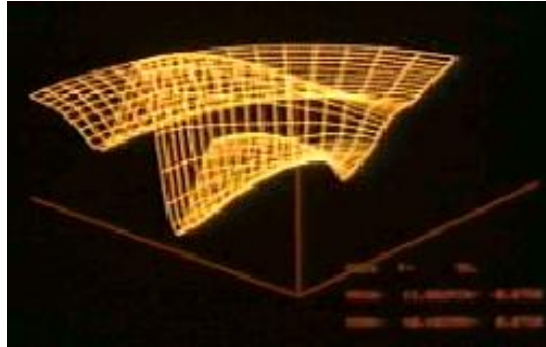


- Golfvorming zijn cruciaal voor gravitatiegolf detectoren
- Een PetaFLOPS-class grand challenge

Oct. 10, 1995

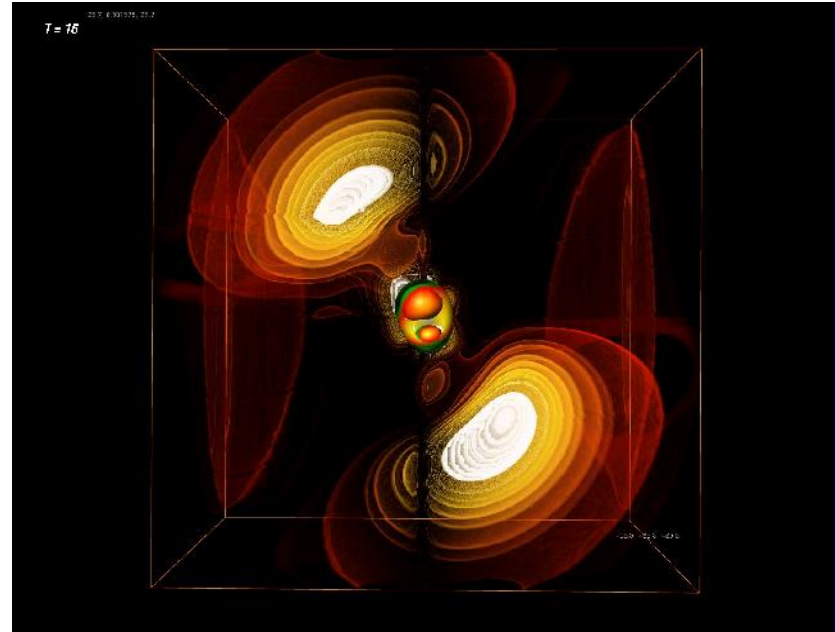
Matzner, Seidel, Shapiro, Smarr, Suen, Teukolsky, Winicour

NUMERIEKE RELATIVITEITSTHEORIE



1977
Eppley & Smarr
CDC 7600
Een processor
Met 35 Mflops
5 uur

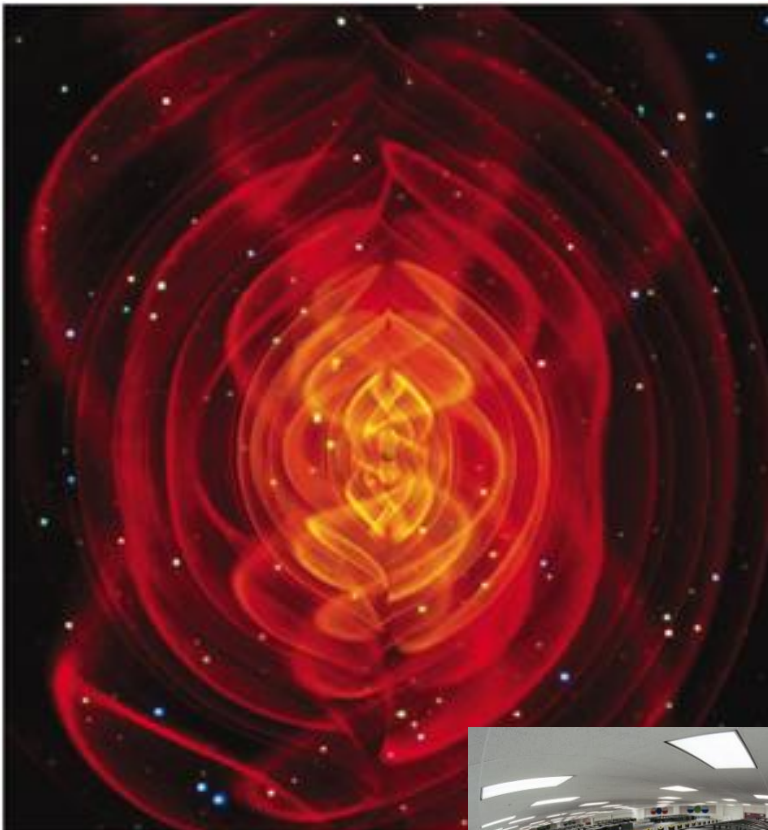
300X



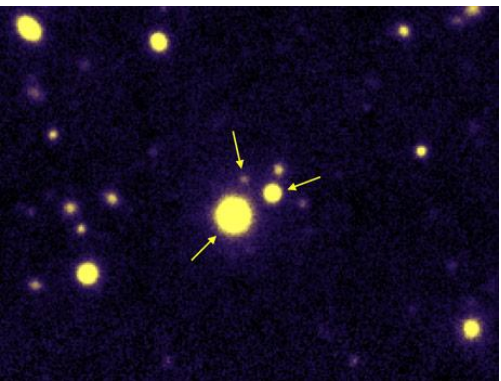
1999
Seidel & Suen, et al.
SGI Origin
256 processoren
Elk 500 Mflops
40 uur

30.000X

NUMERIEKE RELATIVITEITSTHEORIE



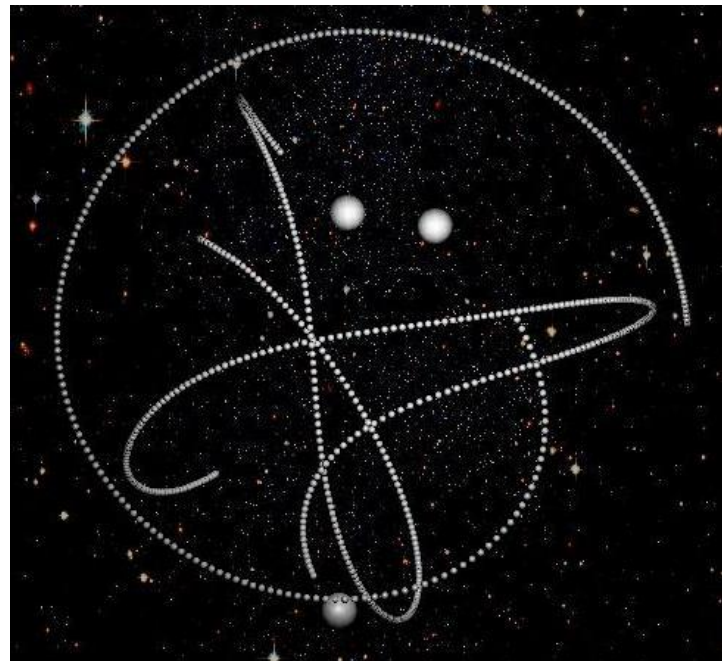
Triple quasar (10.8 Gly)
S. G. Djorgovski et al.,
Caltech, EPFL (Jan. 2007)



Eerste samensmelting van drie zwarte gaten gesimuleerd op een supercomputer

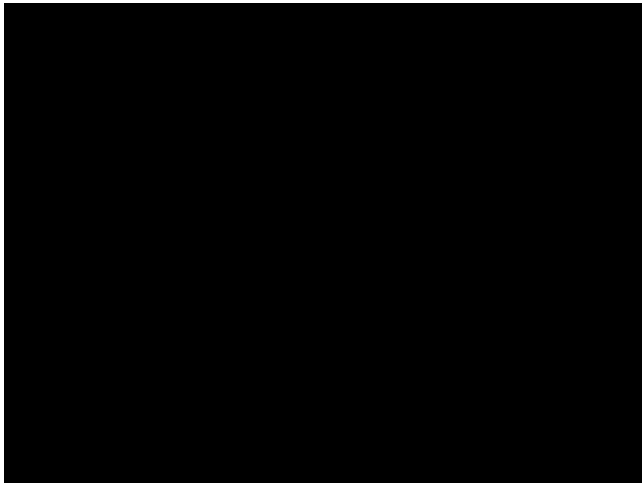
ScienceDaily (Apr. 12, 2008)

Manuela Campanelli, Carlos Lousto and Yosef Zlochower—Rochester Institute of Technology Center for Computational Relativity and Gravitation

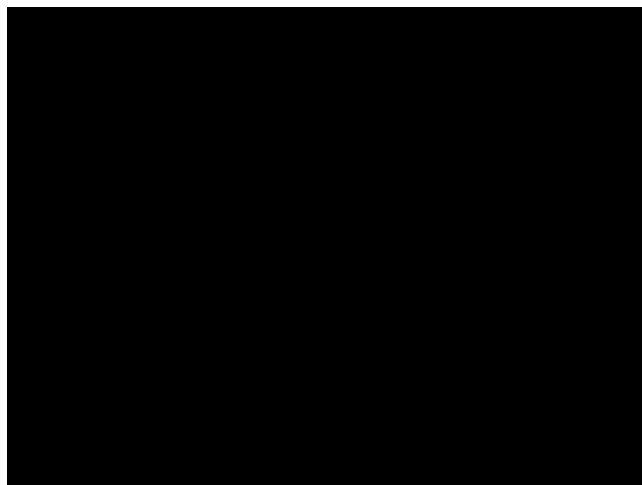


NUMERIEKE RELATIVITEITSTHEORIE

Vorming van zwarte gat



Coalescense van twee zwarte gaten



$$\Delta L = 1 \mu m \rightarrow L = (10^{-6} m) / (10^{-22}) = 10^{16} m = 1 ly$$

$$\Delta L = 10^{-18} m \rightarrow L = (10^{-18} m) / (10^{-22}) = 10^4 m = 10 km$$

STAAF DETECTOREN: IGEC COLLABORATION



ALLEGRO

AURIGA

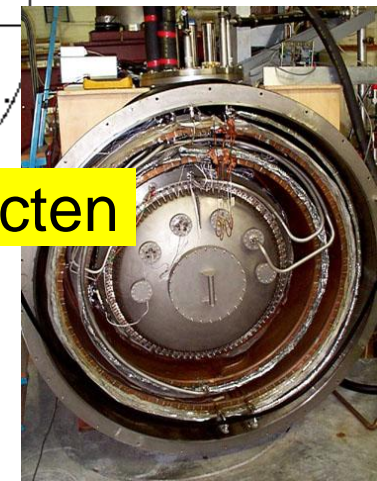
NAUTILUS

Meten van gravitatiegolven van compacte objecten

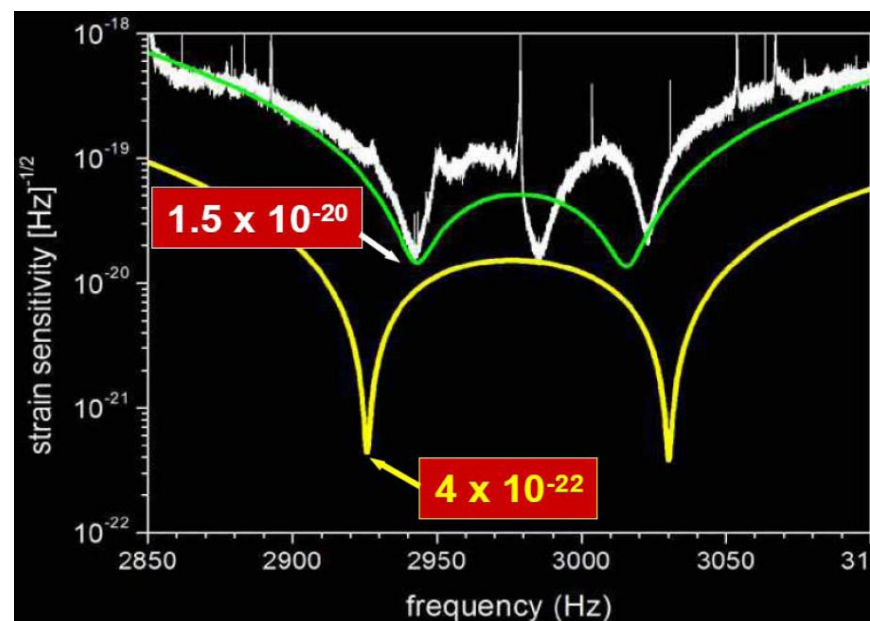
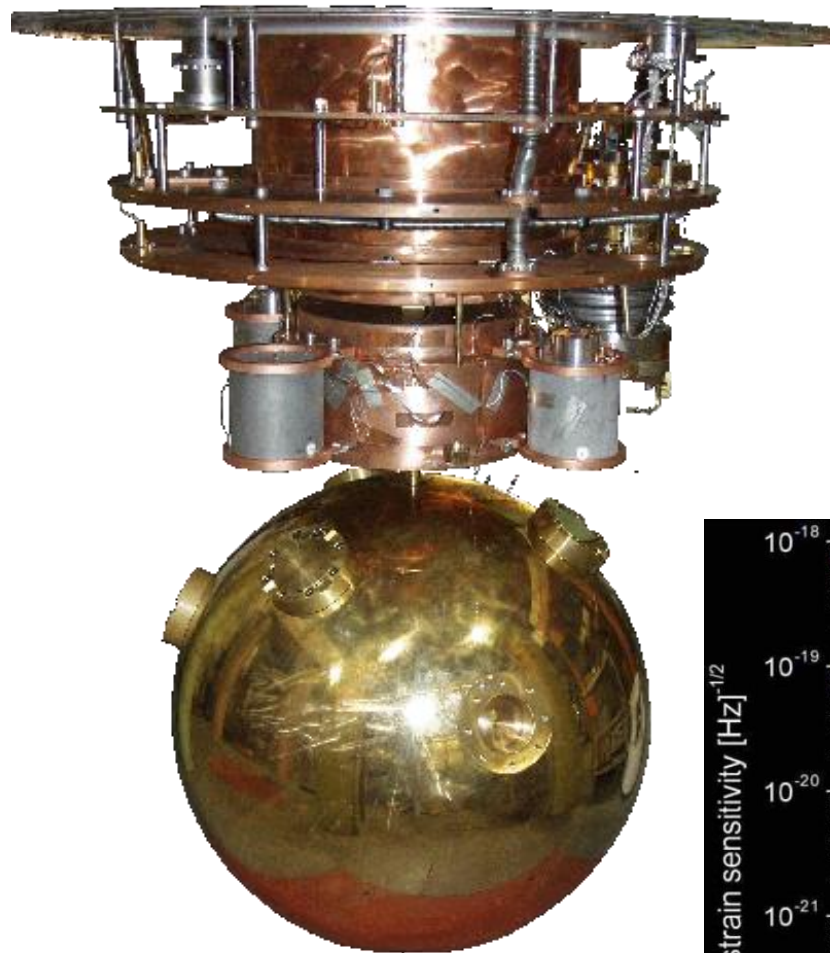
IGEC

Ladbrokes .com

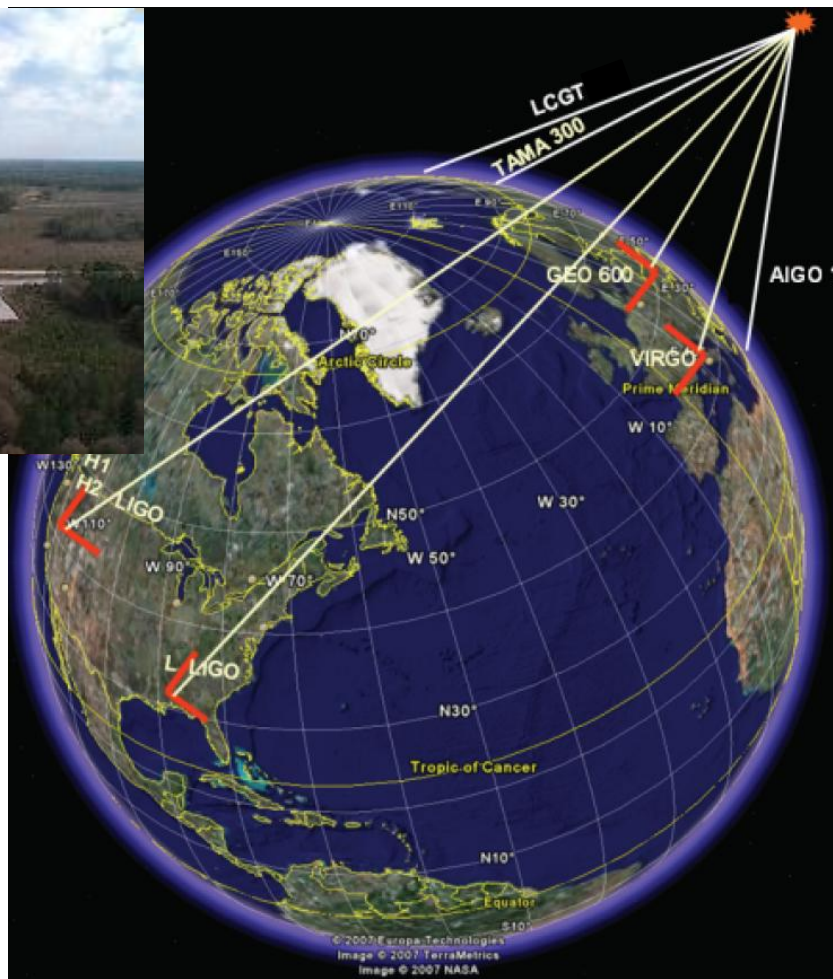
NIOBE



MINI-GRAIL: EEN BOLVORMIGE `STAAF' IN LEIDEN



INTERNATIONAL CONTEXT

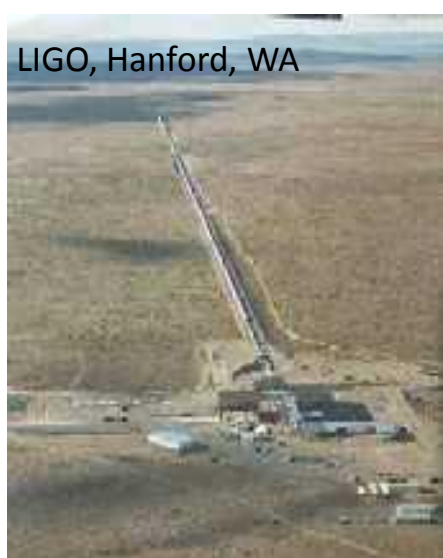


INTERNATIONAL CONTEXT

LIGO, Livingston, LA



LIGO, Hanford, WA



GEO600, Hanover, Germany



LCGT, Kamioka, Japan



Virgo, Cascina, Italy

- USA, Italy, Germany and Japan
 - Sites for LIGO, Virgo, GEO and LCGT
 - Large investments (~ 1G€)
 - Caltech and MIT driven in USA

INTERFEROMETER ALS GW DETECTOR

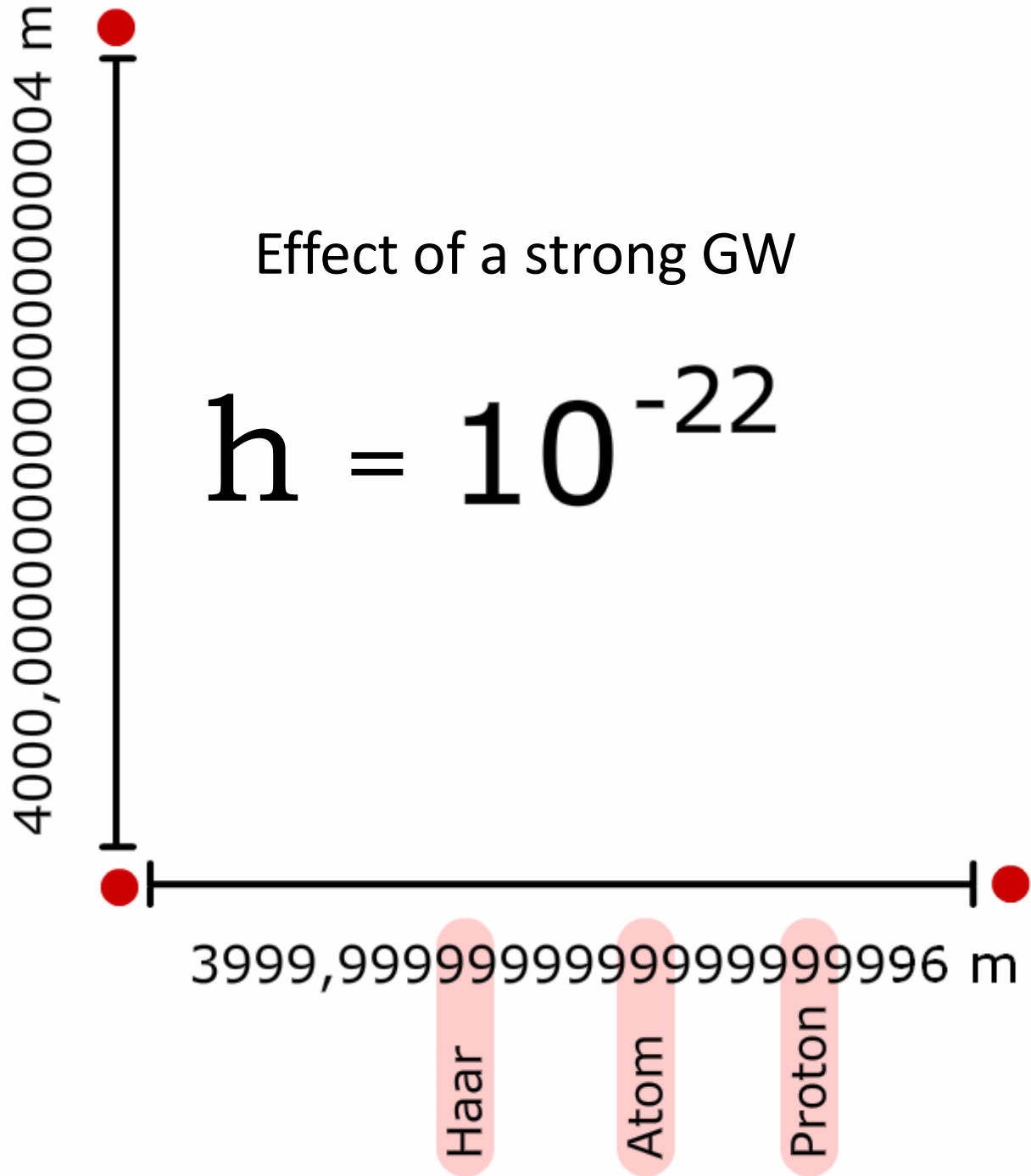
- Principe: meet de afstanden tussen vrije test massa's
 - Michelson interferometer
 - Test massa = interferometer spiegels
 - Gevoeligheid: $h = \Delta L/L$
 - We willen een lange interferometer
 - Voor Virgo $L = 3 \text{ km}$

Virgo: CNRS+INFN

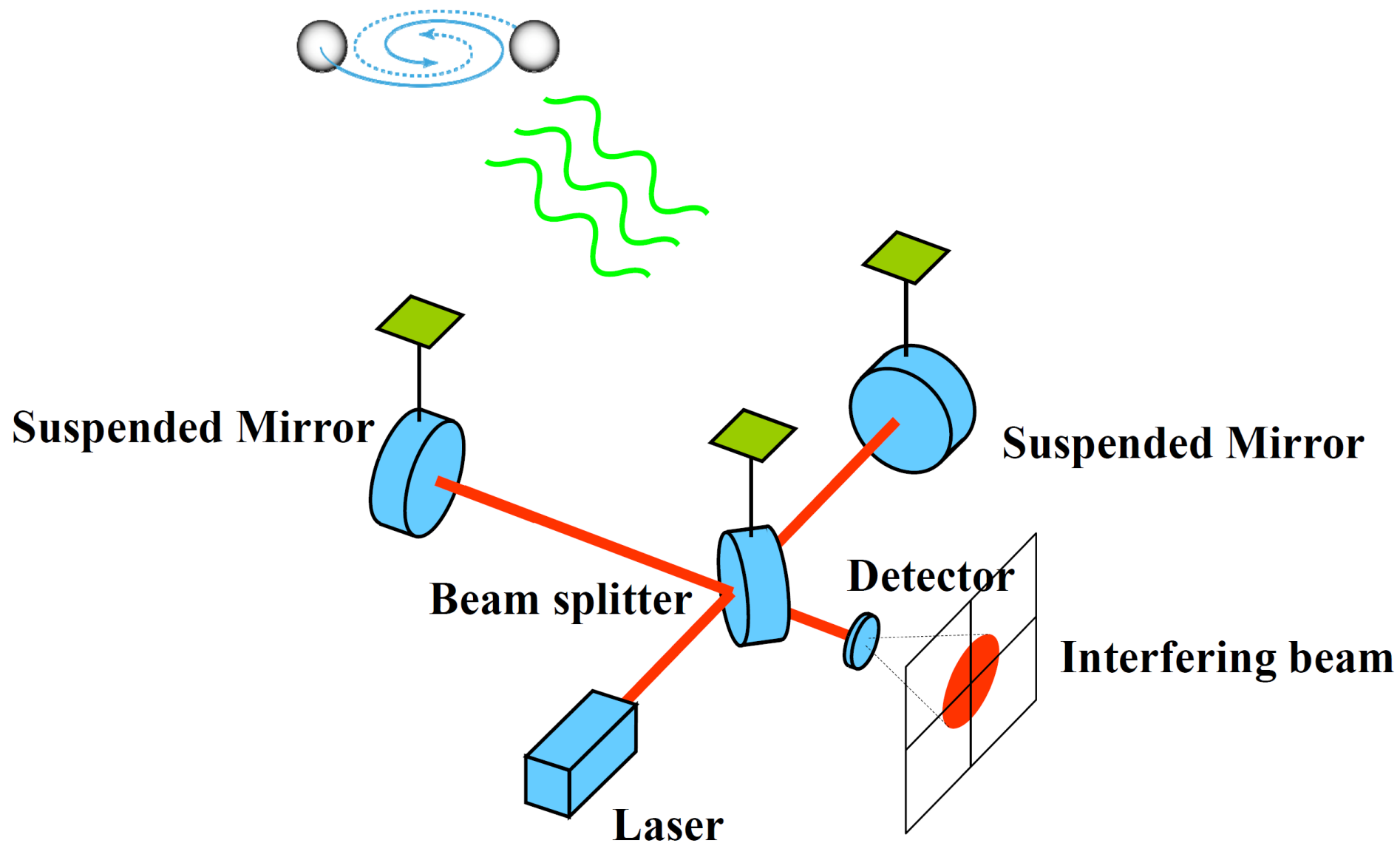
(ESPCI-Paris, INFN-Firenze/Urbino, INFN-Napoli,
INFN-Perugia, INFN-Pisa, INFN-Roma, LAL-Orsay,
LAPP-Annecy, LMA-Lyon, OCA-Nice)
+ Nikhef werd lid in 2007

Vierde meetperiode eindigde
op 4 september 2011

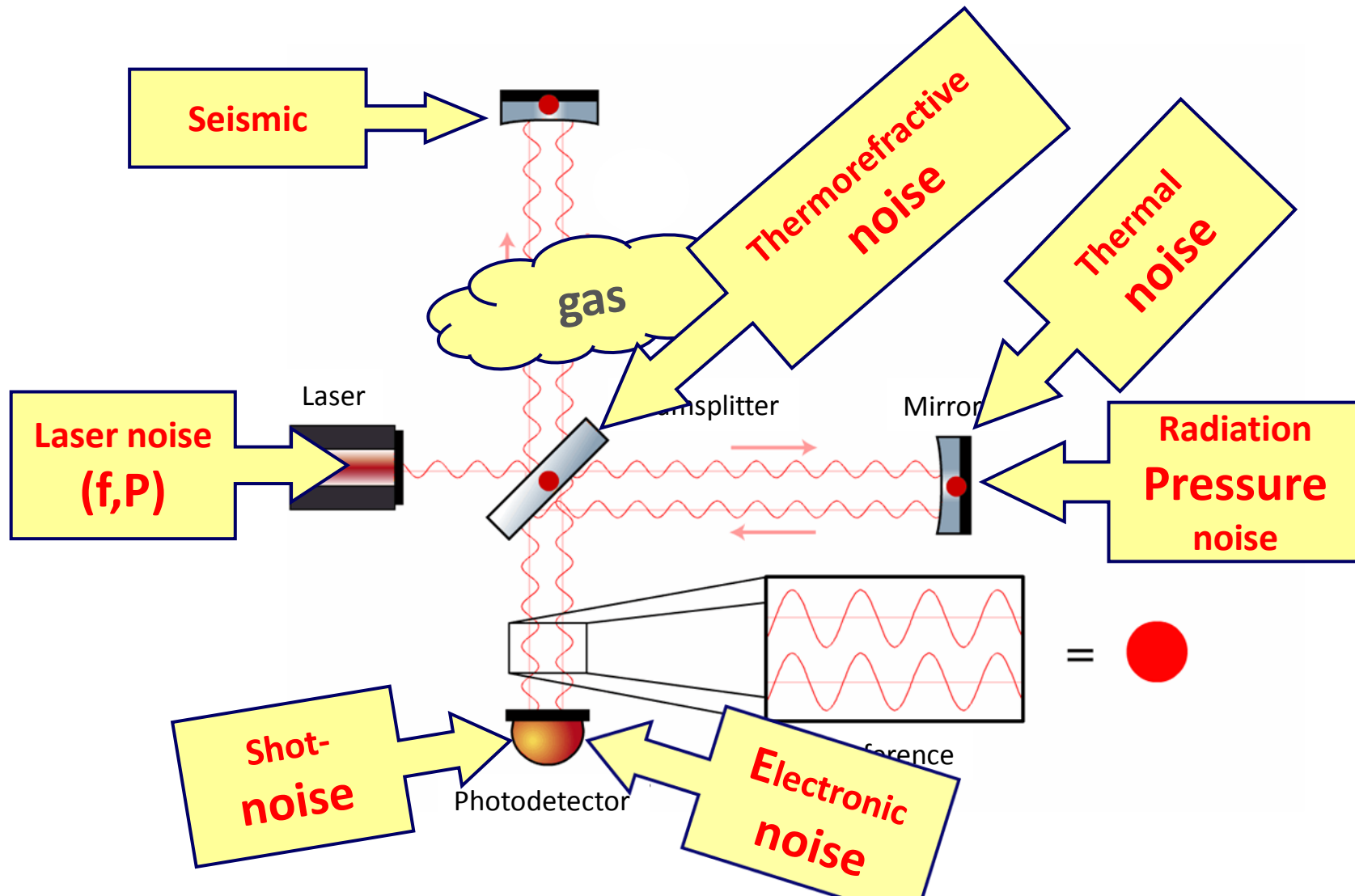




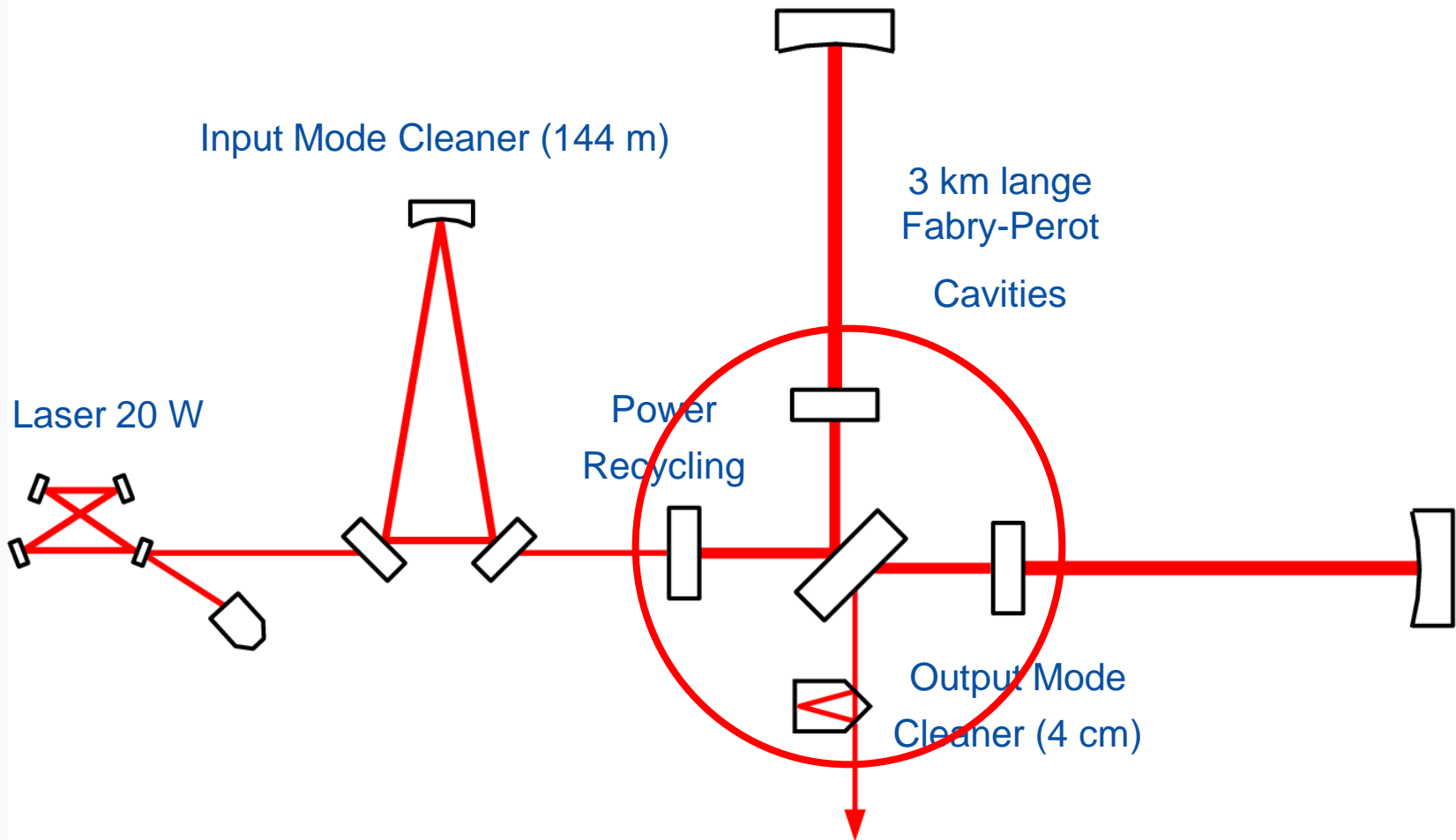
GW DETECTIE MET INTERFEROMETER



INTERFEROMETER: PRINCIPE

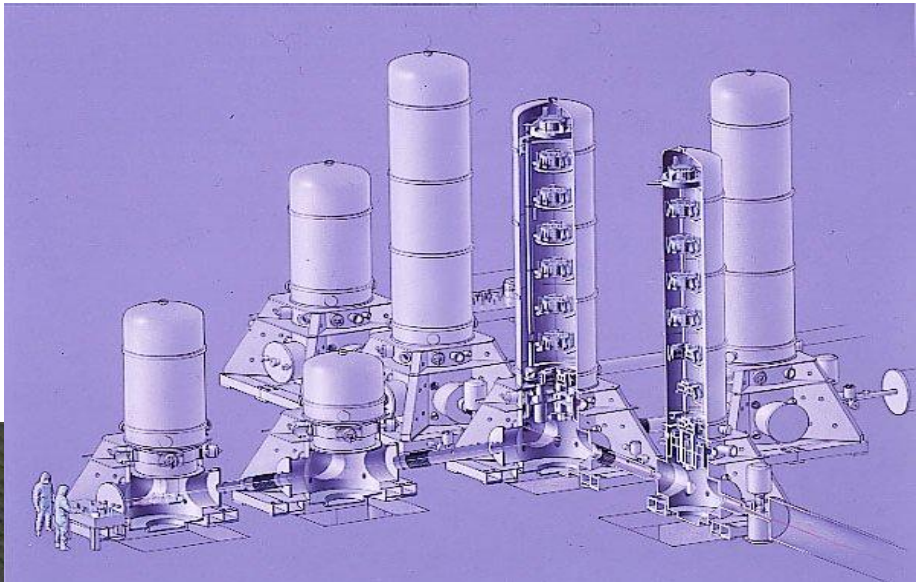


VIRGO OPTICA LAYOUT



VACUUM SYSTEEM

- Ultra-hoog vacuum
 - Grootste vacuum systeem in Europa

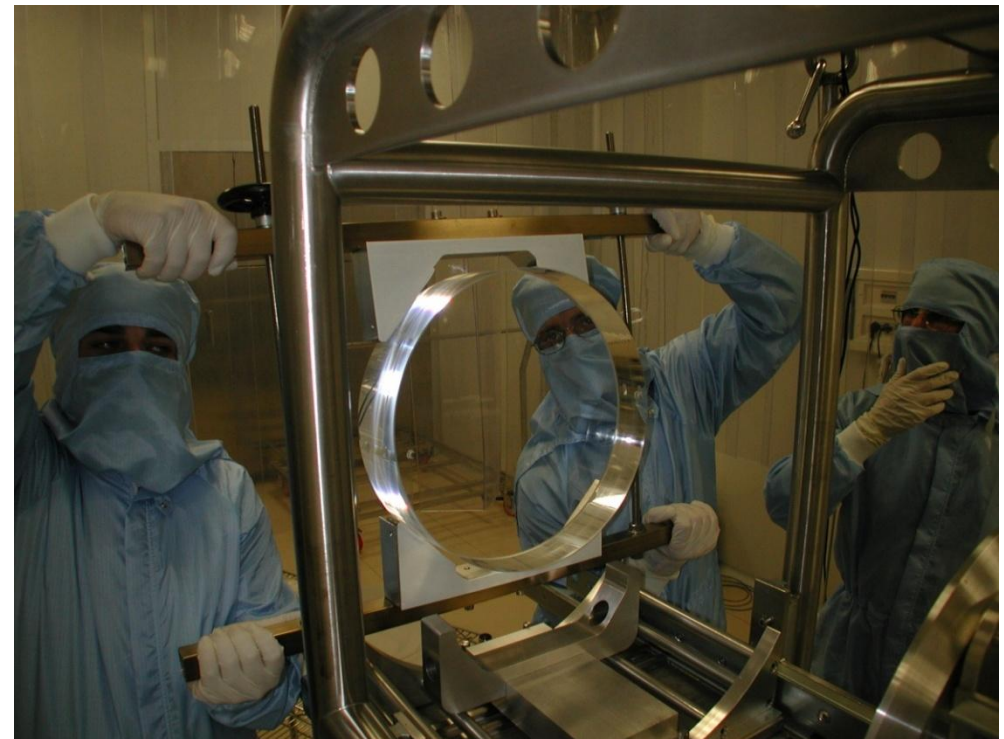


SPIEGELS

Hoge kwaliteit quartz spiegels

- 35 cm diameter, 10 cm dikte, 21 kg massa
- Lichtverlies in het glas ~1 ppm
- Verlies in de coatings <5 ppm
- Vlakheid ~1/100

Quantumeffecten belangrijk



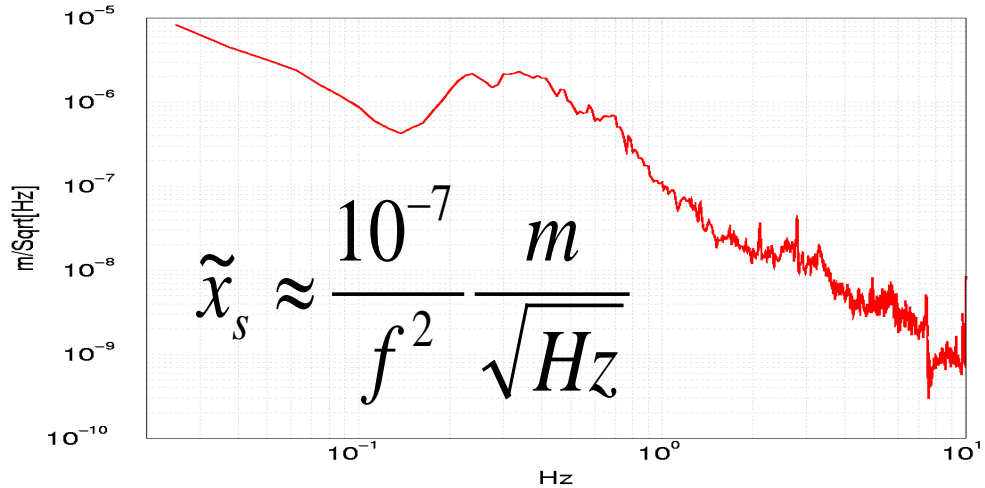
THERMISCHE RUIS

- Mechanische modes zijn in thermische ruis:
 - Modes:
 - Pendulum mode
 - Draad vibratie
 - Spiegel interne modes
 - Coating oppervlak
 - Energie: $k_B T$
- Thermisch spectrum:
- Strategie:
 - Gebruik speciale materialen:
→ concentreer de beweging op de...



DE UITDAGING VAN SEISMISCHE RUIS

- Ruis spectrum:

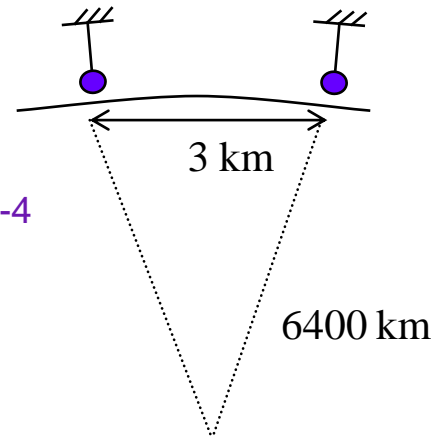


- Doel:

- Meer dan 10 ordes van verzwakking boven 4Hz

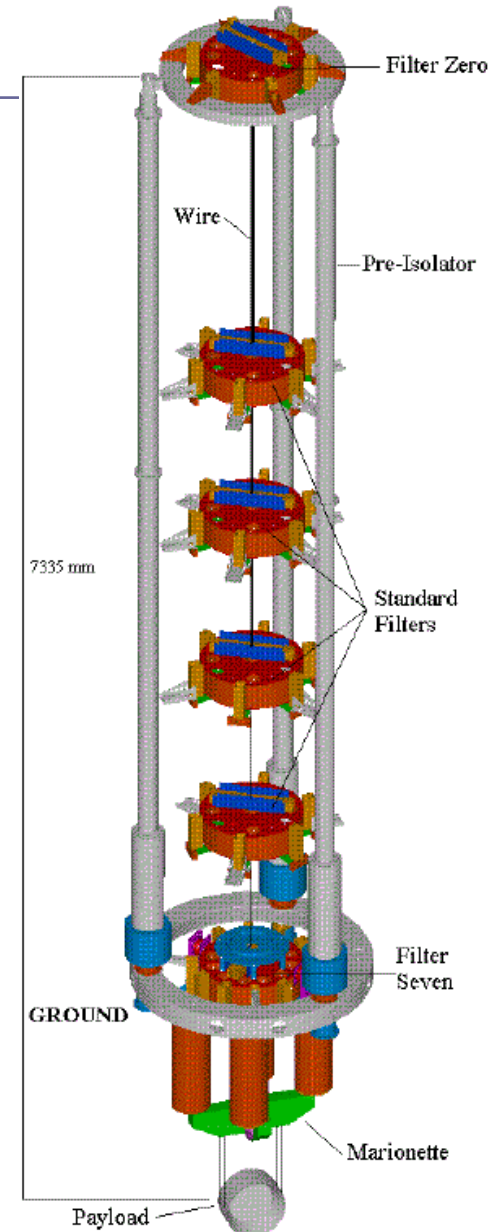
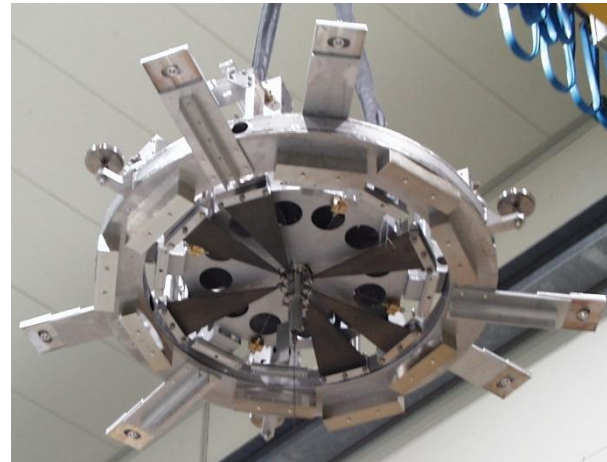
- Verticale naar horizontale koppeling $> 2 \times 10^{-4}$

- We moeten ook verticale bewegingen filteren!

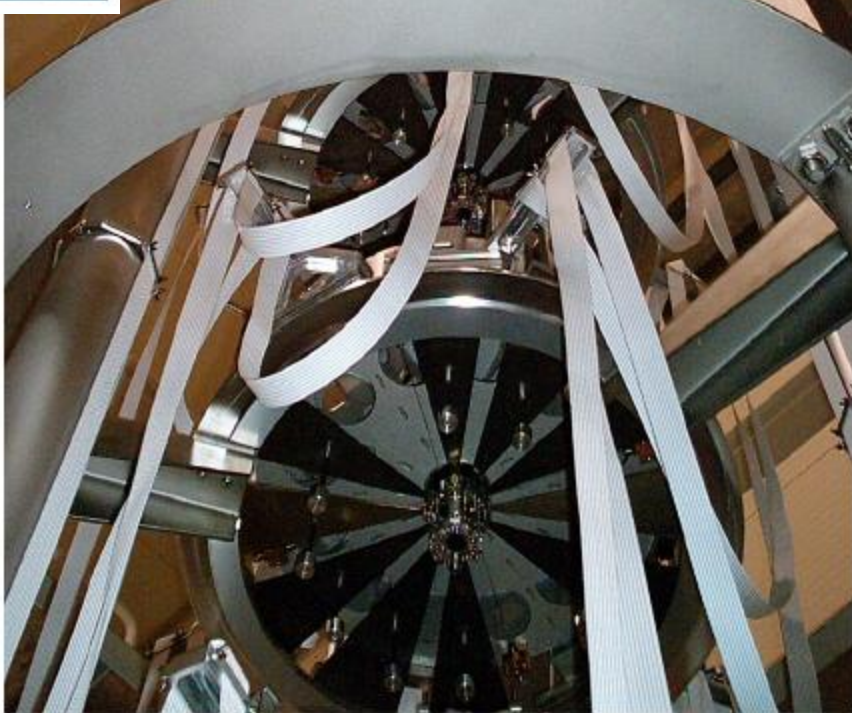
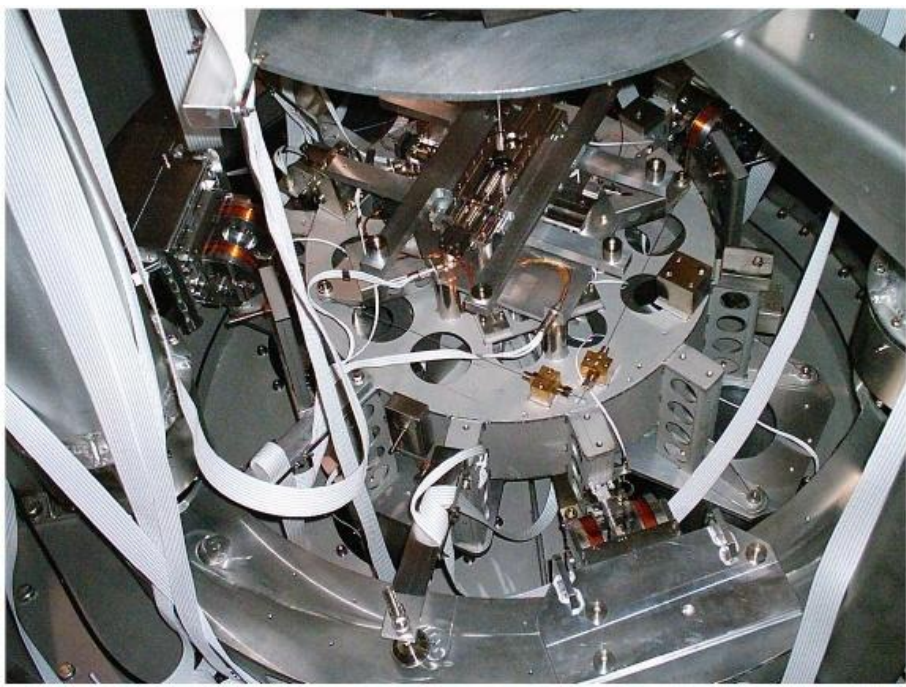
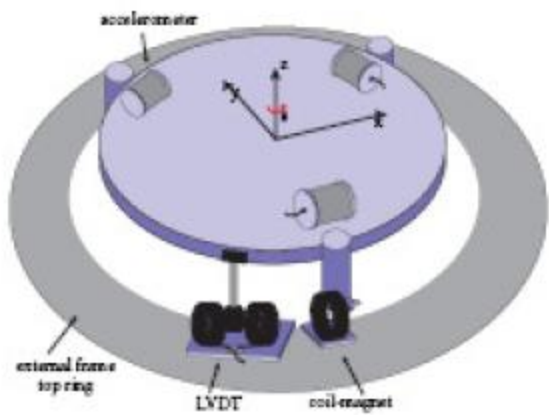


VIRGO SUPERDEMPERS

- Oplossing:
 - Keten van filters
- Passief apparaat
 - Combineer:
 - bladen (verticaal)
 - Draden (pendulum)
- 6 seismische filters (in alle vrijheidsgraden)
- Inverted pendulum voor regeling bij lage freq.
- 2 regel oplossingen:
 - Marionette (longitudinaal-hoek)
 - Referentie massa (longitudinaal)
- Verwachte verzwakking: 10^{14} @ 10 Hz
- Diverse regelstrategieën

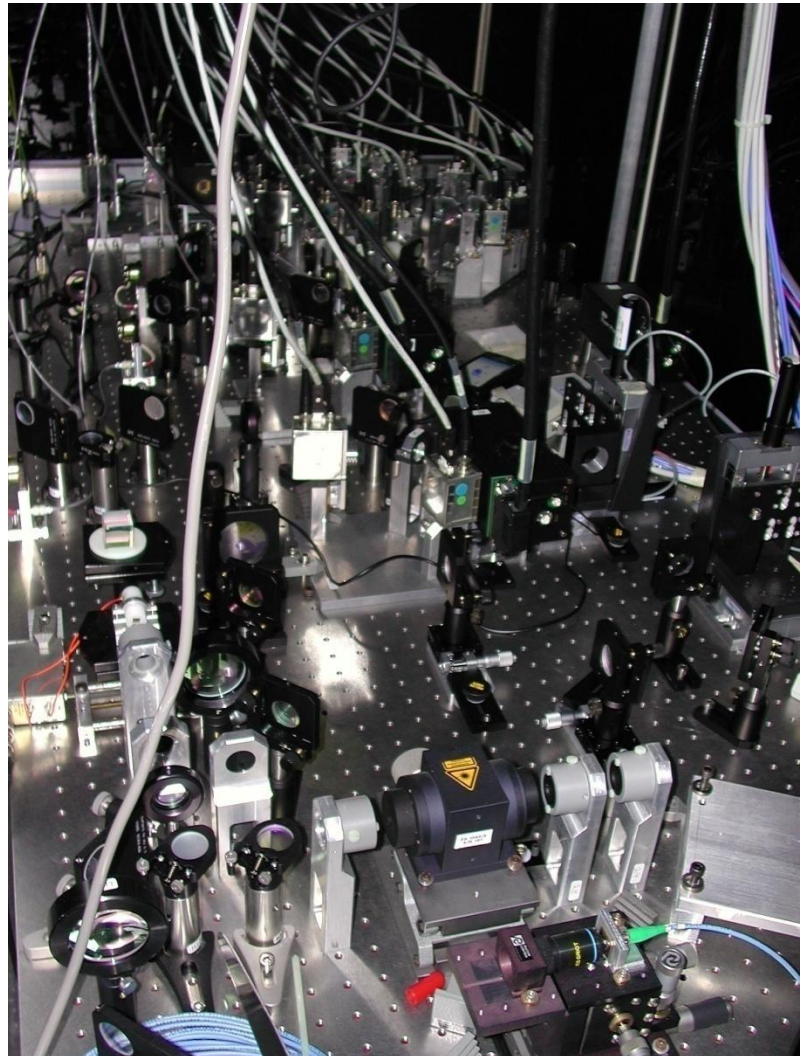
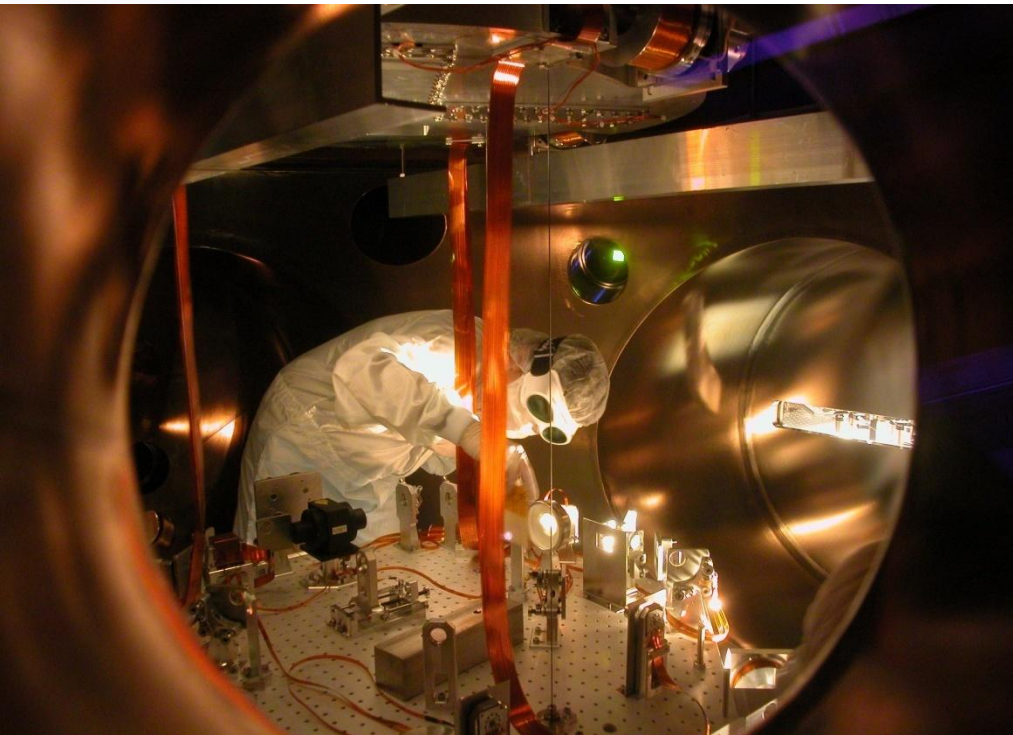


SUPERDEMPERS



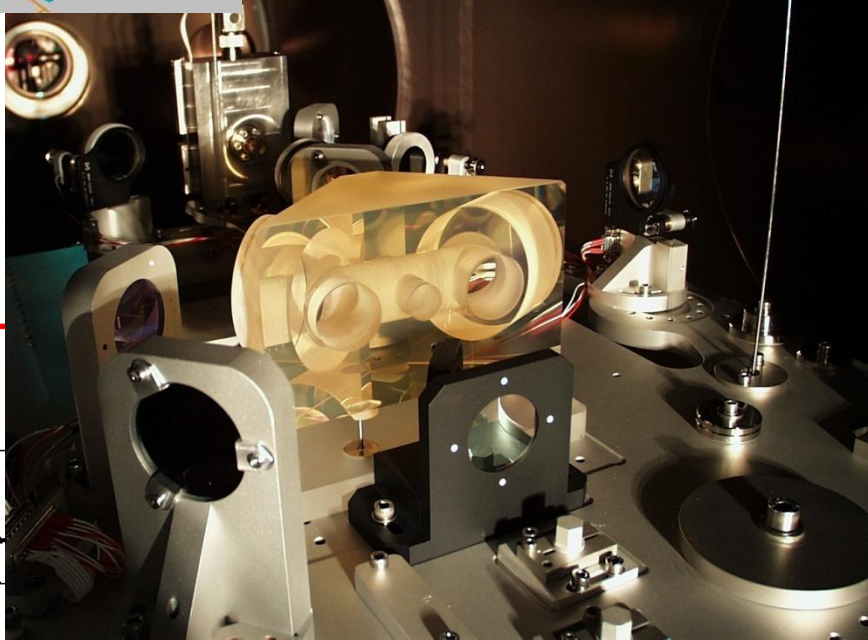
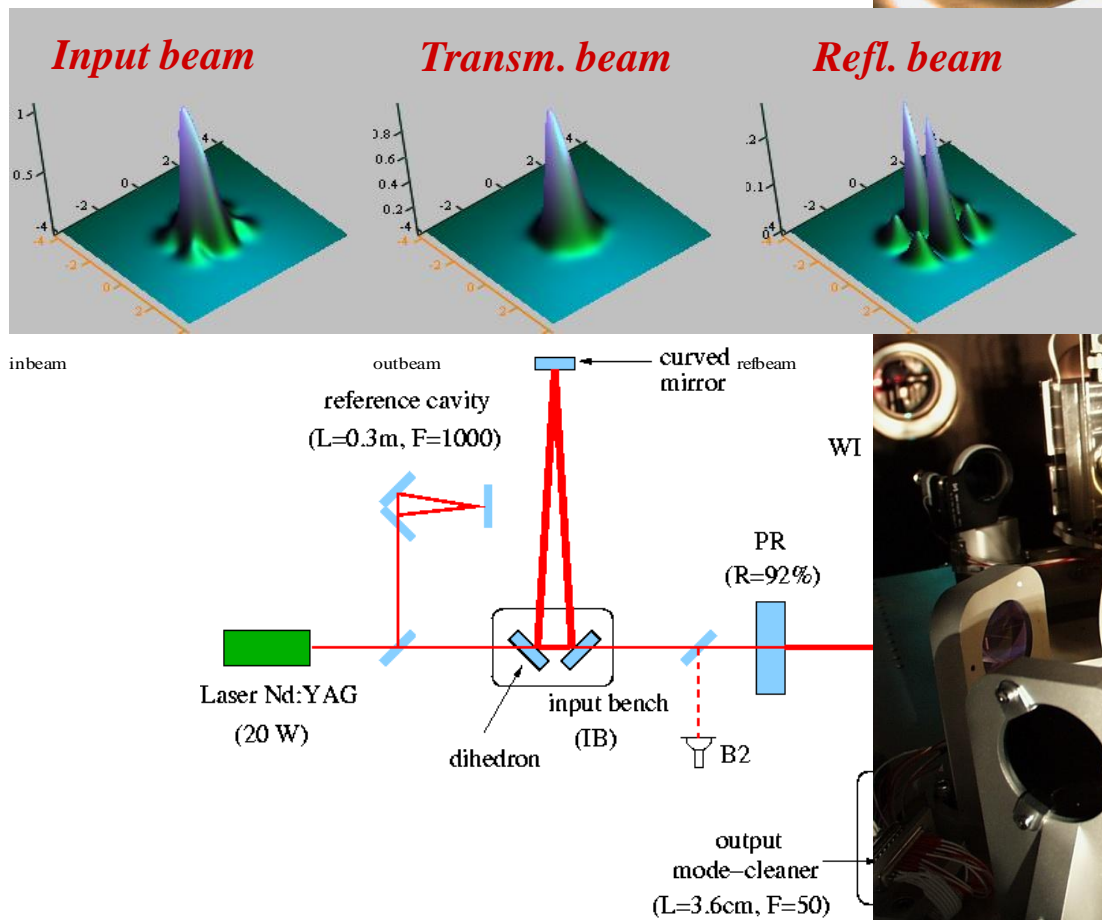
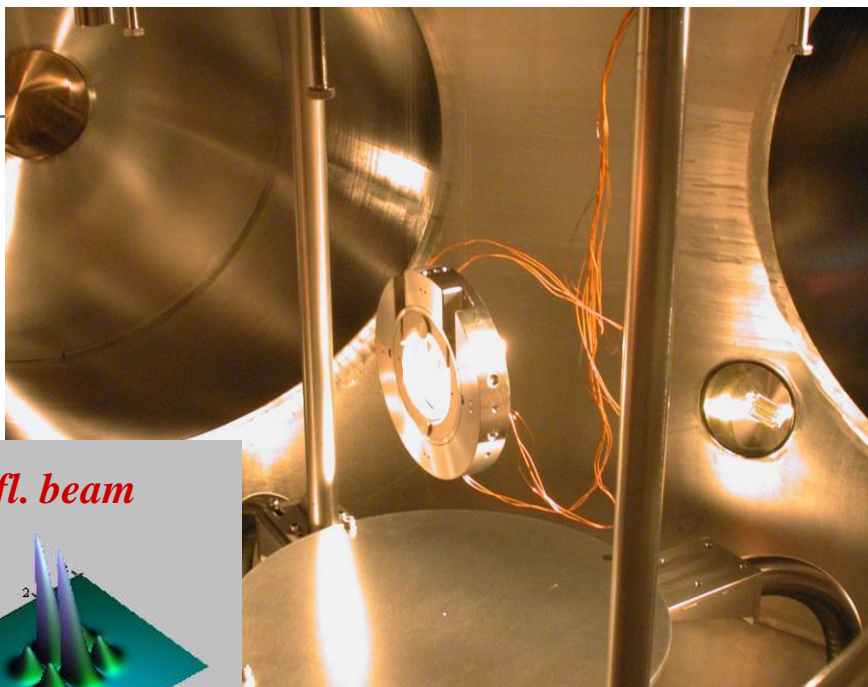
DETECTIESYSTEEM

- In theorie:
 - Een fotodiode
- Realiteit
 - Veel bundels, veel fotodiodes, mod/demodulatie elektronica, camera's, DAQ,...
 - > 1400 « ADC channels »
 - 18 Mbytes/s of ruwe data

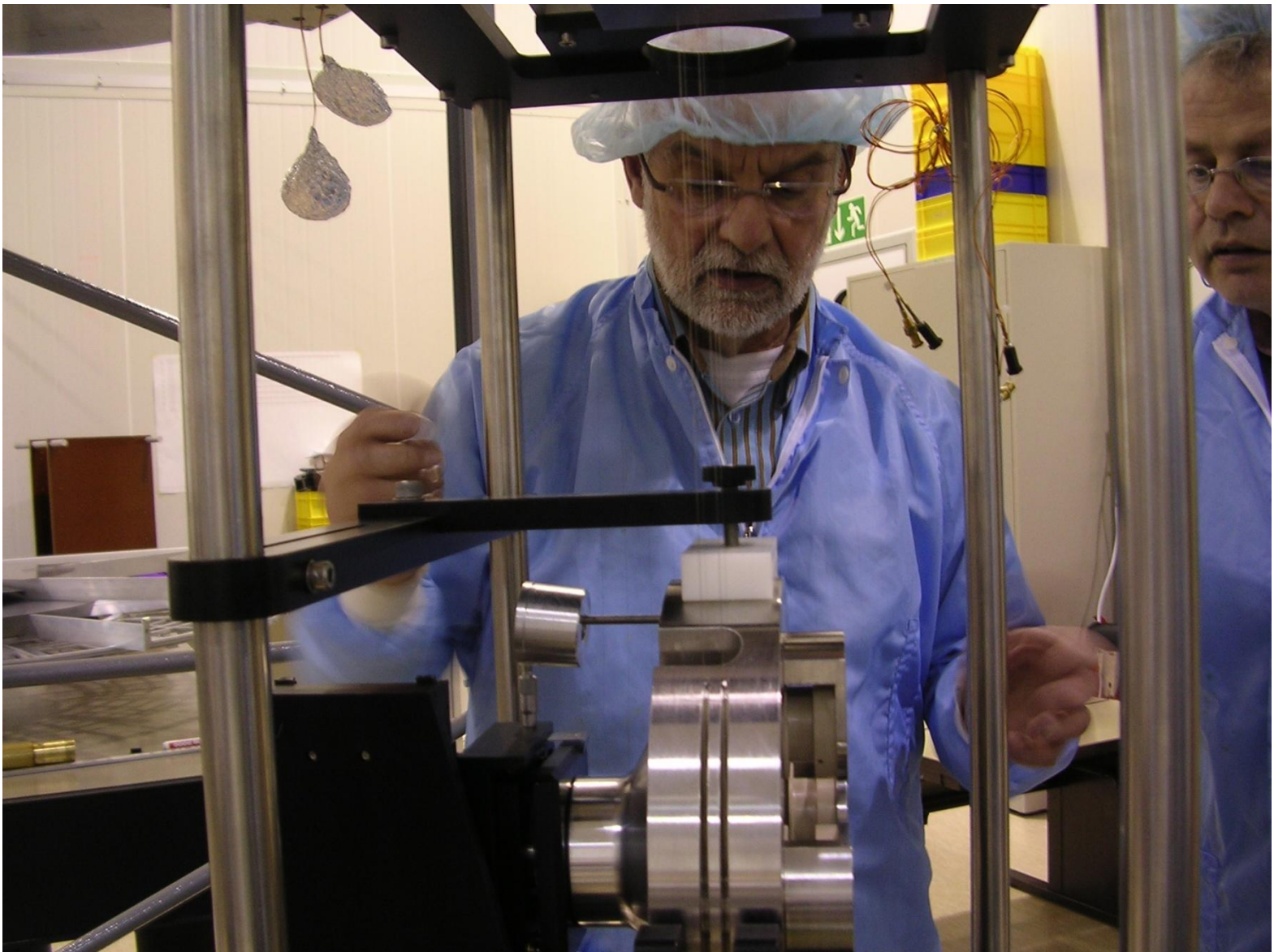


INPUT MODE CLEANER

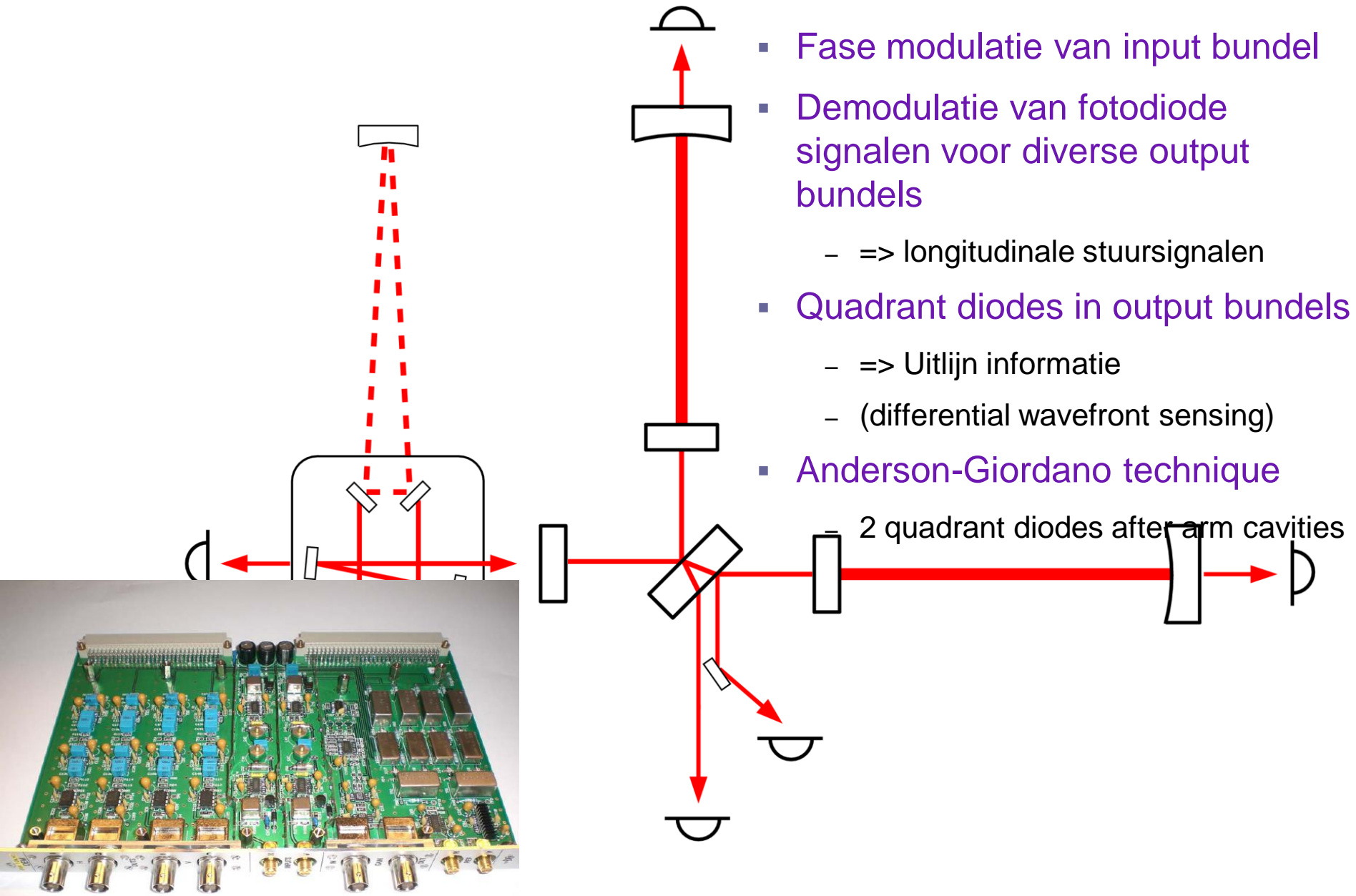
- Mode cleaner cavity: filter laser ruis, selecteer TEM00 mode



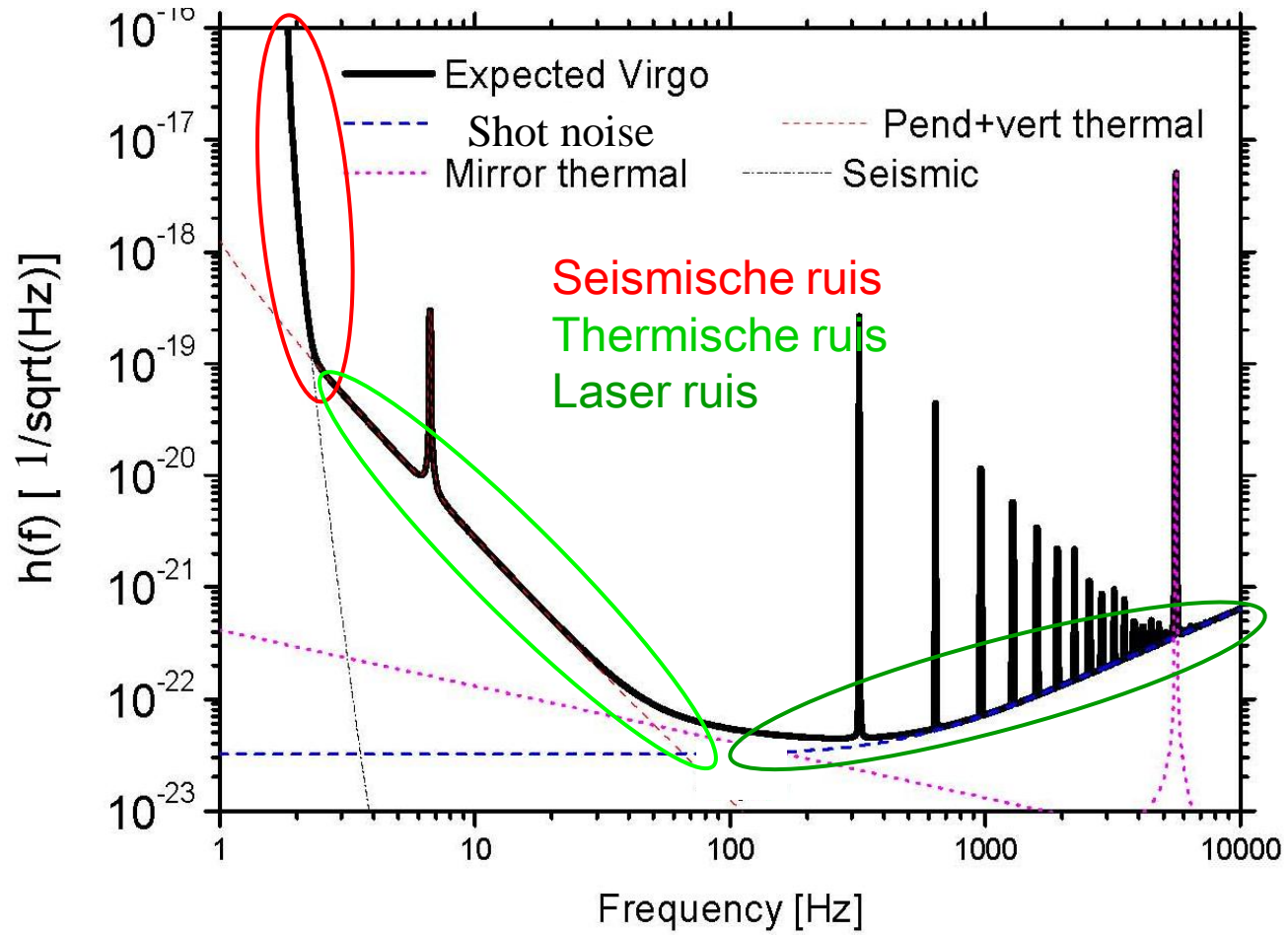
IMC EINDSPIEGEL GEMAAKT OP NIKHEF



NIKHEF: HOEK UITLIJNING VAN VIRGO



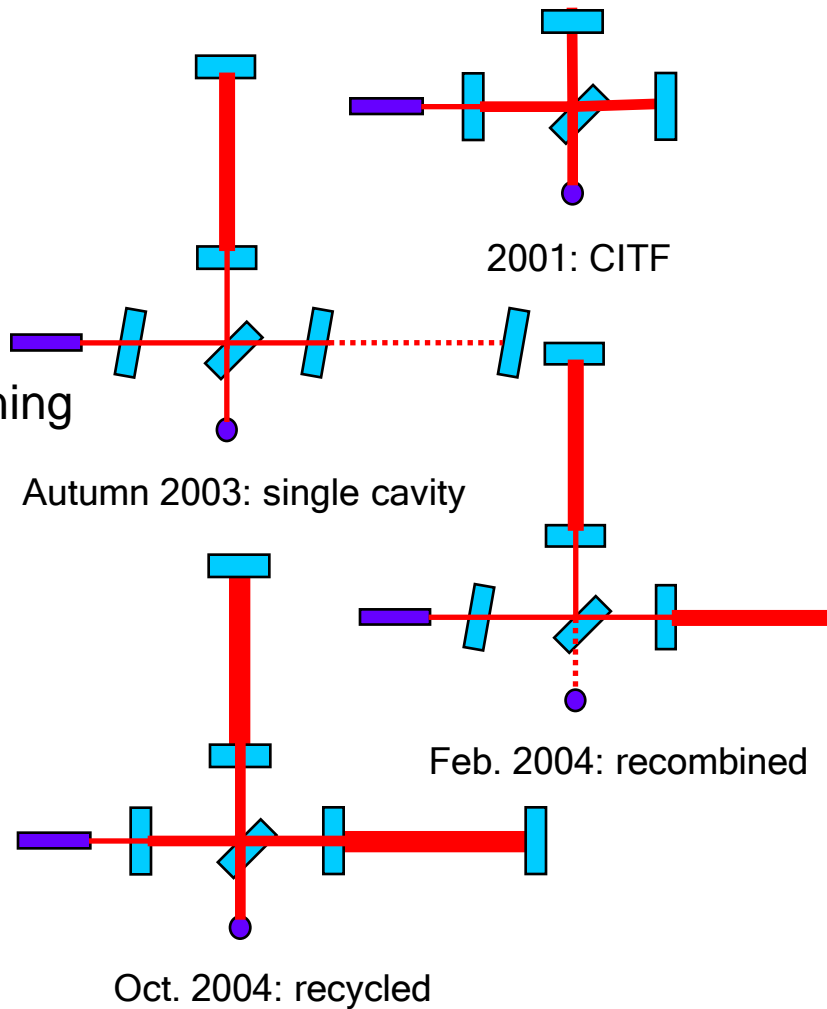
VIRGO ONTWERP GEVOELIGHEID



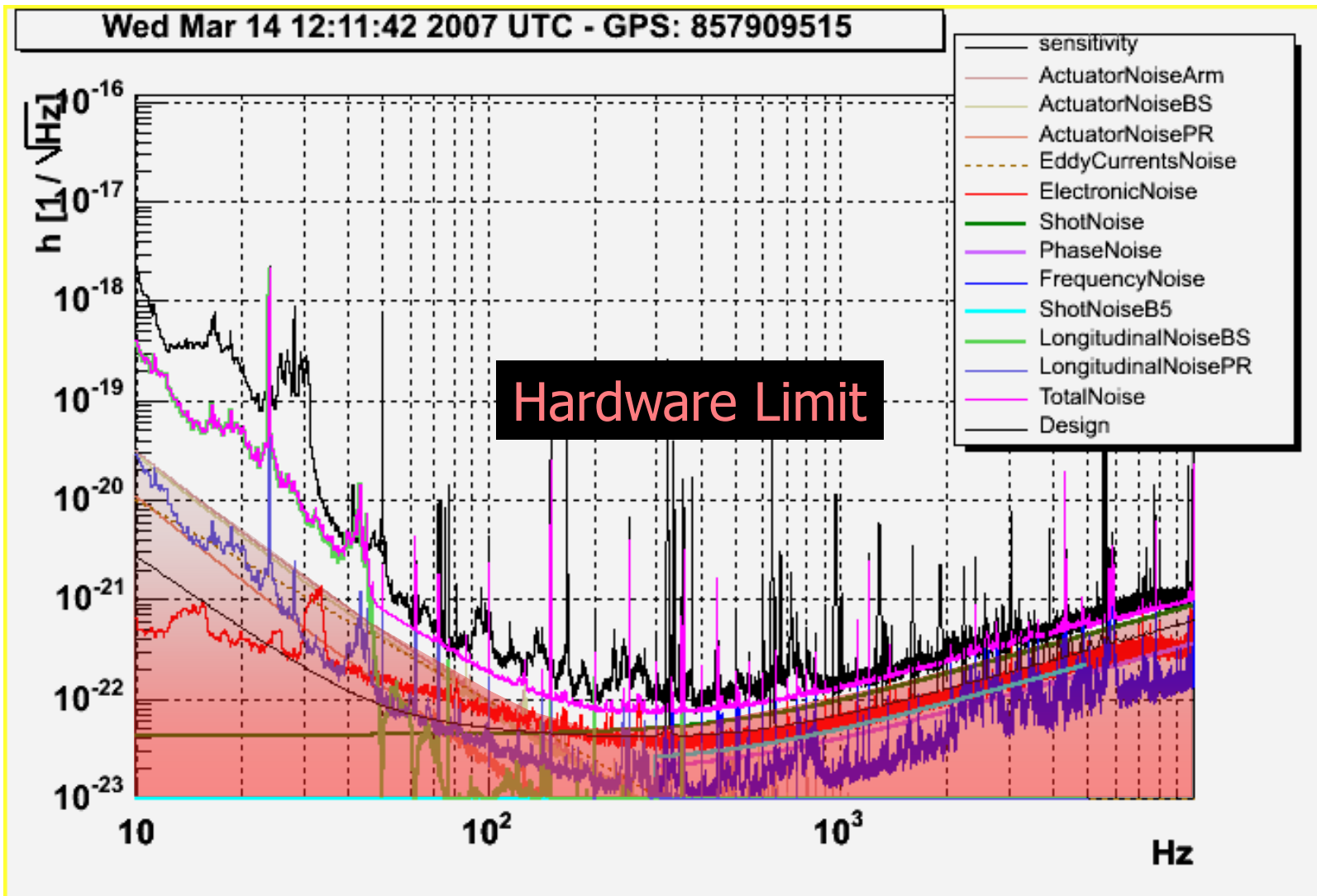
VIRGO STATUS & COMMISSIONING

A SHORT SUMMARY

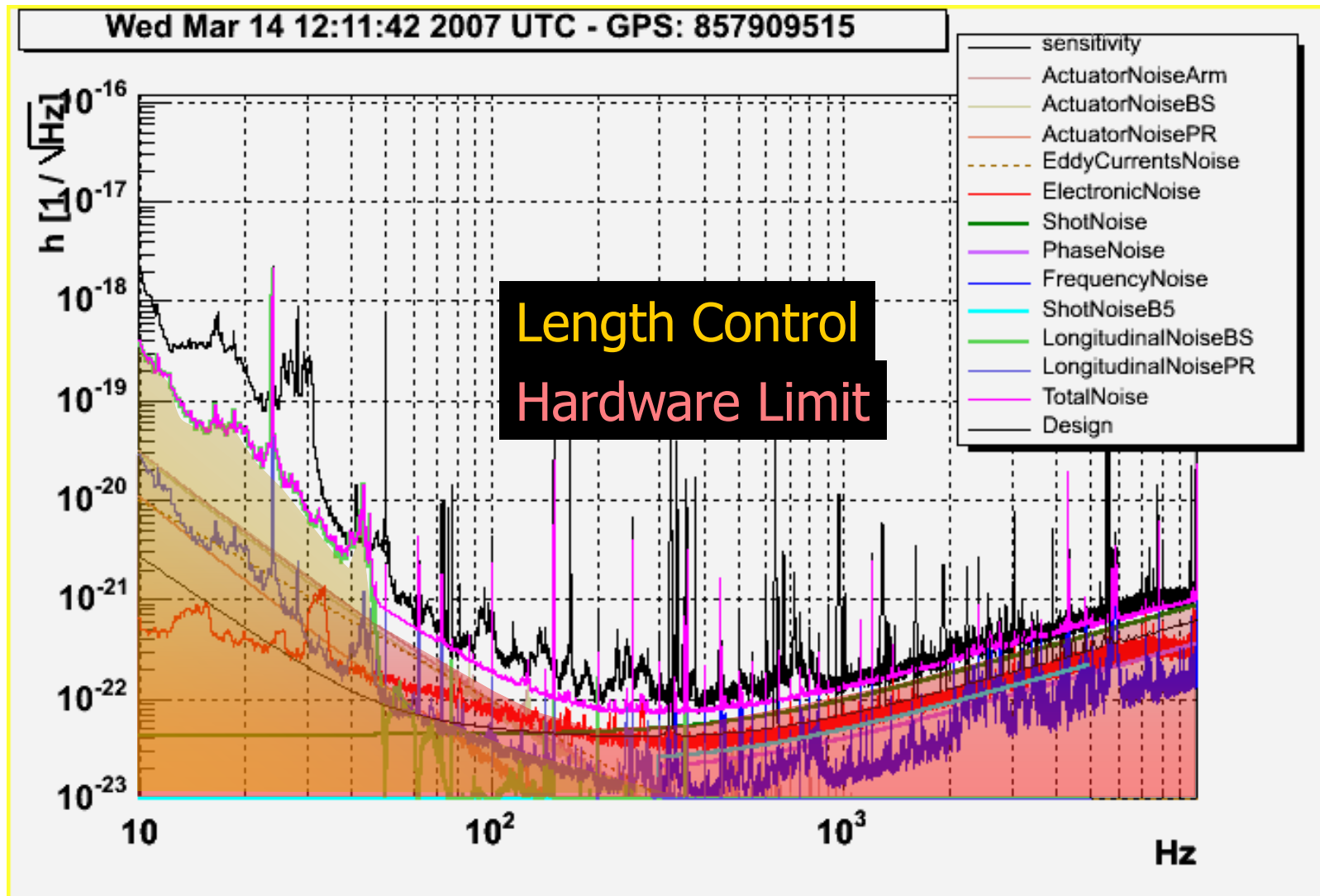
- 1993
 - Virgo approved by CNRS & INFN
- 1996
 - Start construction at the Site
- 2001-02
 - Central Interferometer commissioning
- July 2003:
 - Inauguration;
 - Start the full Virgo commissioning
- February 2004:
 - First Lock in recombined mode
- October 2004:
 - First lock in recycled mode
- September 2006
 - First lock at high power



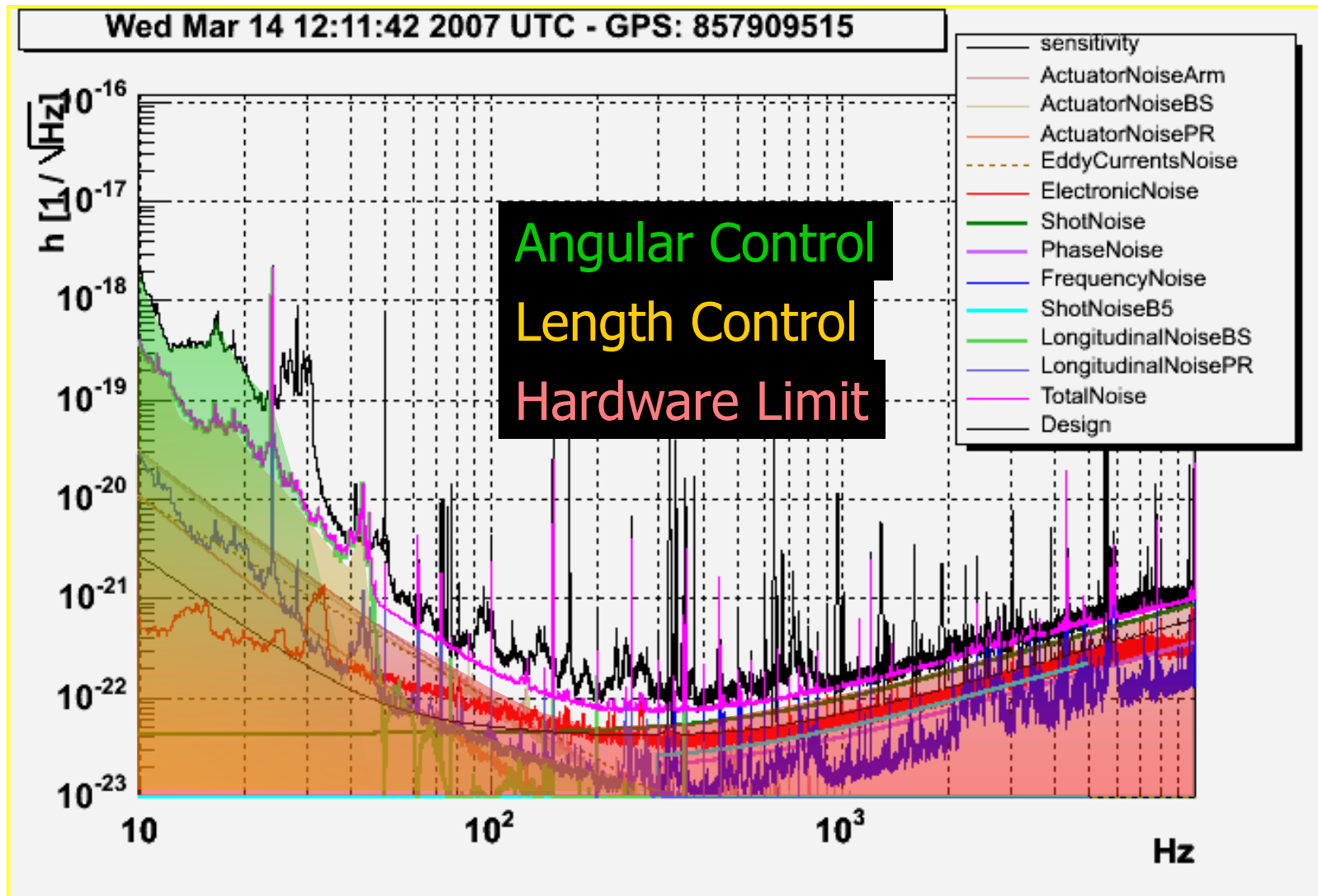
SENSITIVITY TODAY



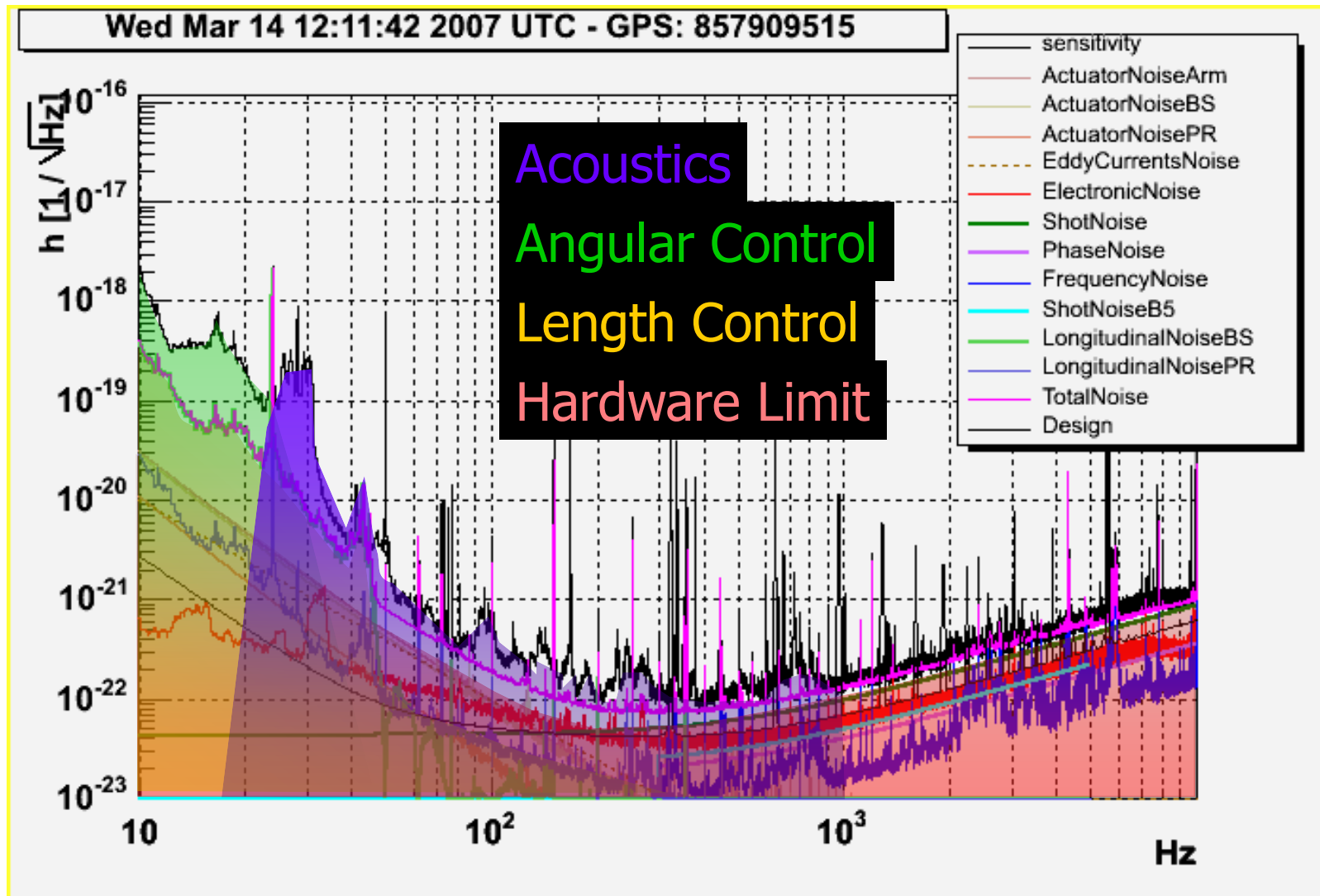
SENSITIVITY TODAY



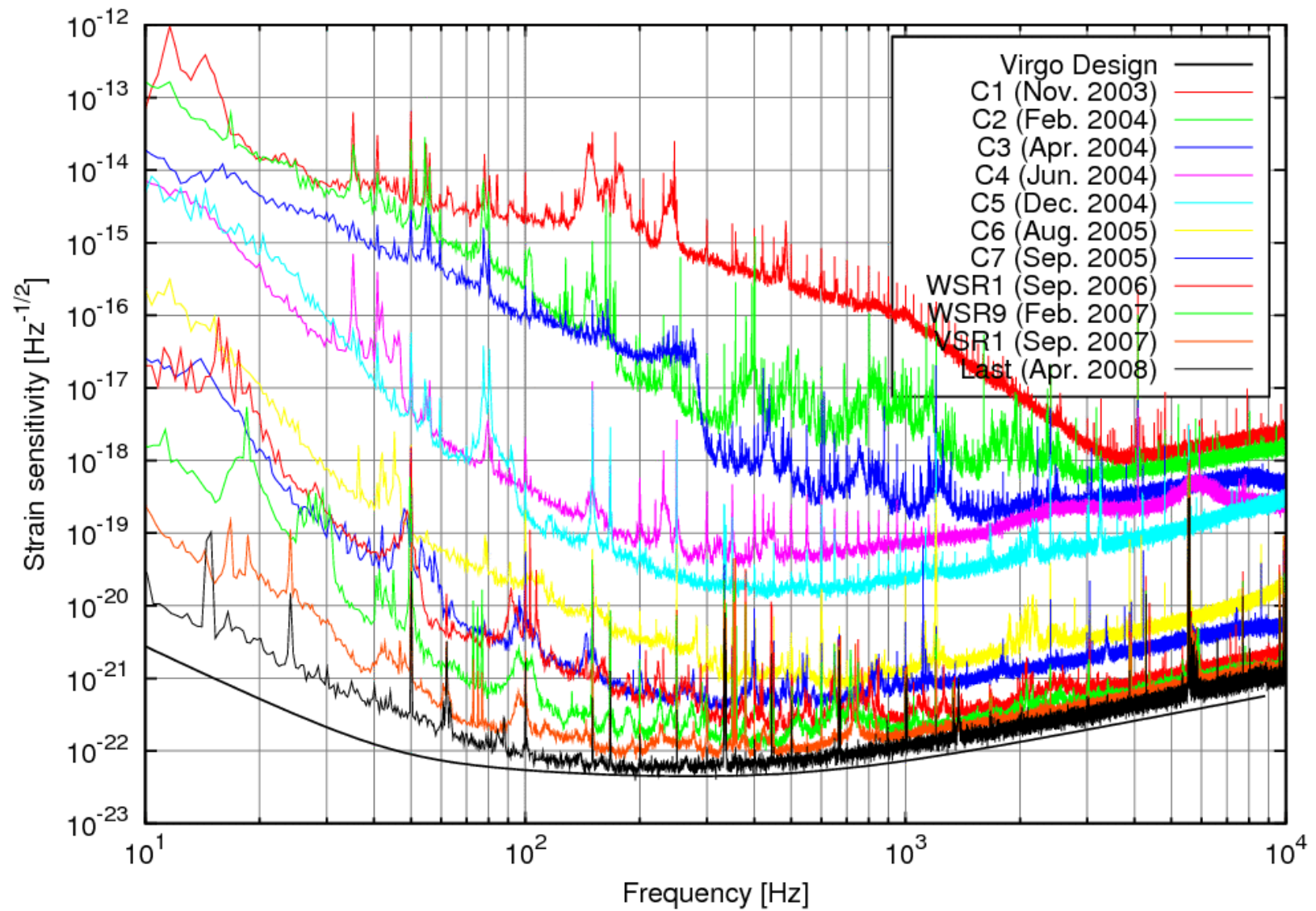
SENSITIVITY TODAY



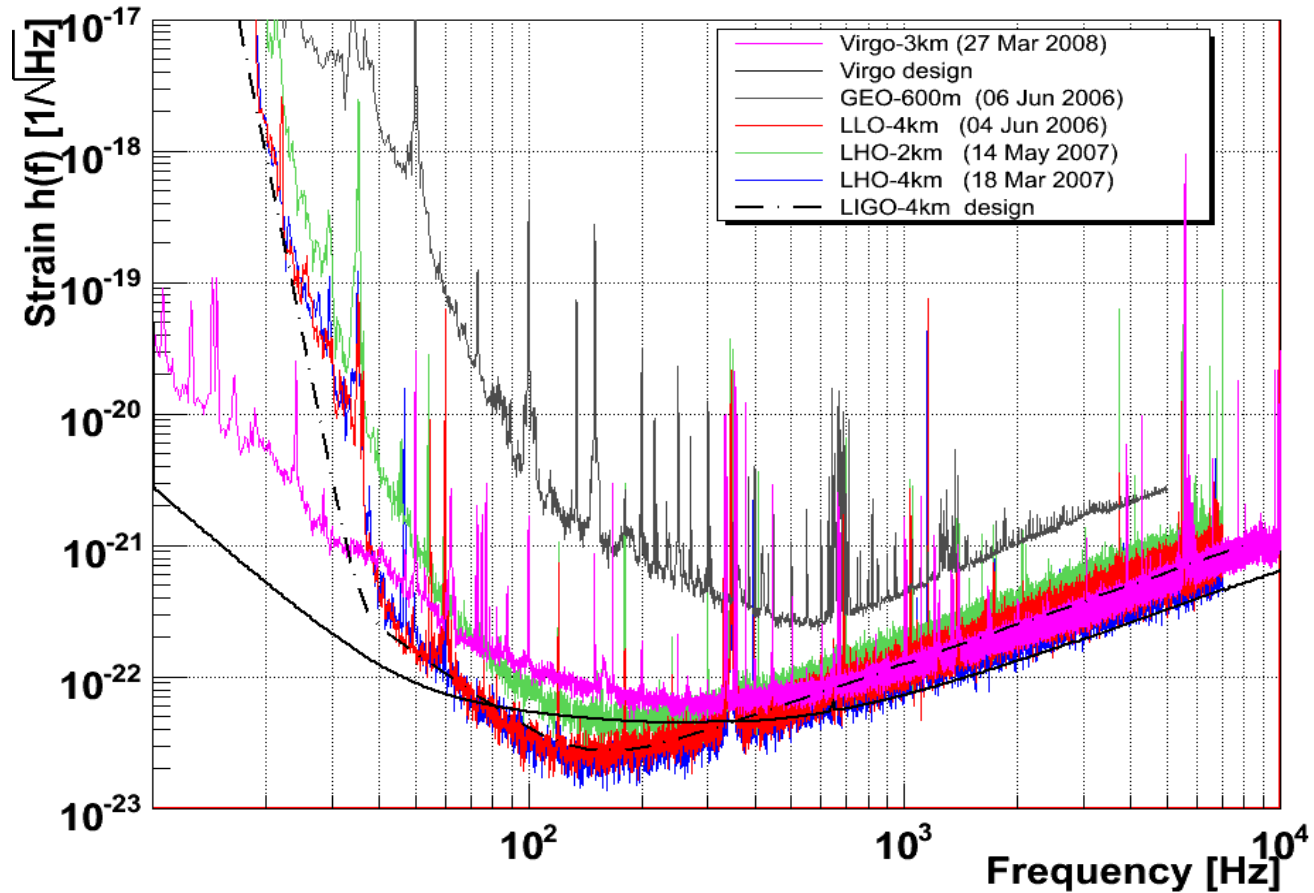
SENSITIVITY TODAY



EVOLUTIE VAN GEVOELIGHEID

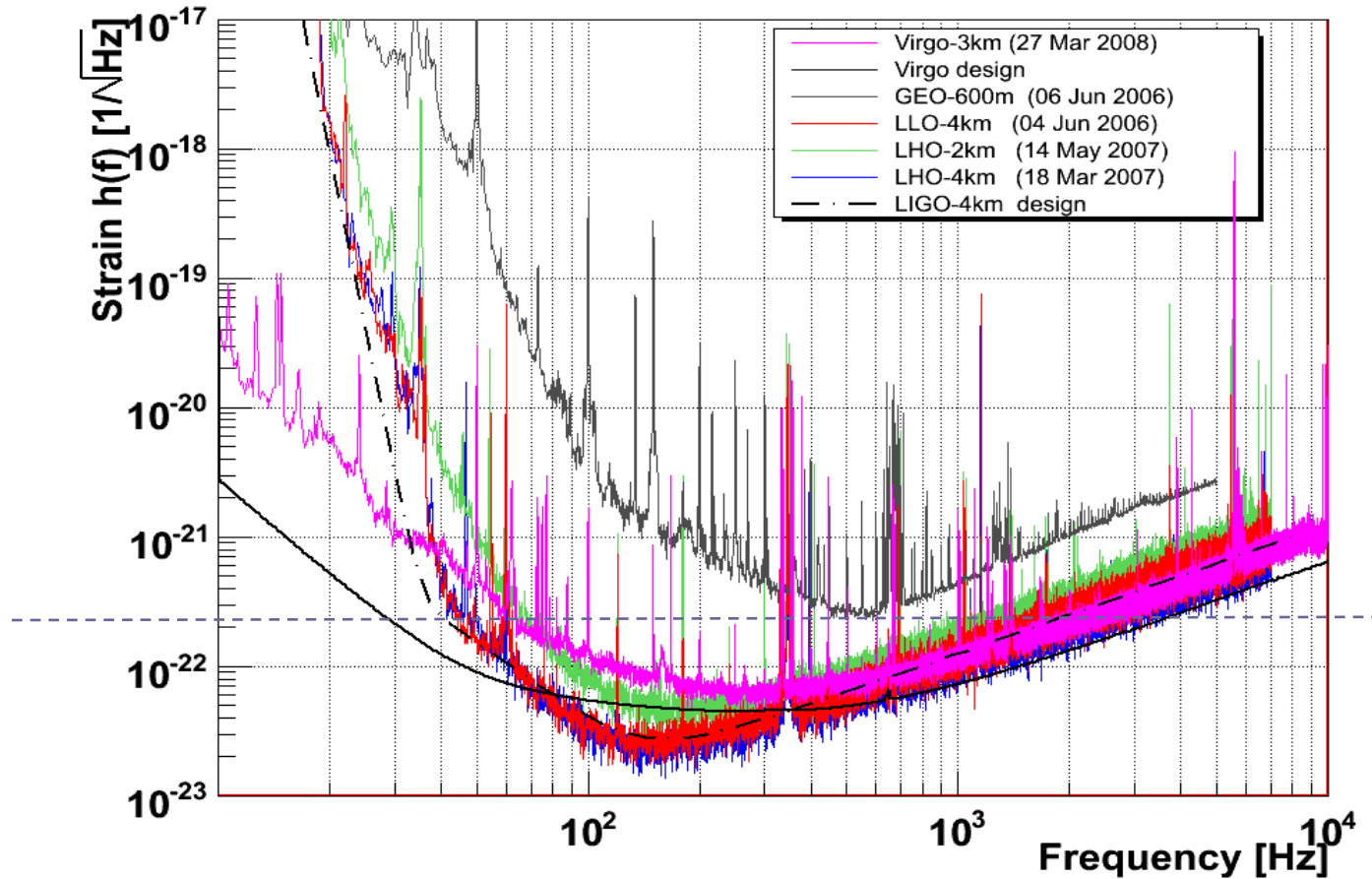


INTERFEROMETERS – GEVOELIGHEID



De horizon (optimale orientatie) voor een binair systeem van twee 10 zonnemassa's zwarte gaten is 63 Mpc

INTERFEROMETERS – GEVOELIGHEID



De horizon (optimale orientatie) voor een binair systeem van twee 10 zonnemassa's zwarte gaten is 63 Mpc

Vergelijk met wortel uit Planck tijd: $t_P \equiv l_P c \equiv \sqrt{\hbar G_N / c^5} = 5 \times 10^{-44} \text{ Hz}^{-1}$

Voor $h \leq \sqrt{t_P} = 2.3 \times 10^{-22} \sqrt{\text{Hz}}$ mogelijk om details op Planck schaal te zien

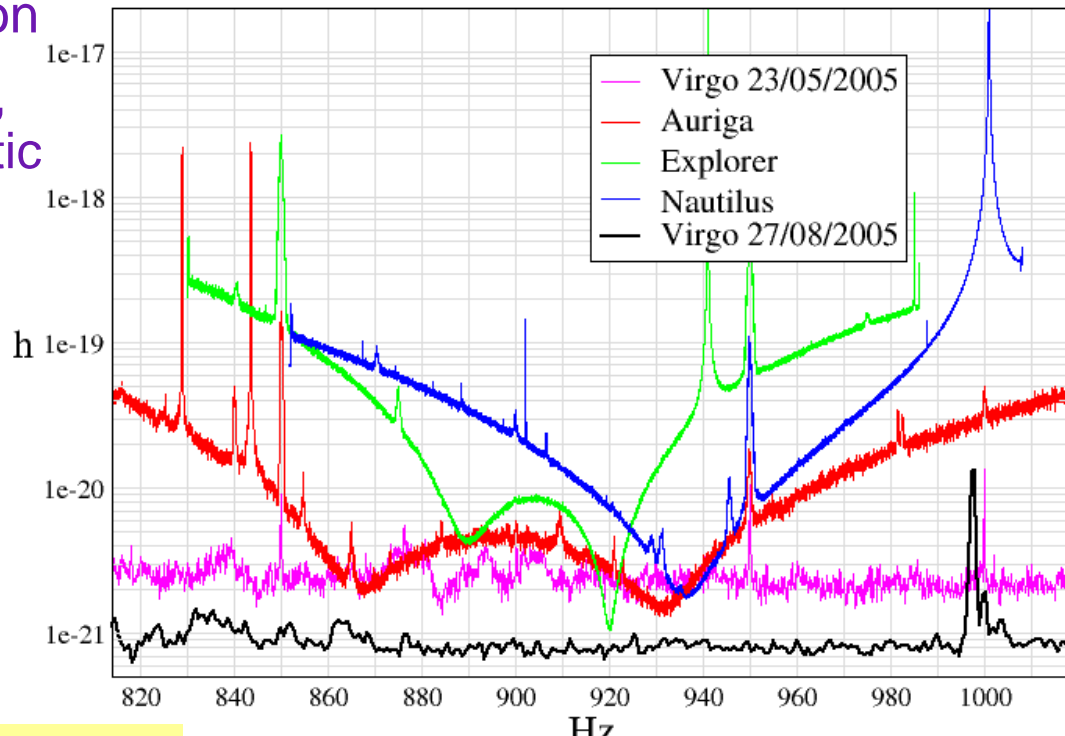
VIRGO JOINT ANALYSES

Virgo – Bars joint analysis

- Burst events and stochastic signals
- Bars, GEO600 and 2km Hanford in Astrowatch

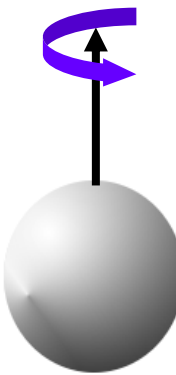
Virgo – LIGO collaboration

- Working group for burst, inspiral events, stochastic and periodic sources
- Formal MoU
- Publish together

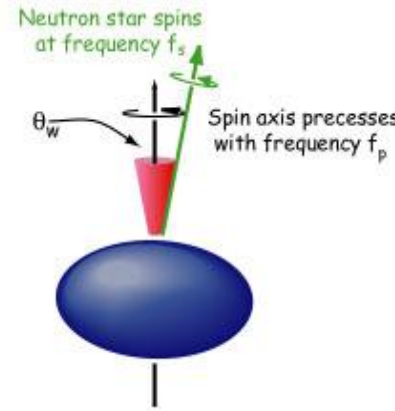


Virgo now at $<10^{-22}$ / rtHz

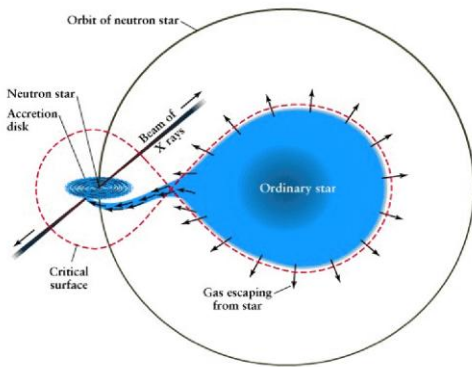
STRALING VAN ROTERENDE NEUTRONENSTERREN



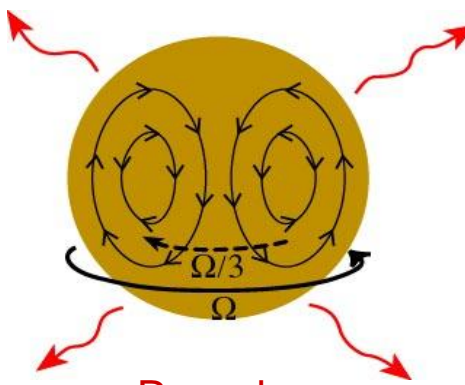
“Berg” op neutronenster



Tollende neutronenster

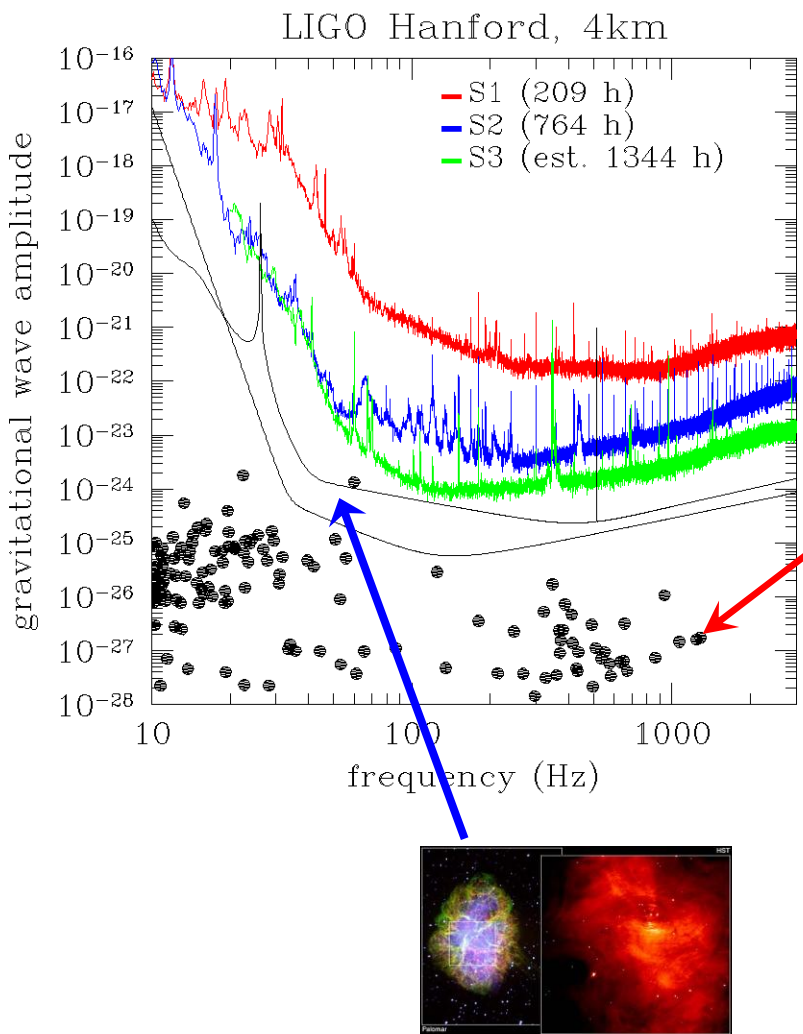


Accretie door neutronenster



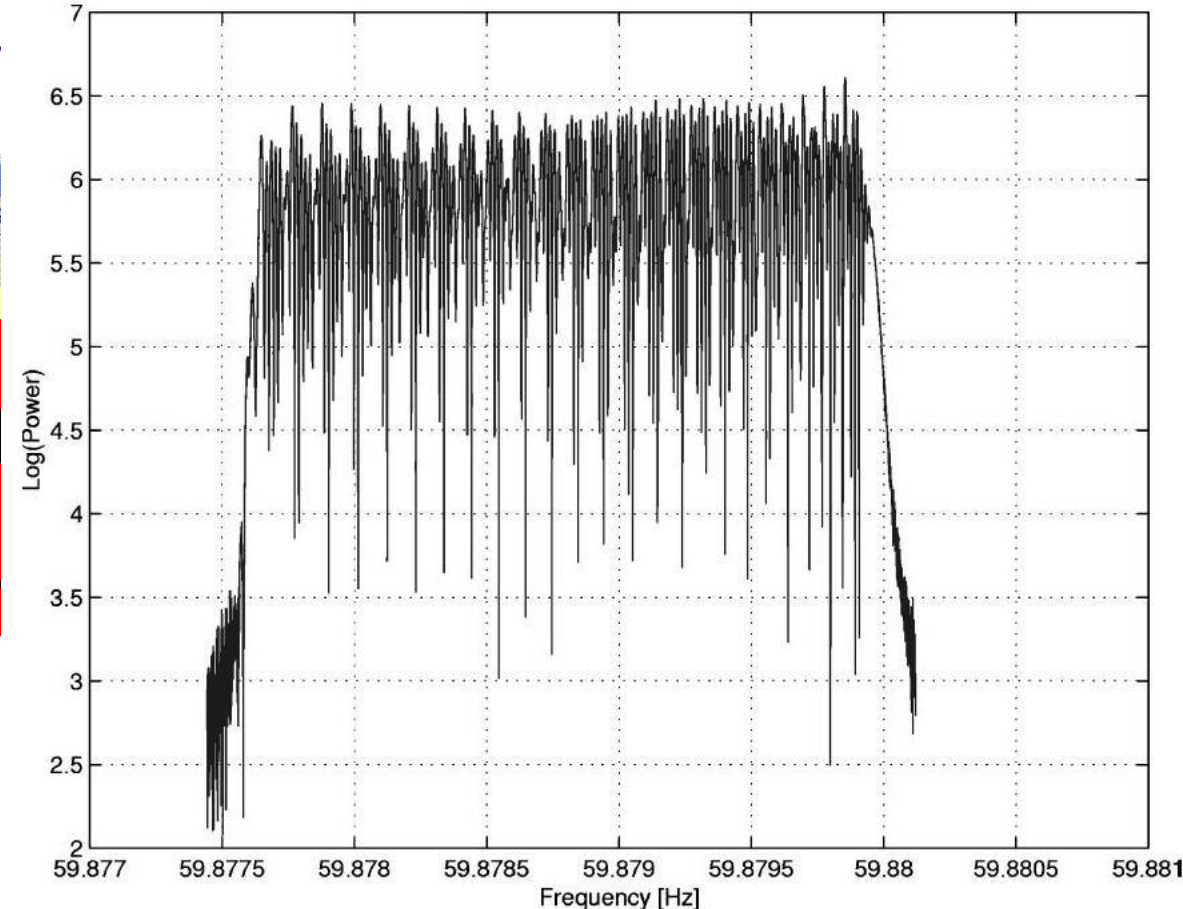
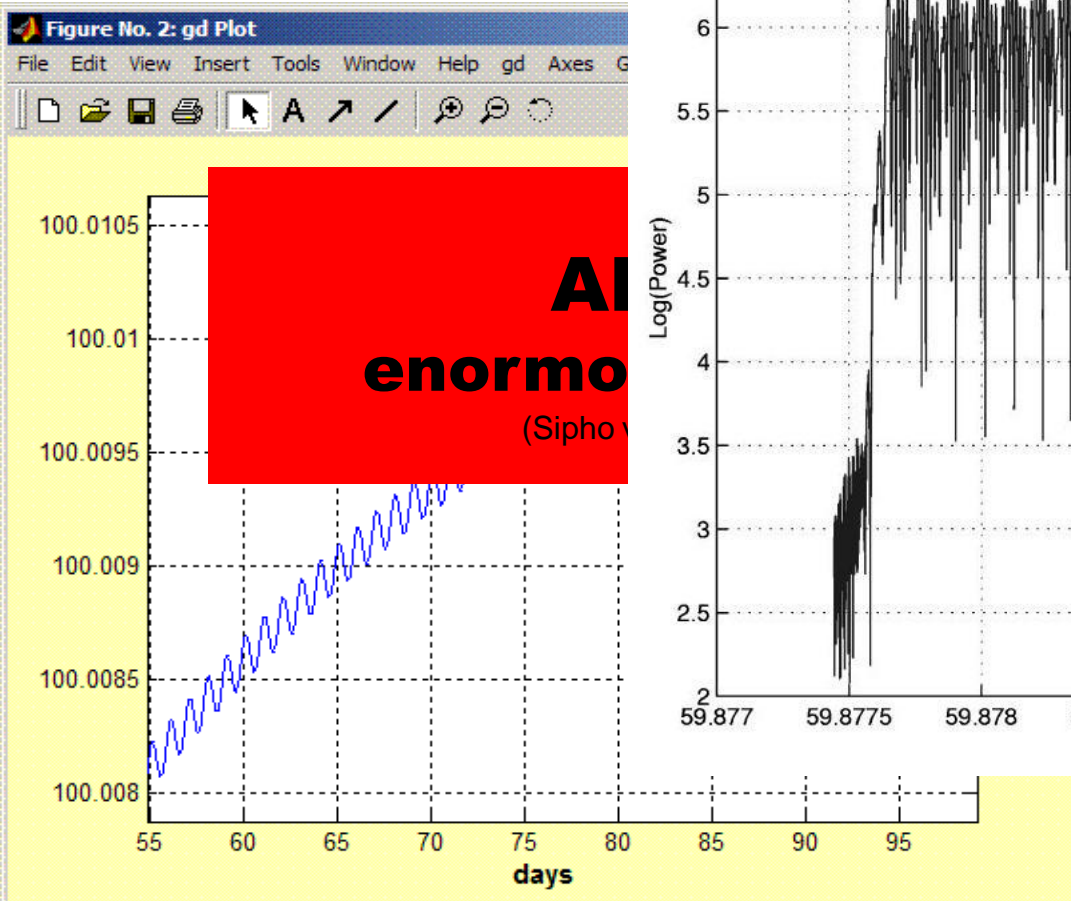
R-modes

POINTING AT KNOWN NEUTRON STARS



- Targeted search of GWs from known isolated radio pulsars
- S1 analysis: upper-limit (95% confidence) on PSR J1939+2134:
$$h_0 < 1.4 \times 10^{-22} (e < 2.9 \times 10^{-4})$$
 Phys Rev D 69, 082004 (2004)
- S2 analysis: 28 pulsars (all the ones above 50 Hz for which search parameters are “exactly” known)

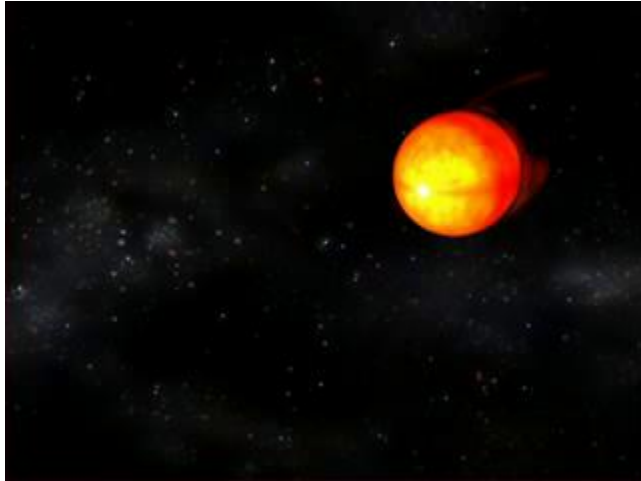
- Doppler shifts
 - Frequency modulation: due to Earth's motion
 - Amplitude m



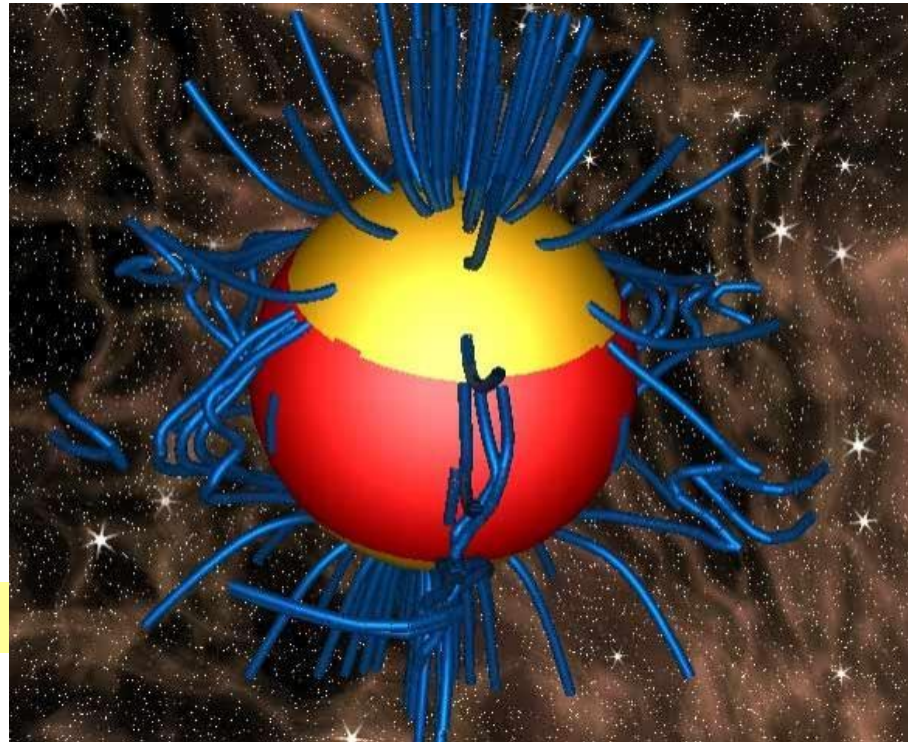
- Hough maps
- Include binary systems

BINAIRE PULSARS

$$h = 3 \cdot 10^{-27} \left(\frac{10 \text{ kpc}}{r} \right) \left(\frac{I_{zz}}{10^{45} \text{ g cm}^2} \right) \left(\frac{f}{200 \text{ Hz}} \right)^2 \left(\frac{\varepsilon}{10^{-6}} \right)$$

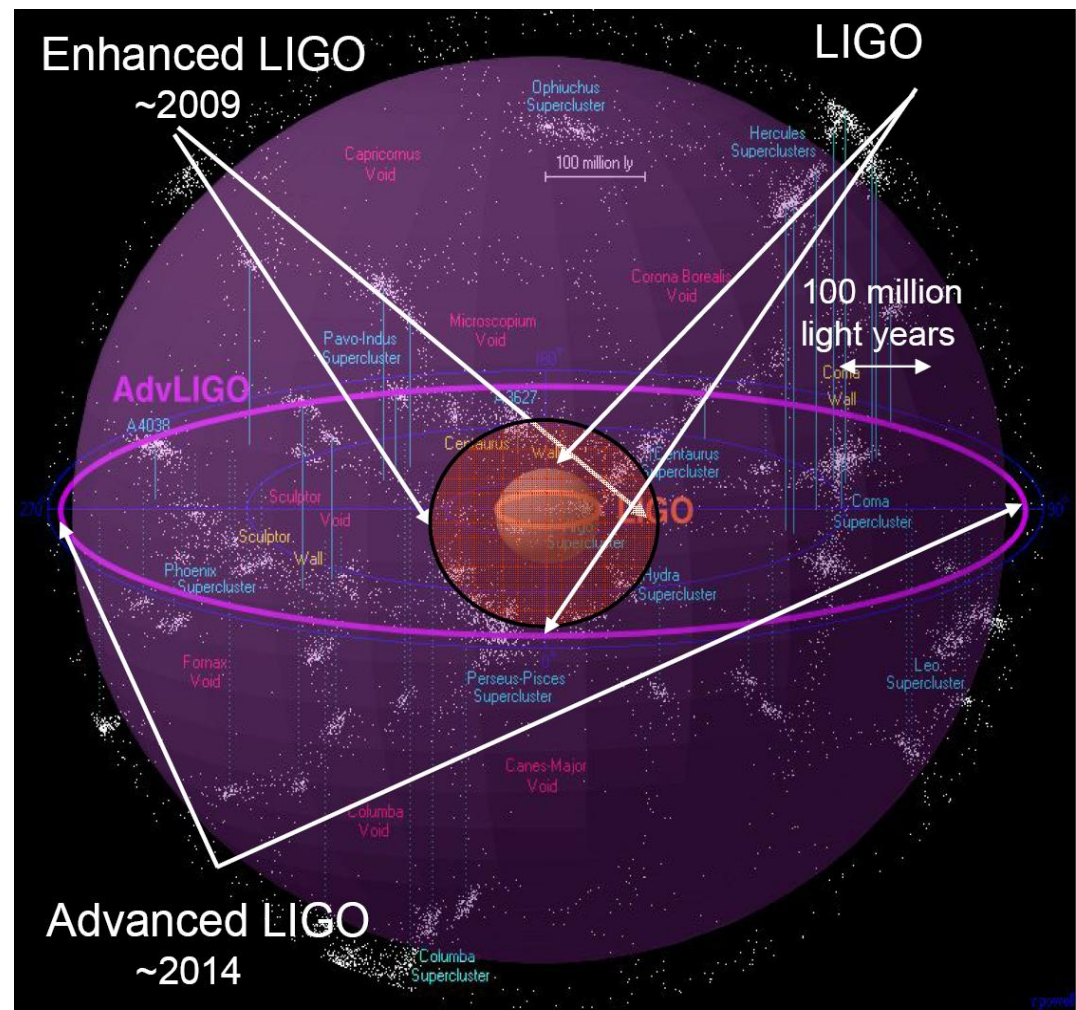


Include binary system in analysis



LIGO EN VIRGO: EVOLUTIE

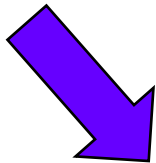
- Op dit moment honderden sterrenstelsels binnen bereik
- Virgo+ programma
 - In 2009 ongeveer 10 keer meer stelsels binnen bereik
- Advanced detectoren
 - Ongeveer 1000 keer meer sterrenstelsels binnen bereik
 - In 2014 verwachten we 1 signaal per dag of week
 - Begin van gravitatie astrofysica



EVOLUTION OF GROUND-BASED GW DETECTORS

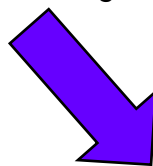
- 1st generation interferometric detectors

- Initial LIGO, Virgo, GEO600



We are here

- Enhanced LIGO, Virgo+



- 2nd generation detectors

- Advanced LIGO, Advanced Virgo, GEO-HF

Thorough observation
of Universe with GW

Unlikely detection

Science data taking
Set up network observation

Plausible detection

Lay ground for multi-
messenger astronomy

Likely detection

Routine observation
Towards GW astronomy

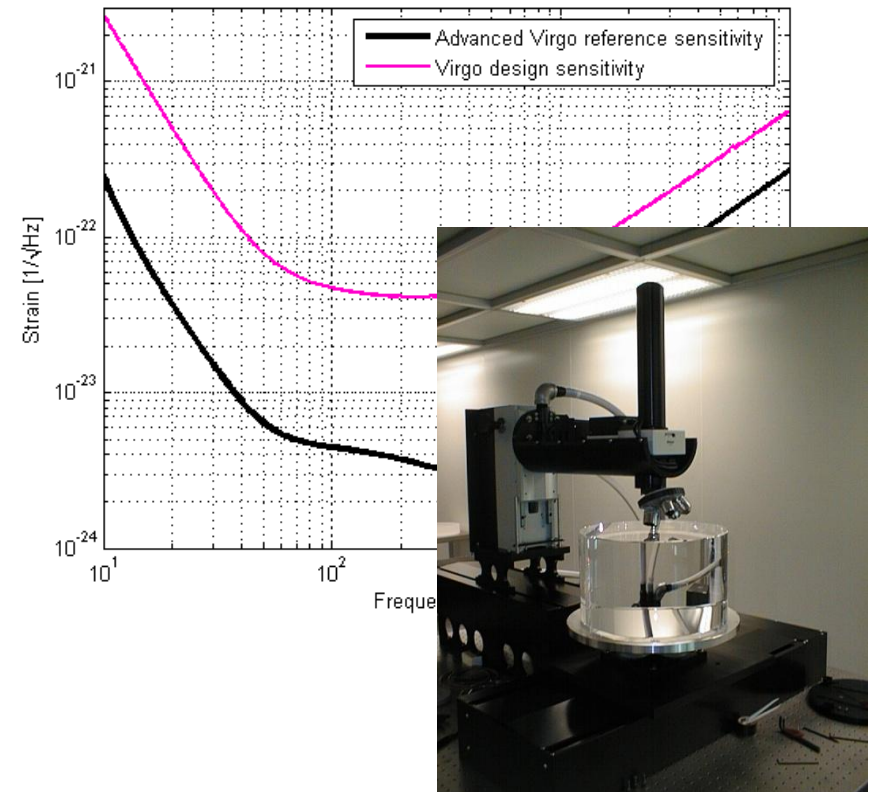
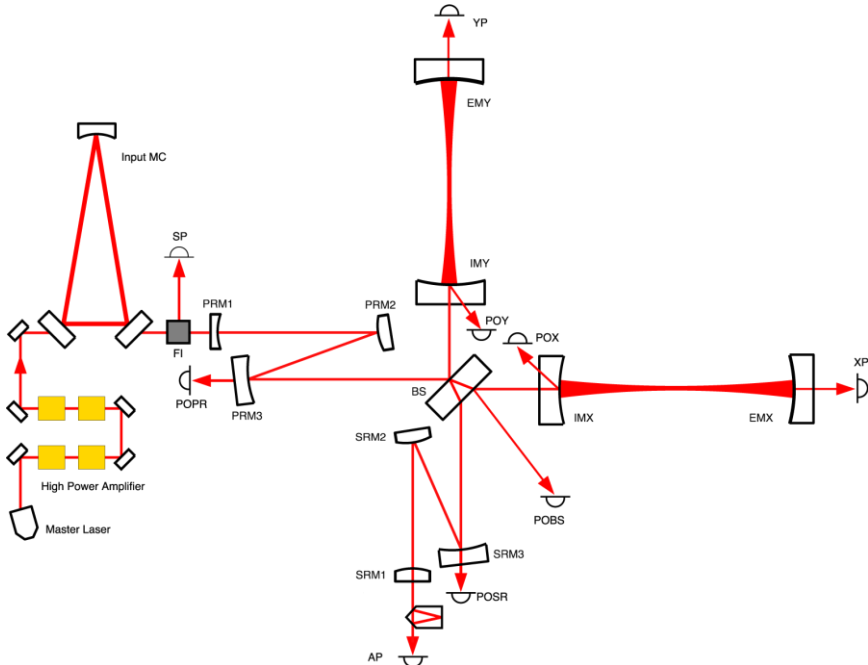
- 3rd generation detectors

- Einstein Telescope, US counterpart to ET

ADVANCED VIRGO (AdV)

PROJECT doelen

- Verbeter Virgo tot een 2nd generatie detector. Gevoeligheid: 10x beter dan Virgo
- Maak deel uit van 2nd generatie GW detectoren netwerk. Tijdslijn: verzamel data samen met Advanced LIGO



ANDERE GW PROJECTEN

ONDERGRONDSE DETECTOR IN KAMIOKA

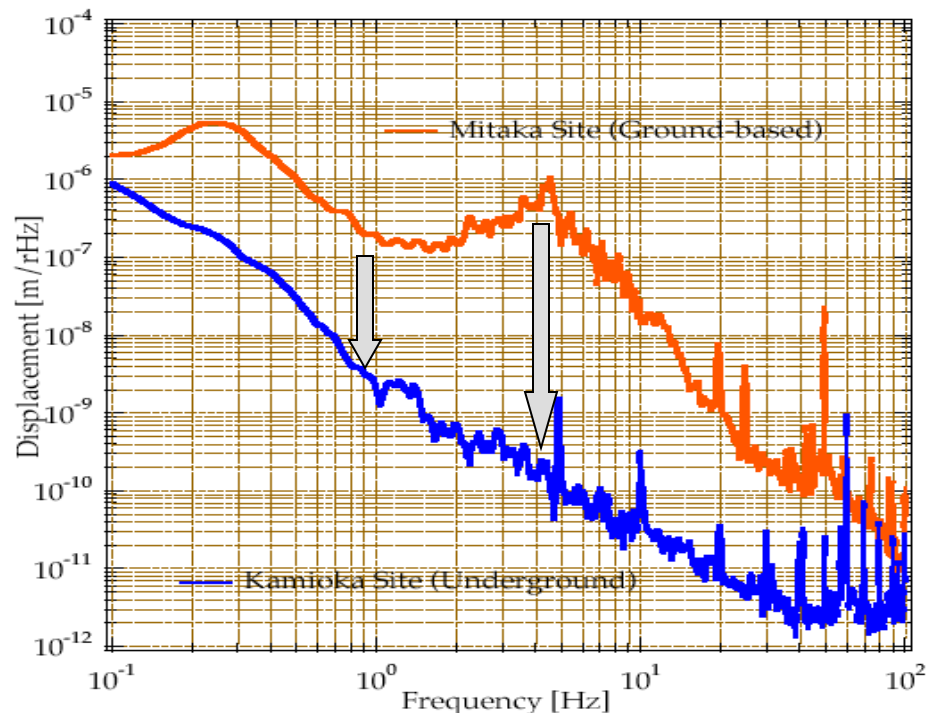


ERVARING: ONDERGRONDSE INTERFEROMETERS

- LISM: 20 m Fabry-Perot interferometer, R&D for LCGT, moved from Mitaka (ground based) to Kamioka (underground)
- Seismische ruis veel lager
- Bedrijf eenvoudiger

10² verbetering
10³ bij 4 Hz

	TAMA300	LISM (Sato)
Maximum Continuous Locking	24 hours (summer 2001)	170 hours (Spring 2001)
Duty Cycle	86% (for the 2001 summer run)	99.8% (for the last week of 2001 summer run)



EINSTEIN TELESCOPE

gravitational wave observatory

A black hole in space with gravitational waves radiating from it.

Design Study Proposal approved by EU within FP7
Large part of the European GW community involved
EGO, INFN, MPI, CNRS, Nikhef, Univ. Birmingham, Cardiff, Glasgow

Recommended in Aspera / Appec roadmap

ET WP1 – Infrastructure

- **Infrastructure: big cost items**

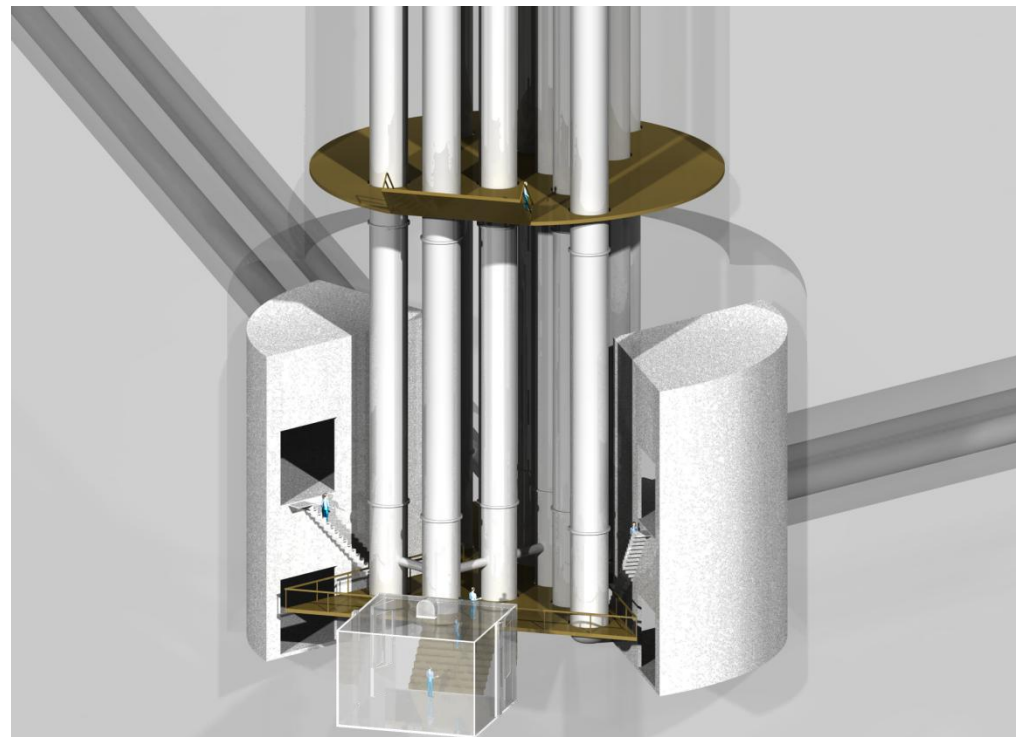
- Tunnels, caverns, buildings
 - Vacuum, cryogenics, safety systems
 - Collaborate with industry
 - COB (Amsterdam, October 9, 2008)
 - Saes Getters Italy
 - Demaco Netherlands

- **Input from WG2 & 3**

- Topology (Albrecht Ruediger)
 - Length of superattenuators

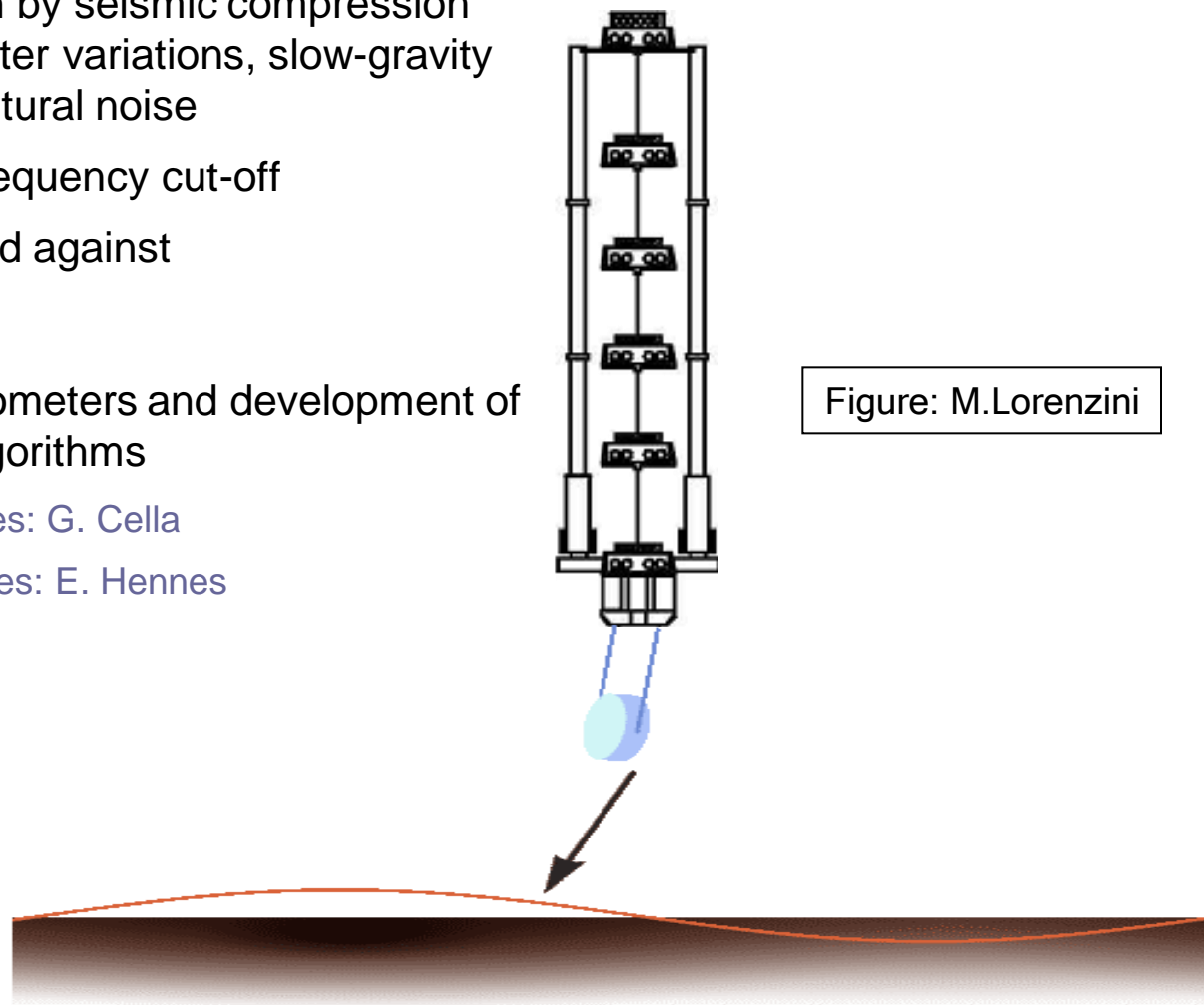
- **Experience**

- Virgo, GEO, Gran Sasso, Kamioka, LIGO, etc.

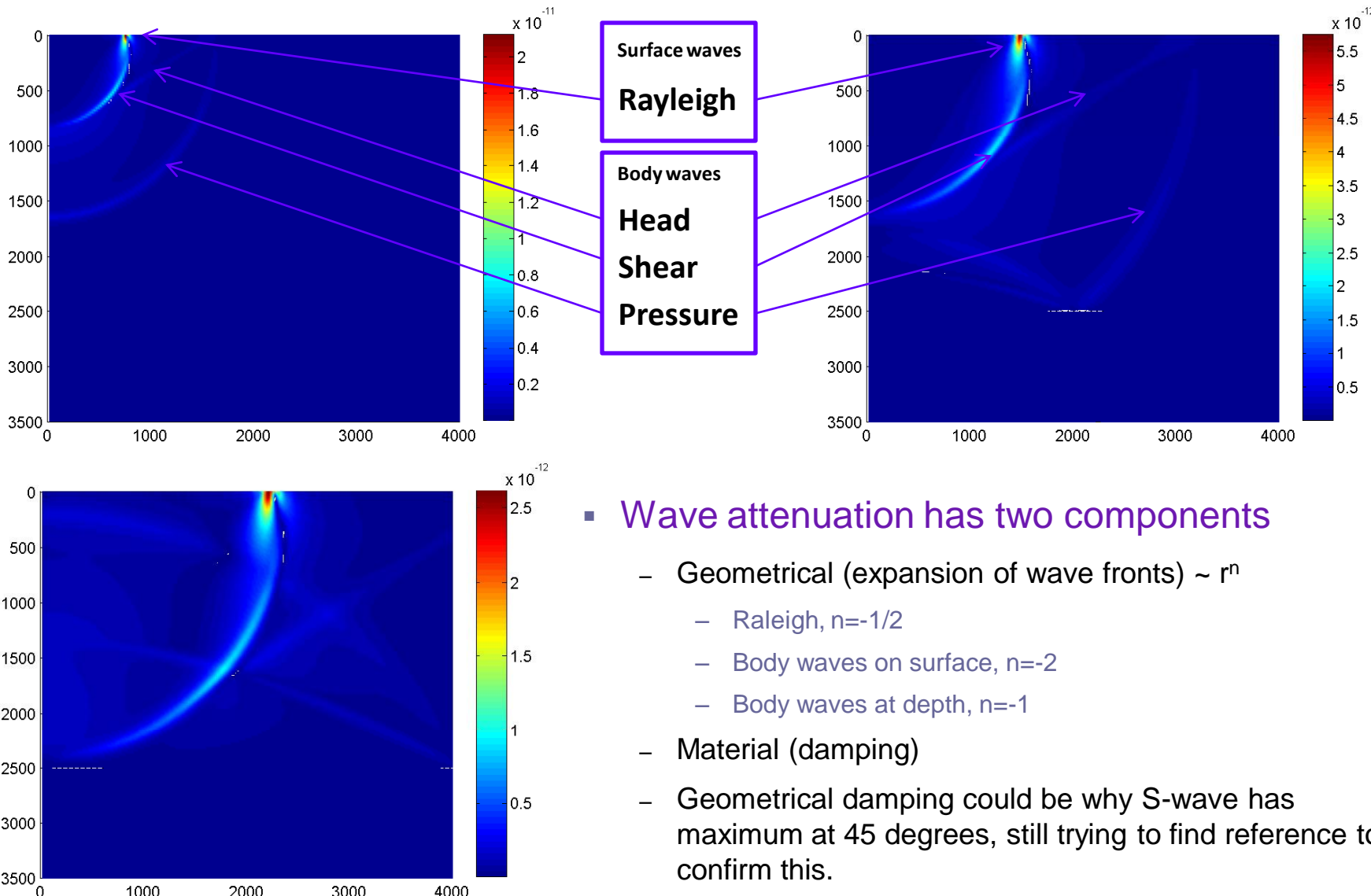


GRAVITY GRADIENT NOISE

- Gravity gradient noise
 - Time varying contributions to Newtonian background driven by seismic compression waves, ground-water variations, slow-gravity drifts, weather, cultural noise
 - Determines low-frequency cut-off
 - Cannot be shielded against
- Counter measures
 - Network of seismometers and development of data correction algorithms
 - Analytical studies: G. Cella
 - Numerical studies: E. Hennes



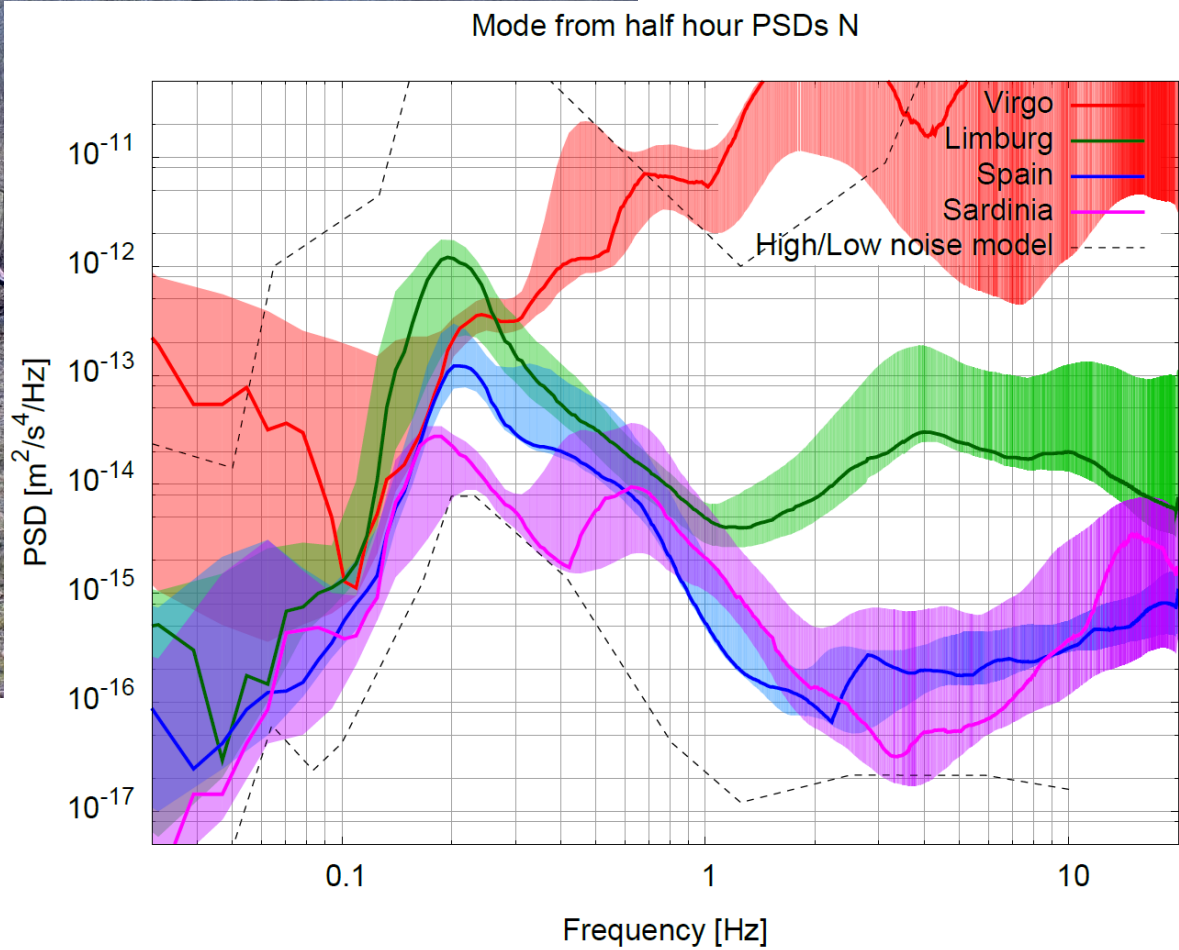
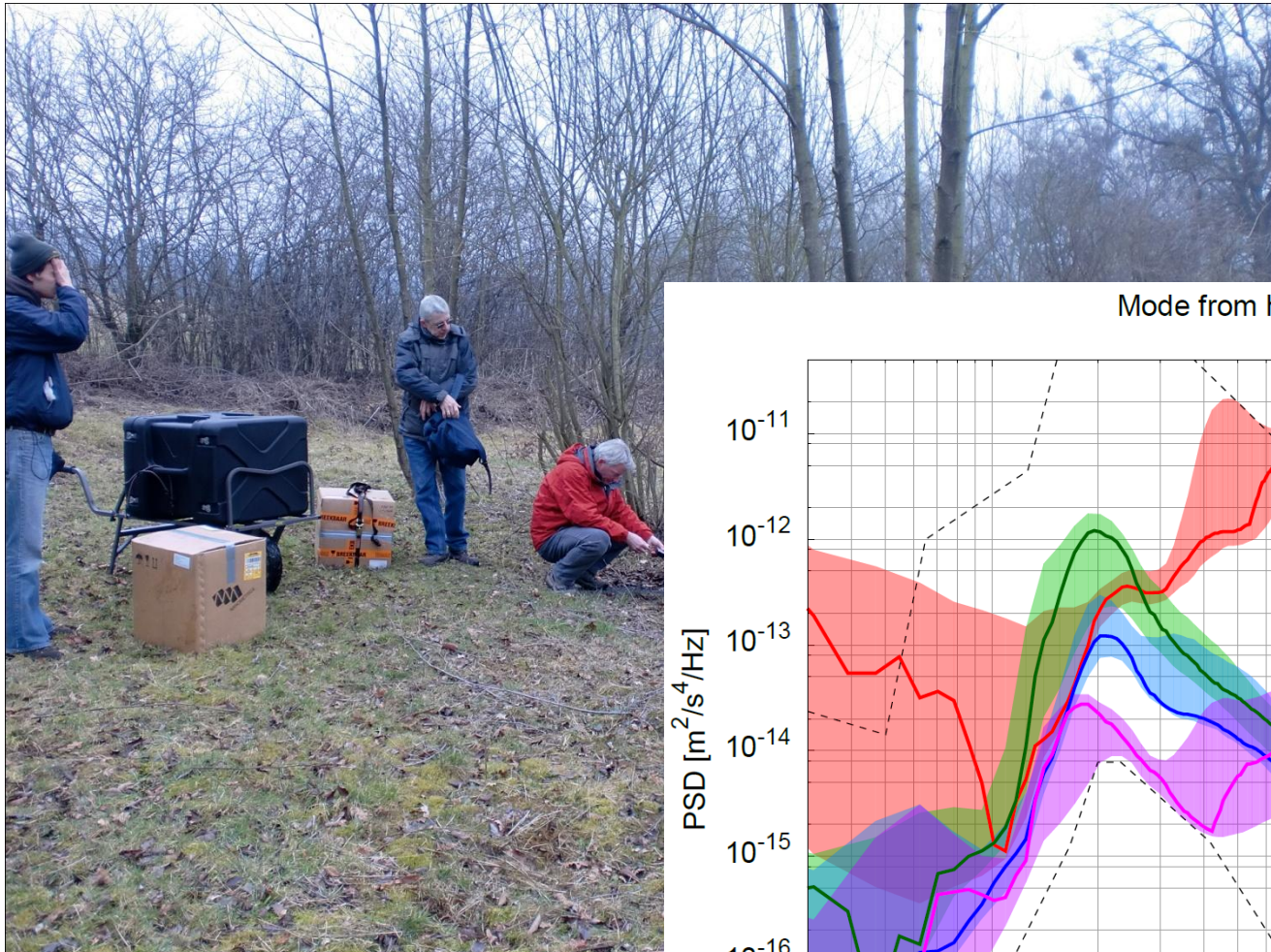
Surface (Rayleigh) and body (P/S/Head) waves as a result of vertical point source load



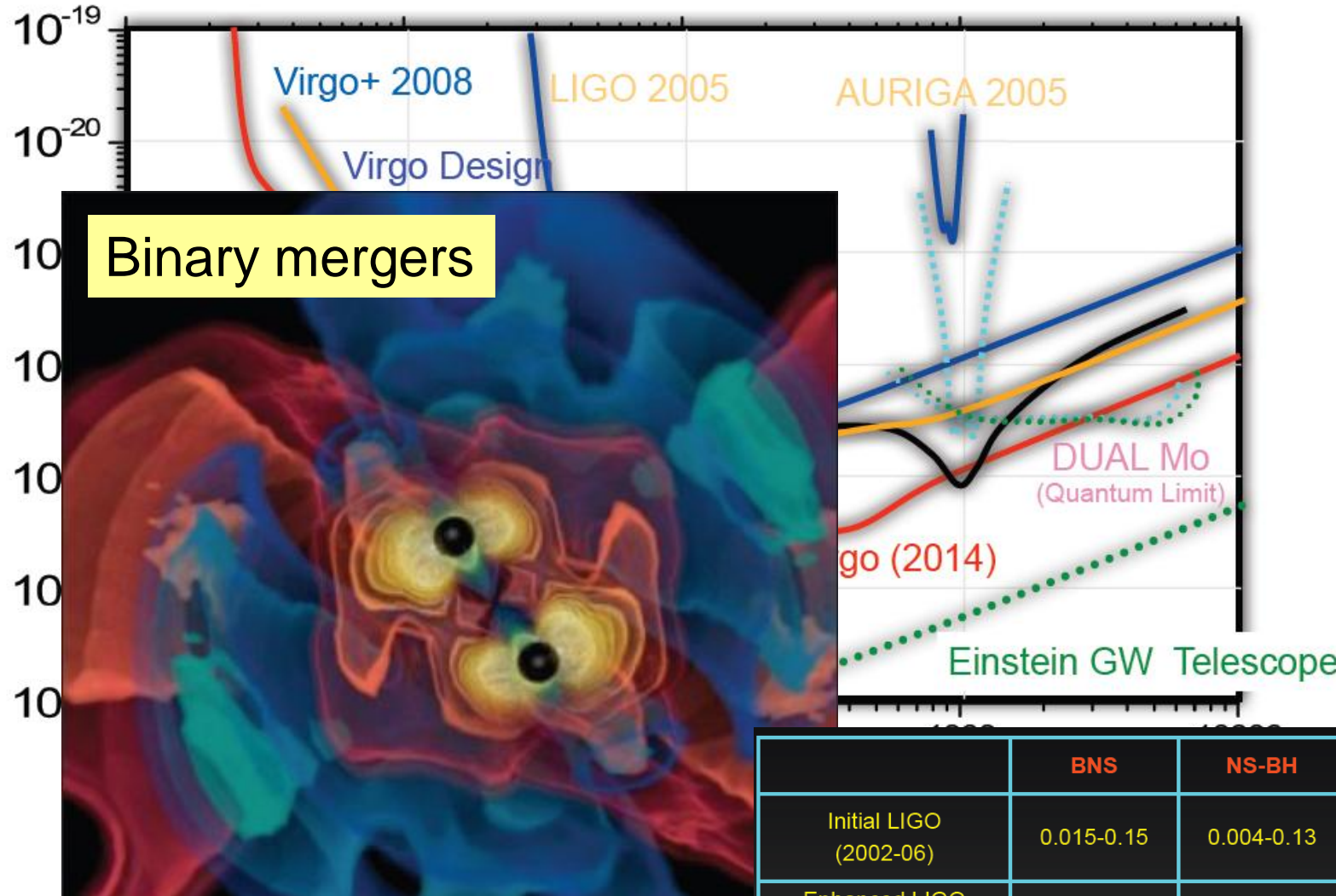
SEISMISCH ONDERZOEK



SEISMISCH ONDERZOEK (MET KNMI)



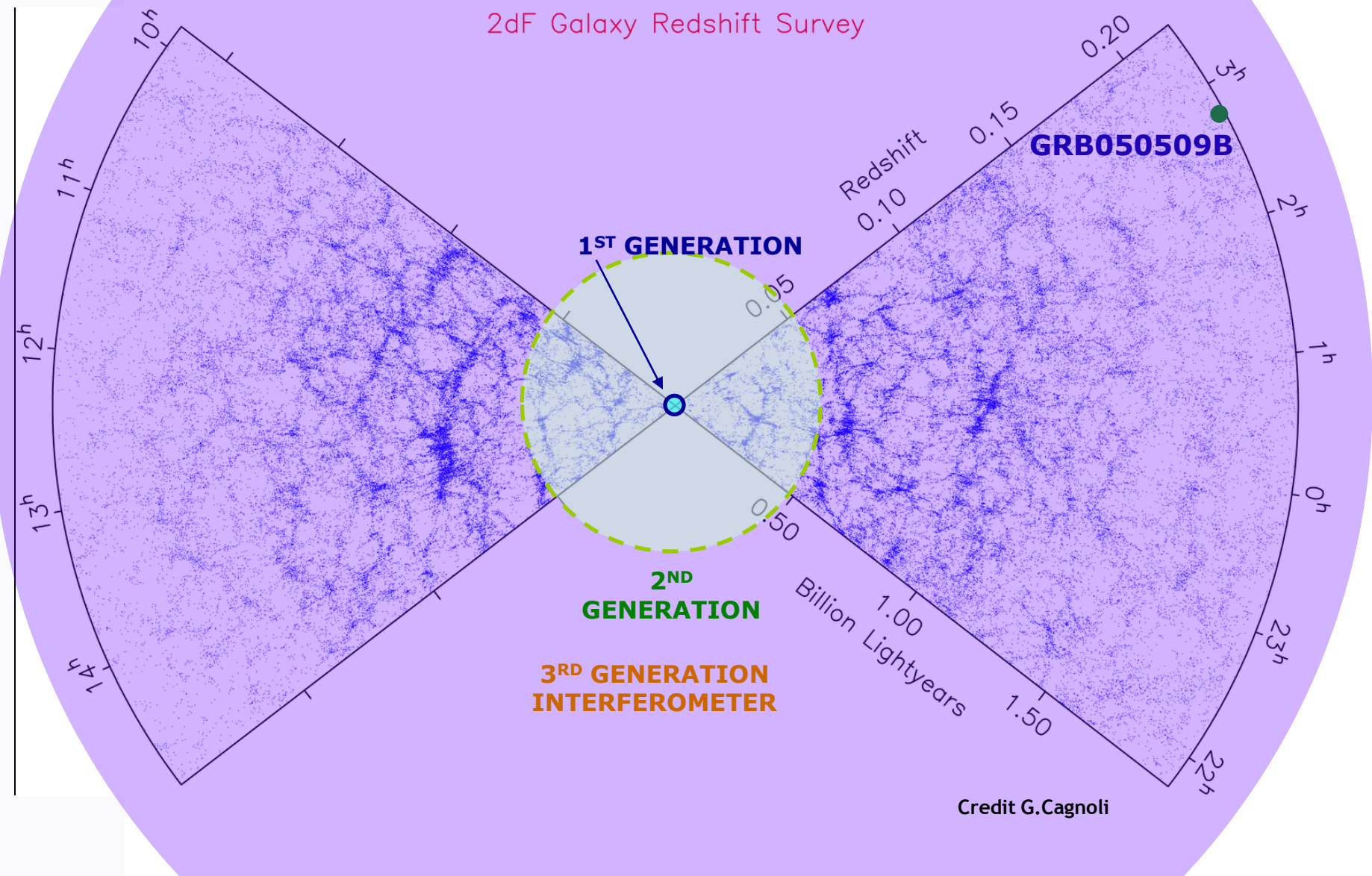
EXPECTED SENSITIVITIES – RATES



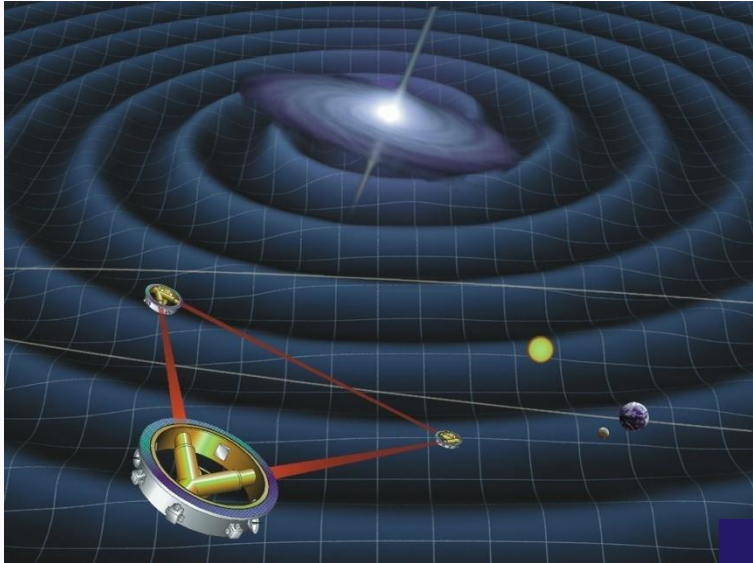
Einstein Telescope: ~1000 per day
GW observatory

	BNS	NS-BH	BBH
Initial LIGO (2002-06)	0.015-0.15	0.004-0.13	0.01-1.7
Enhanced LIGO $x2$ sensitivity (2009-10)	0.15-1.5	0.04-1.4	0.11-18
Advanced LIGO $x2$ sensitivity (2014+)	20-200	5.7-190	16-2700

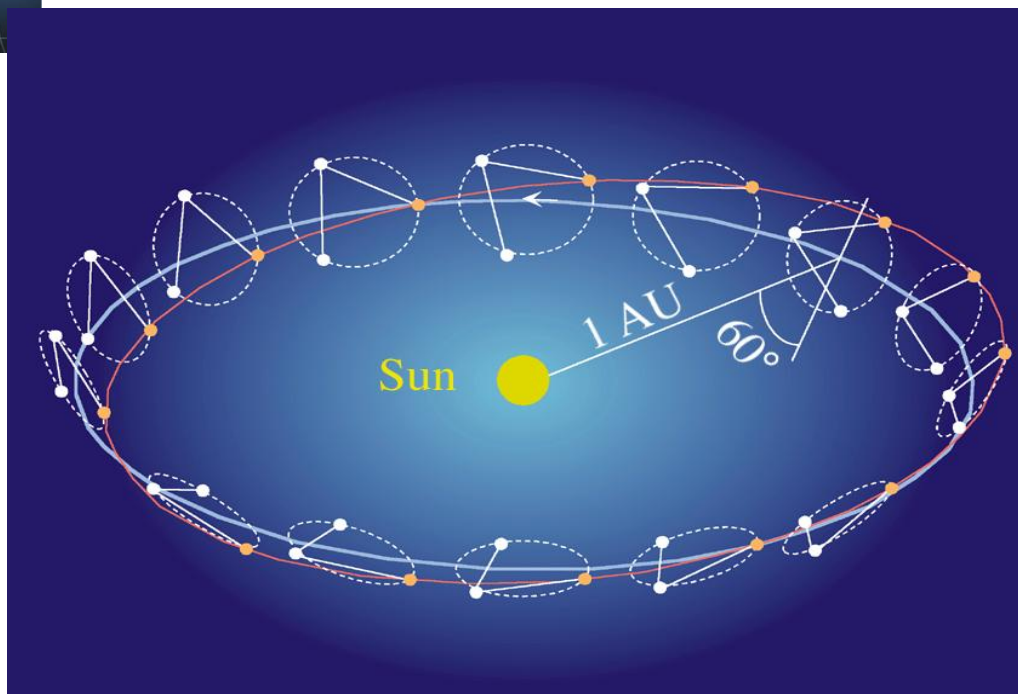
NS - NS INSPIRAL RANGE



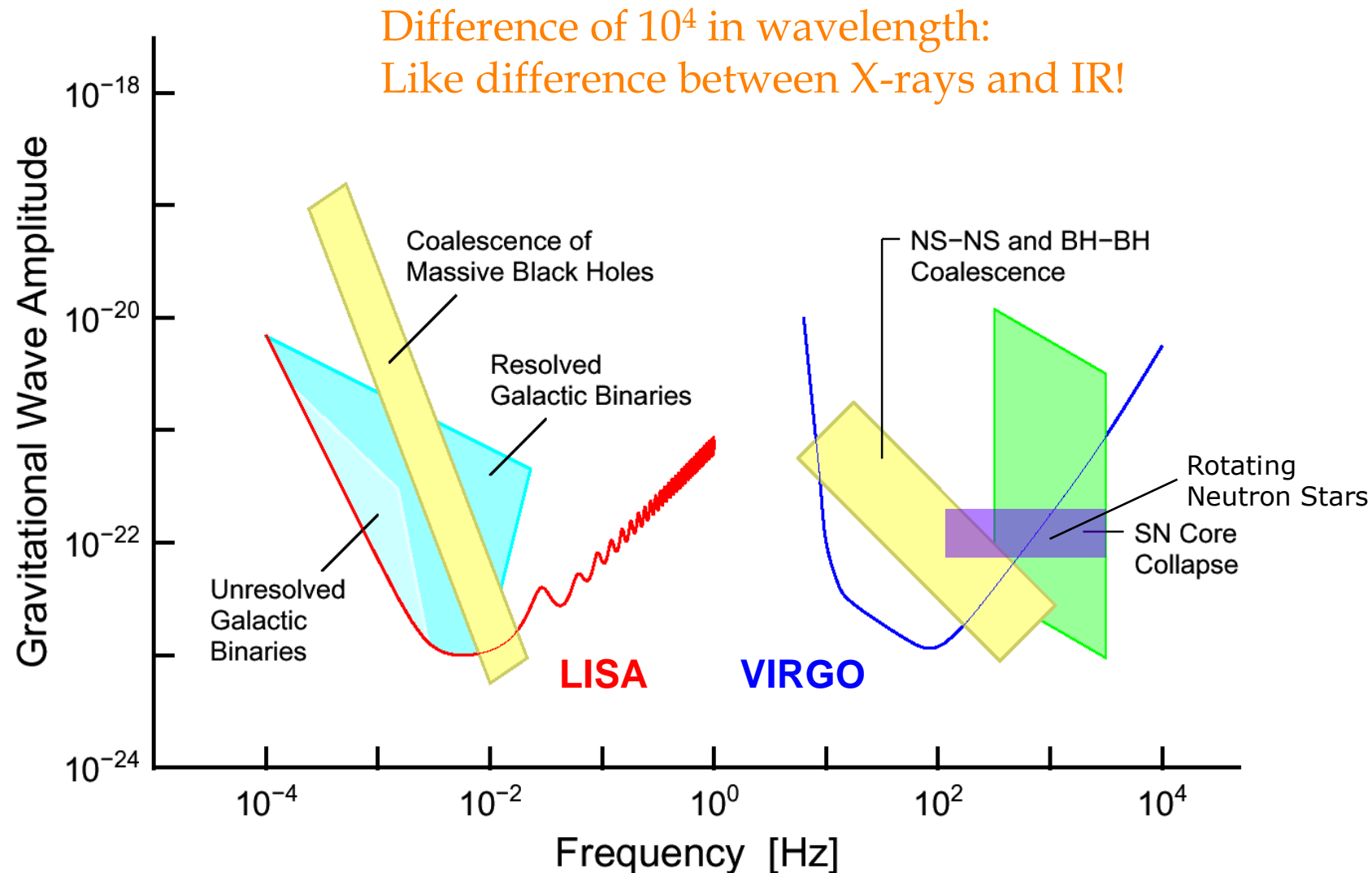
GRAVITATIONAL WAVE ANTENNA IN SPACE - LISA



- 3 spacecraft in Earth-trailing solar orbit separated by 5×10^6 km.
- Measure changes in distance between fiducial masses in each spacecraft
- Partnership between ~~NASA~~ and ESA
- Launch date > 2020

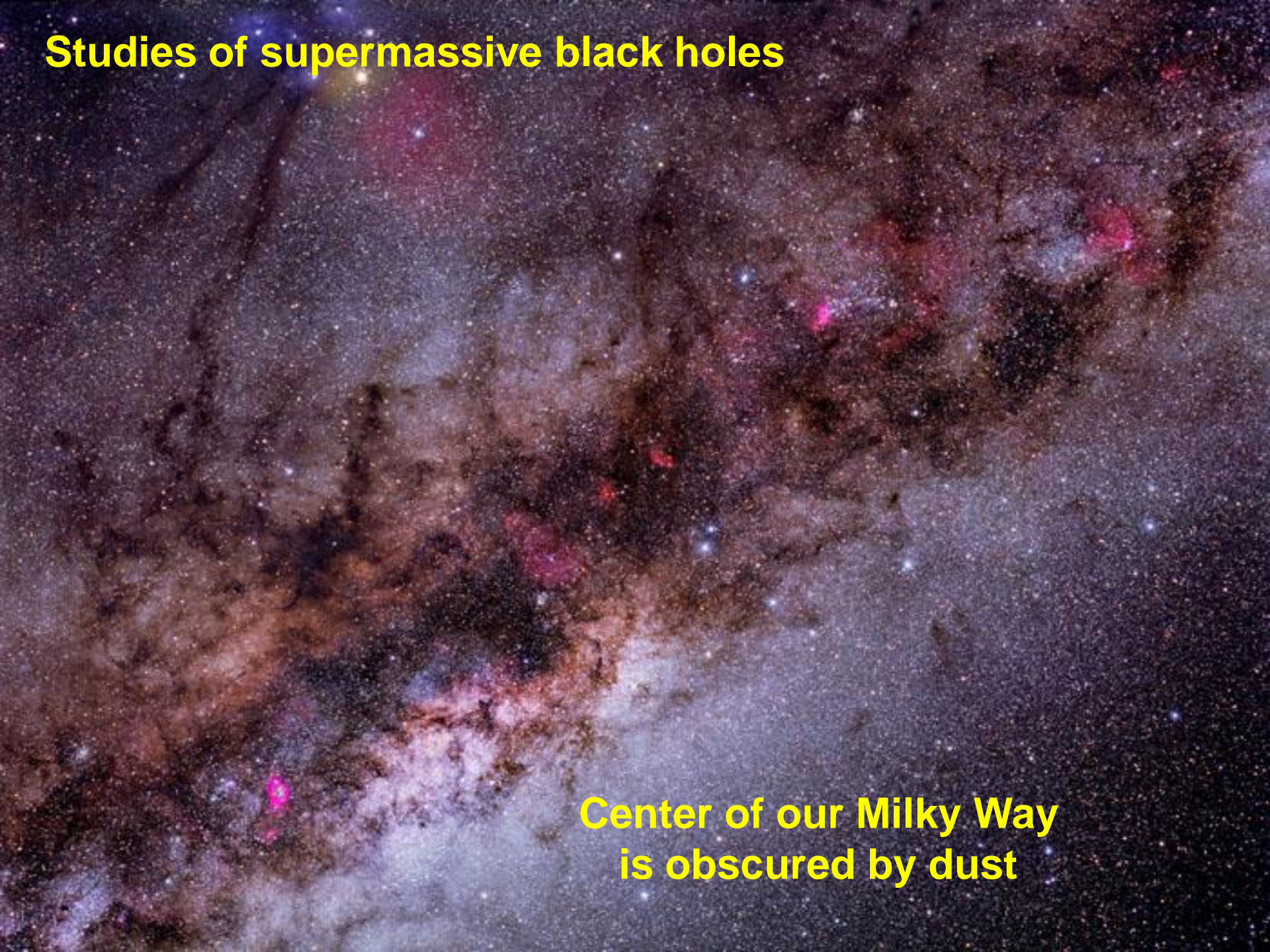


COMPLEMENTARITY OF SPACE- & GROUND-BASED DETECTORS



LISA will see all the compact white-dwarf and neutron-star binaries in the Galaxy (Schutz)

Studies of supermassive black holes



**Center of our Milky Way
is obscured by dust**

Combined 2MASS-MSX View of the Galactic Center

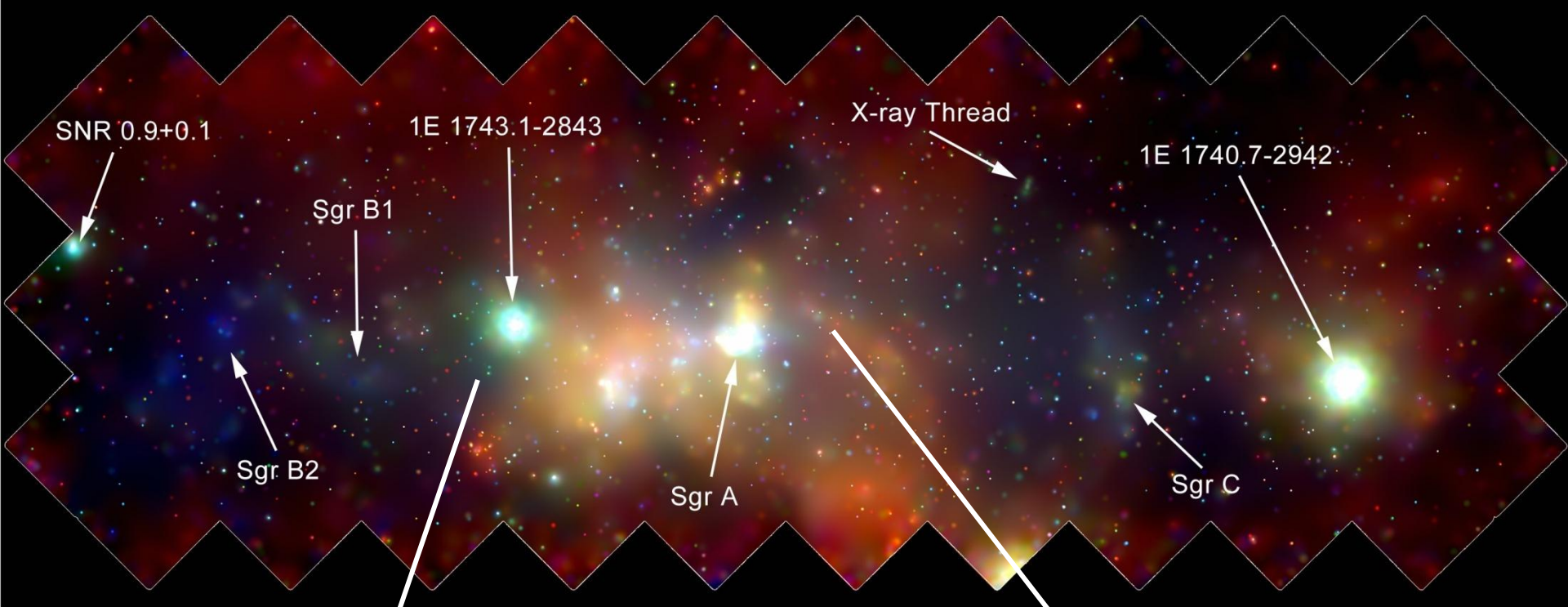


Two Micron All Sky Survey
– Southern Facility –
2MASS Atlas Image Mosaic
Infrared Processing and Analysis Center & University of Massachusetts

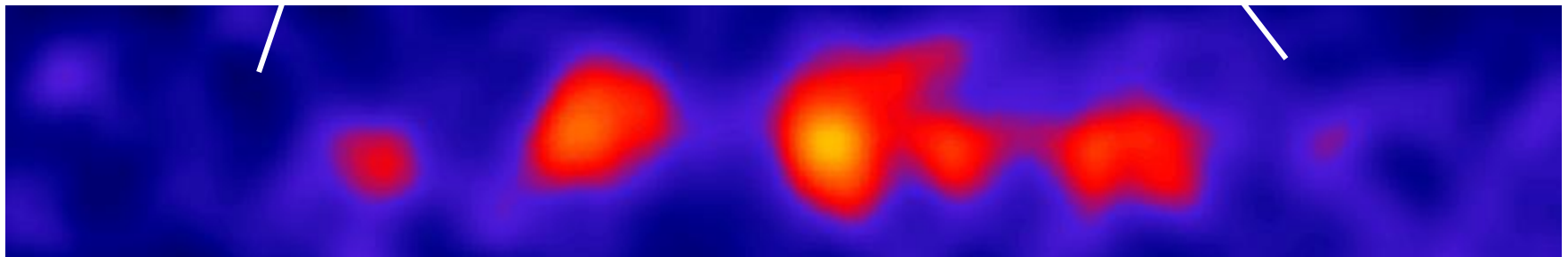


Midcourse Space Experiment
SPIRIT III

Infrared telescopes peer through the dust



Röntgen radiation



Gamma radiation

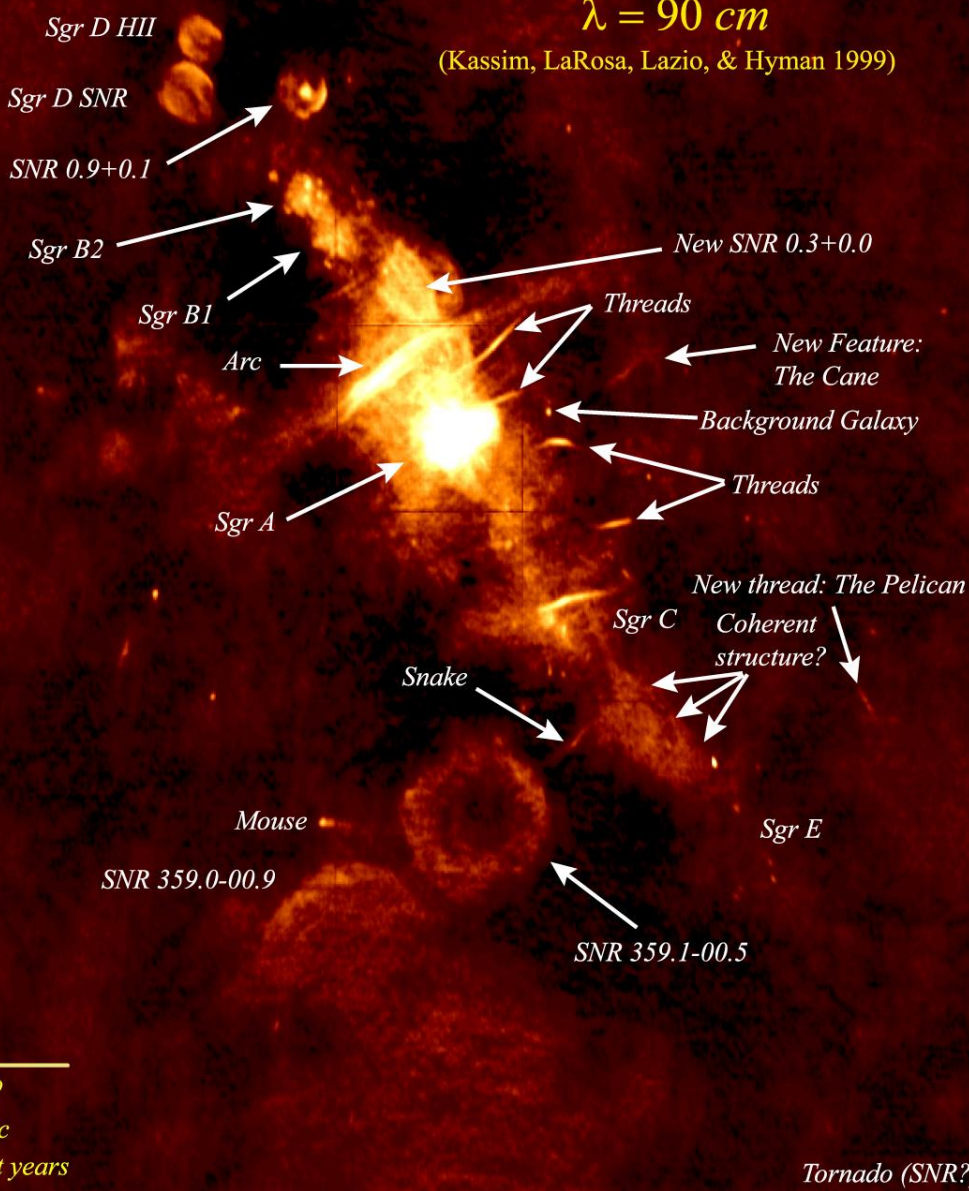


Naval Research Laboratory

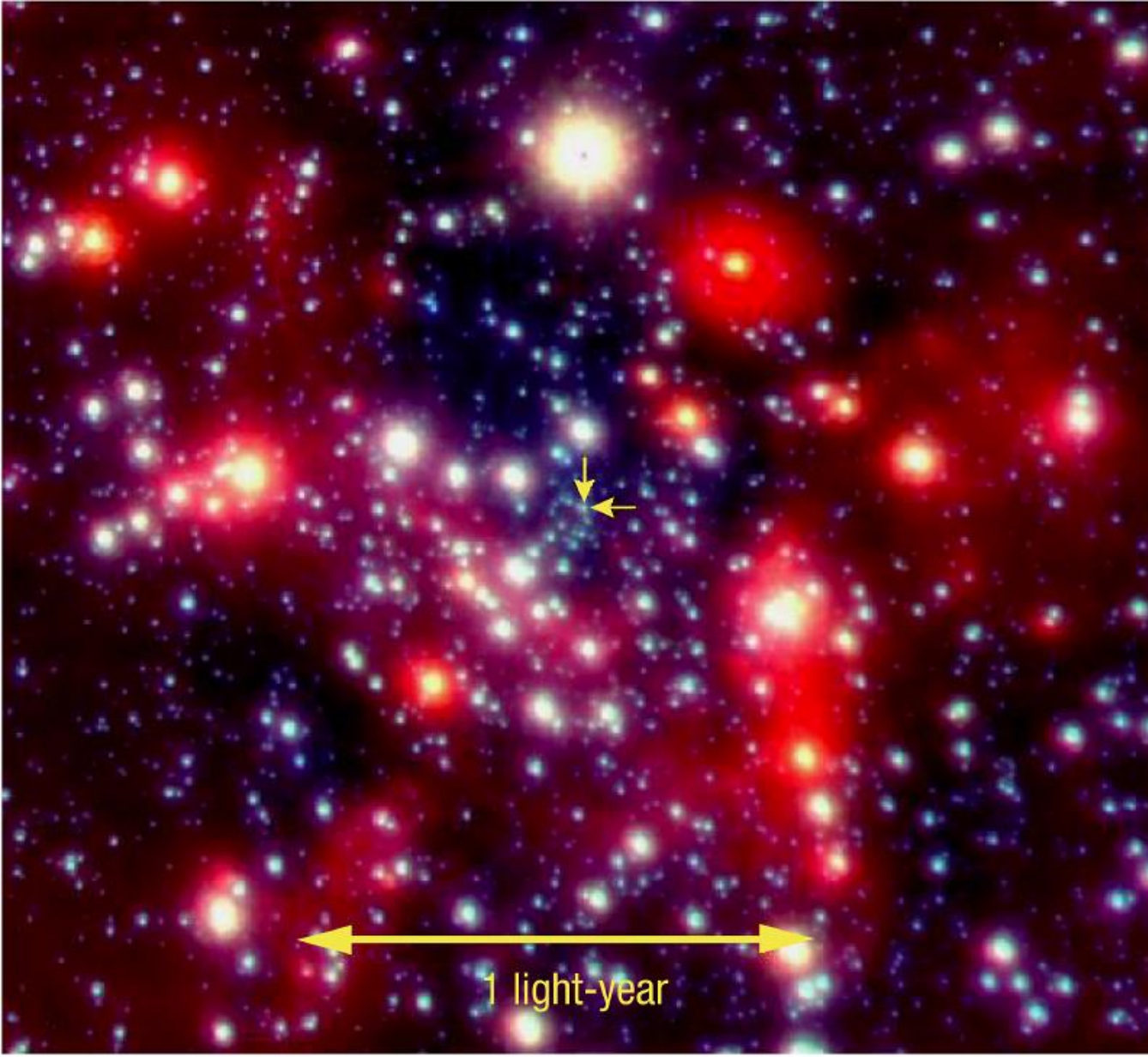
Wide-Field Radio Image of the Galactic Center

$\lambda = 90\text{ cm}$

(Kassim, LaRosa, Lazio, & Hyman 1999)



Radio image



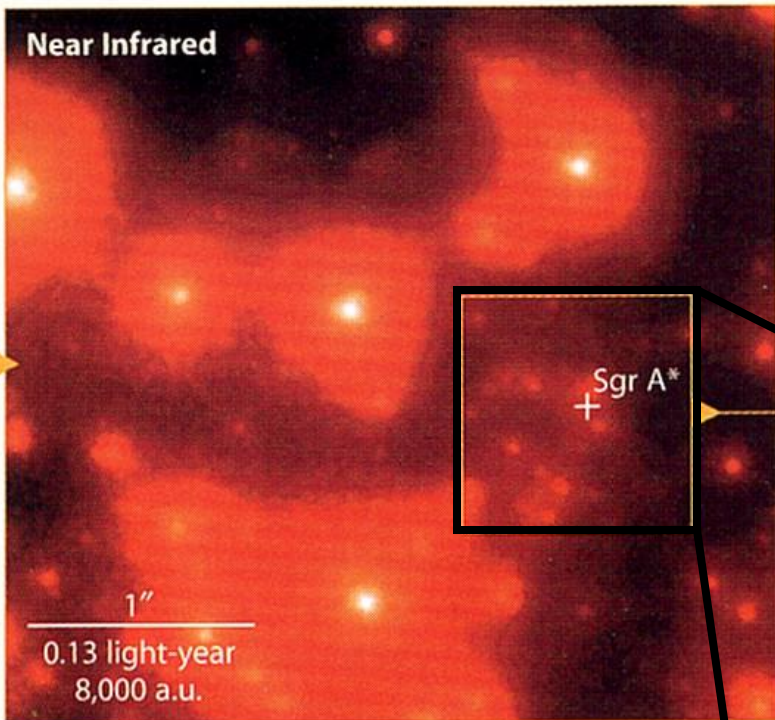
The Centre of the Milky Way
(VLT YEPUN + NACO)

ESO PR Photo 23a/02 (9 October 2002)

© European Southern Observatory



Near Infrared

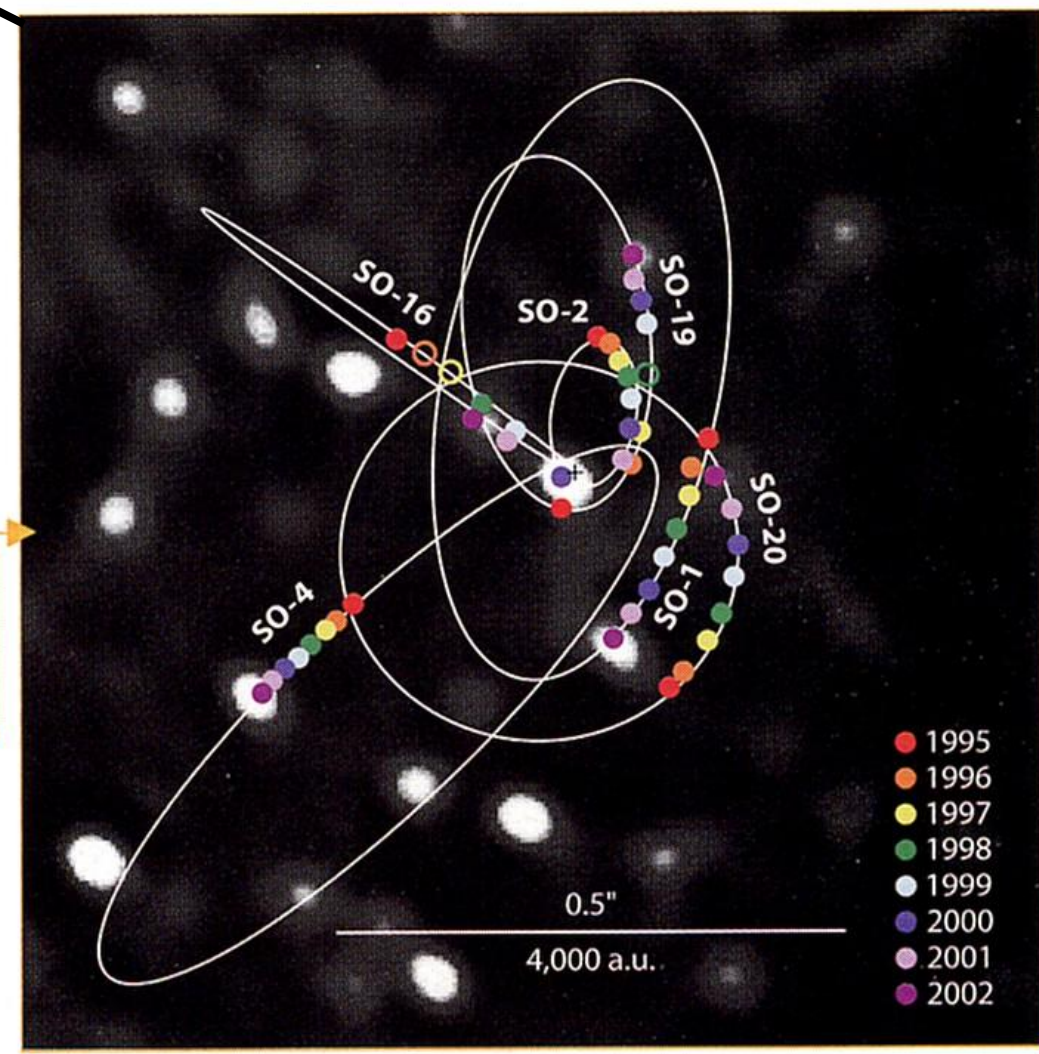


DENNIS the MENACE

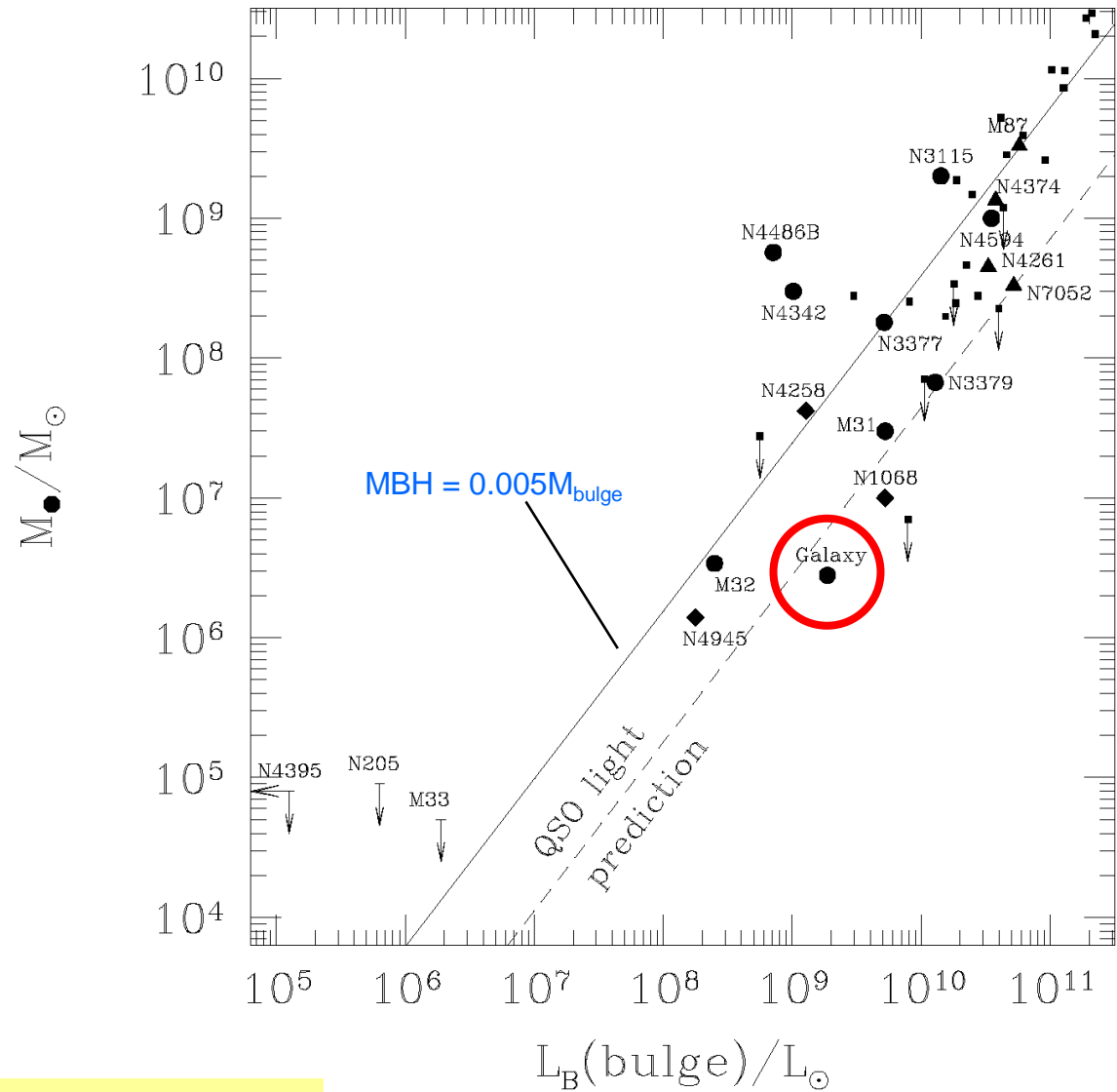
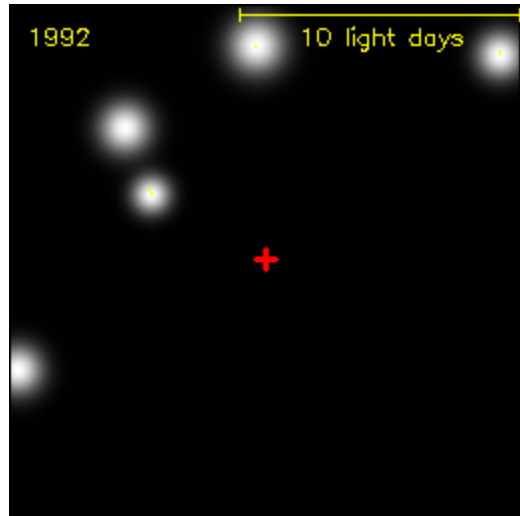


"LOTS OF THINGS ARE INVISIBLE, BUT WE DON'T
KNOW HOW MANY BECAUSE WE CAN'T SEE THEM."

Banen van sterren in de directe
omgeving van Sagittarius A*



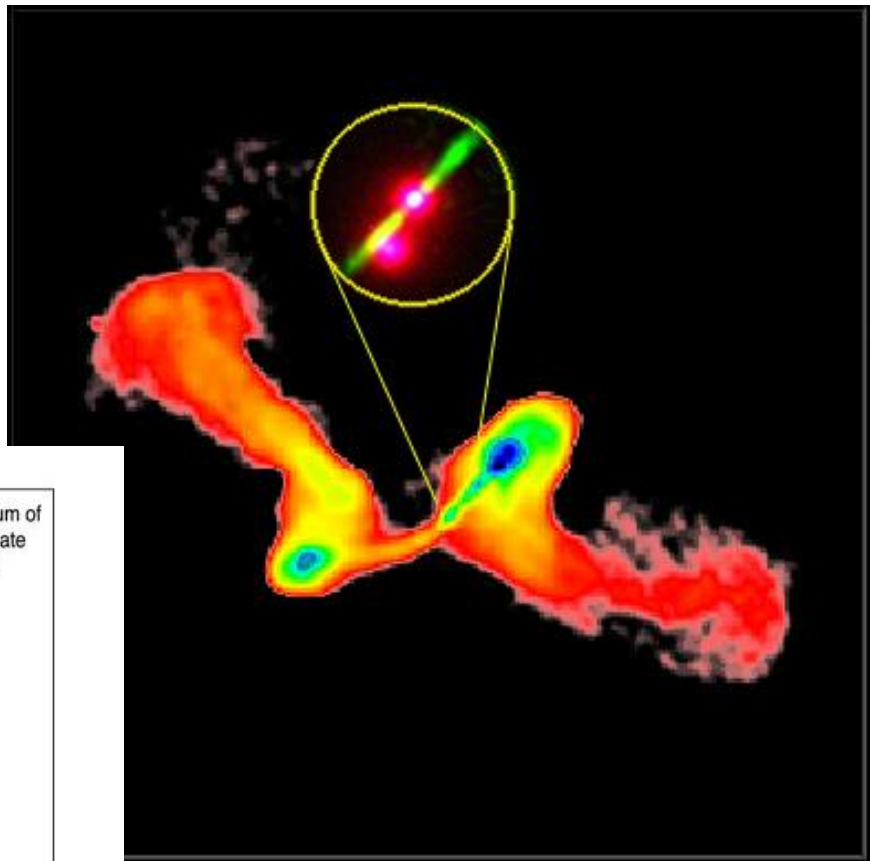
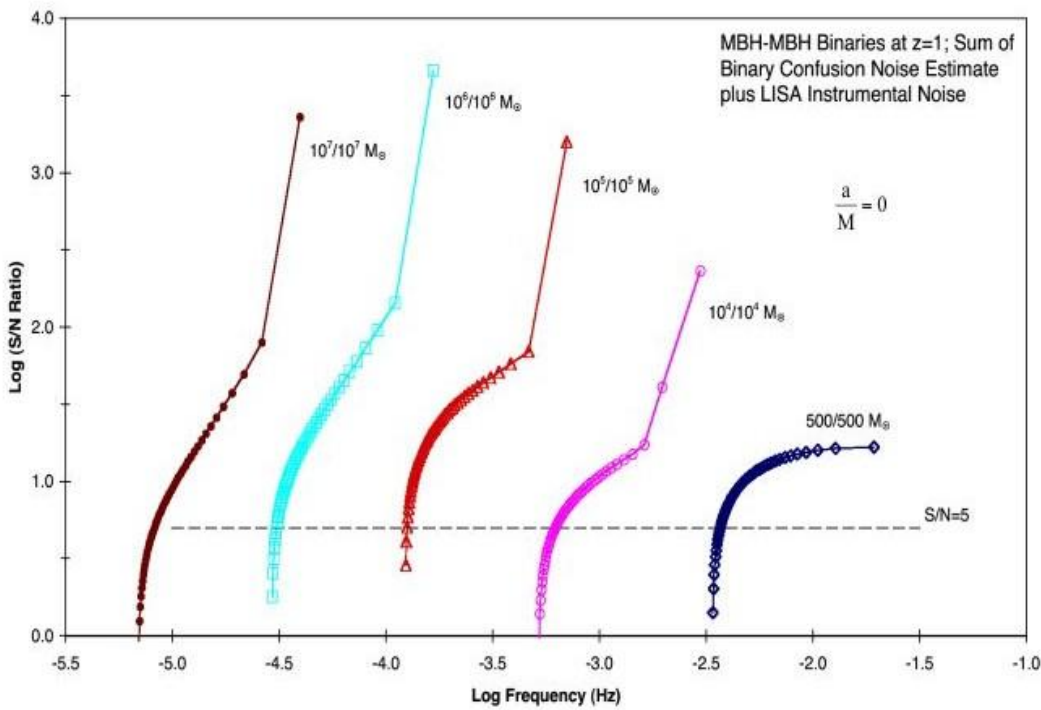
MASSIVE BLACK HOLE MERGERS



Maar smelten ze samen?

MASSIVE BLACK HOLE MERGERS

- Several observed phenomena may be attributed to MBH binaries or mergers
 - X-shaped radio galaxies (see figure)
 - Periodicities in blazar light curves (e.g. OJ 287)



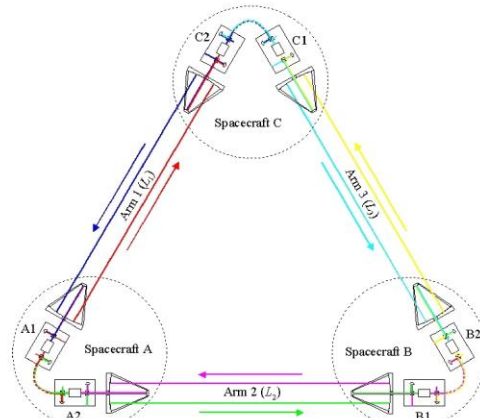
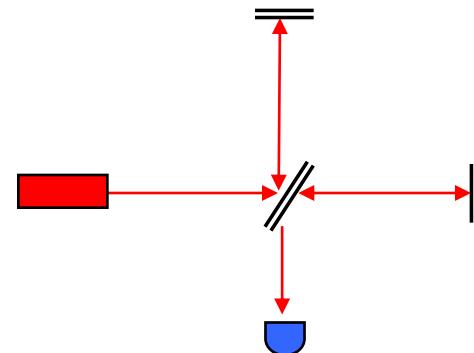
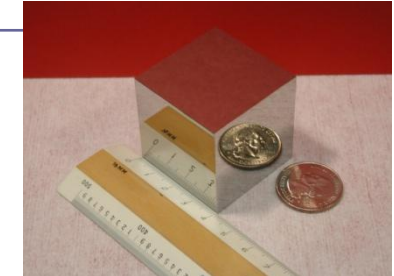
[Merritt and Ekers, 2002]

LISA INTERFEROMETRY

- “LISA is essentially a Michelson Interferometer in Space”

- However

- No beam splitter
- No end mirrors
- Arm lengths are not equal
- Arm lengths change continuously
- Light travel time ~ 17 seconds
- Constellation is rotating and translating in space

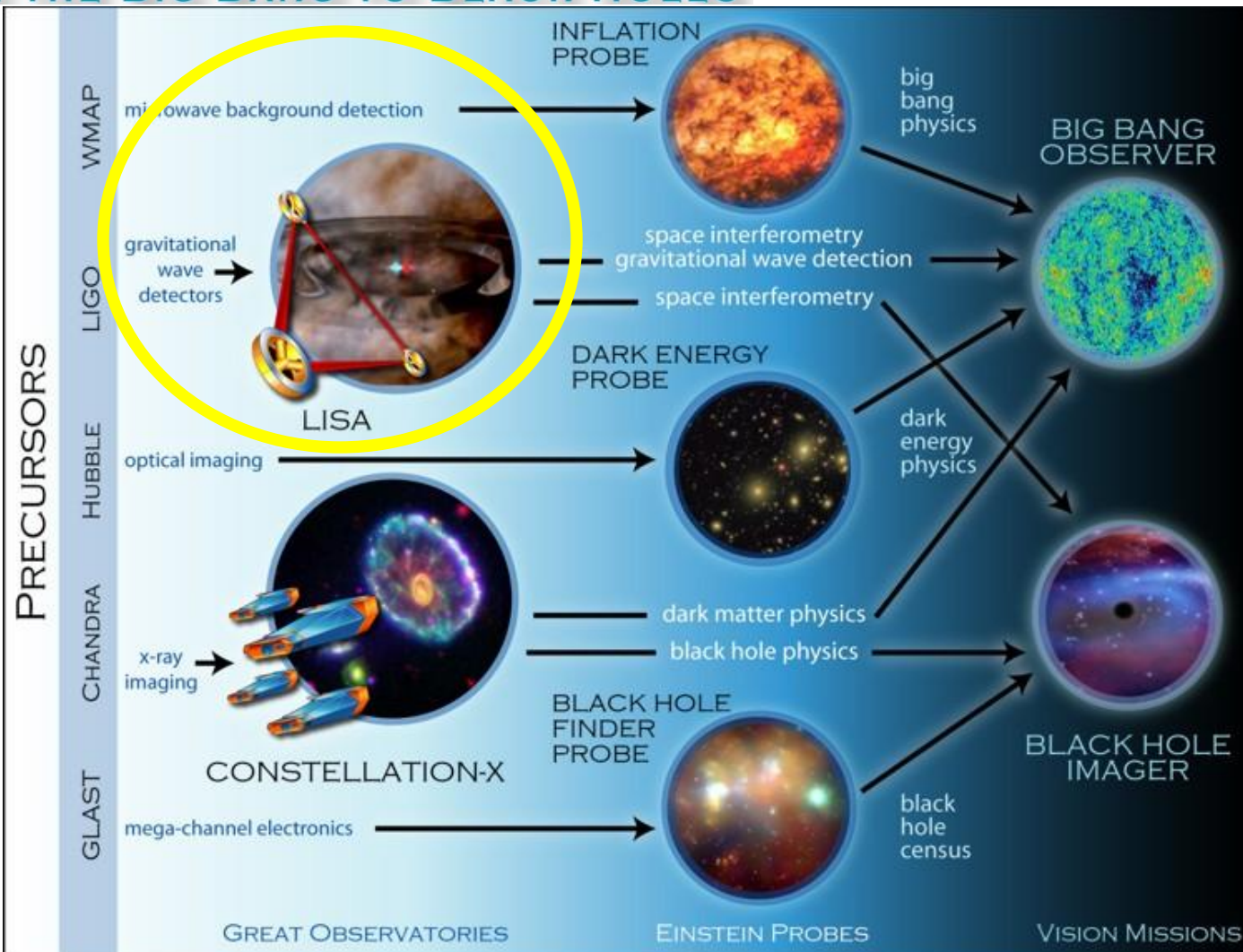




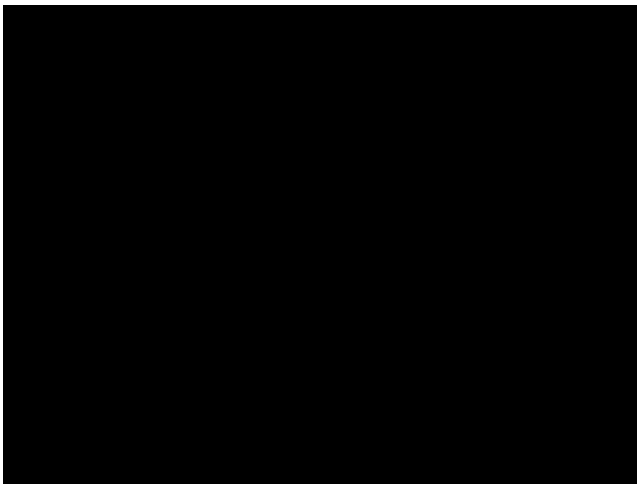
BEYOND EINSTEIN

FROM THE BIG BANG TO BLACK HOLES

LOI to ESA – LISA analysis
Nikhef, VU, RUN and SRON
Netherlands: Bulten/Nelemans



VIDEO



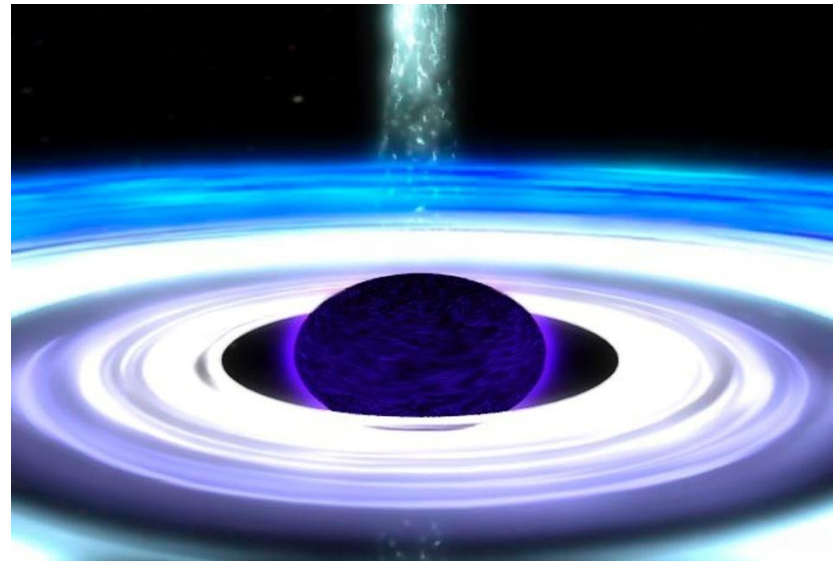
WETENSCHAPPELIJKE DOELSTELLING



WAT GEBEURT ER AAN DE RAND VAN EEN ZWART GAT?



Chandra – Elk punt van x-ray
licht is een zwart gat!

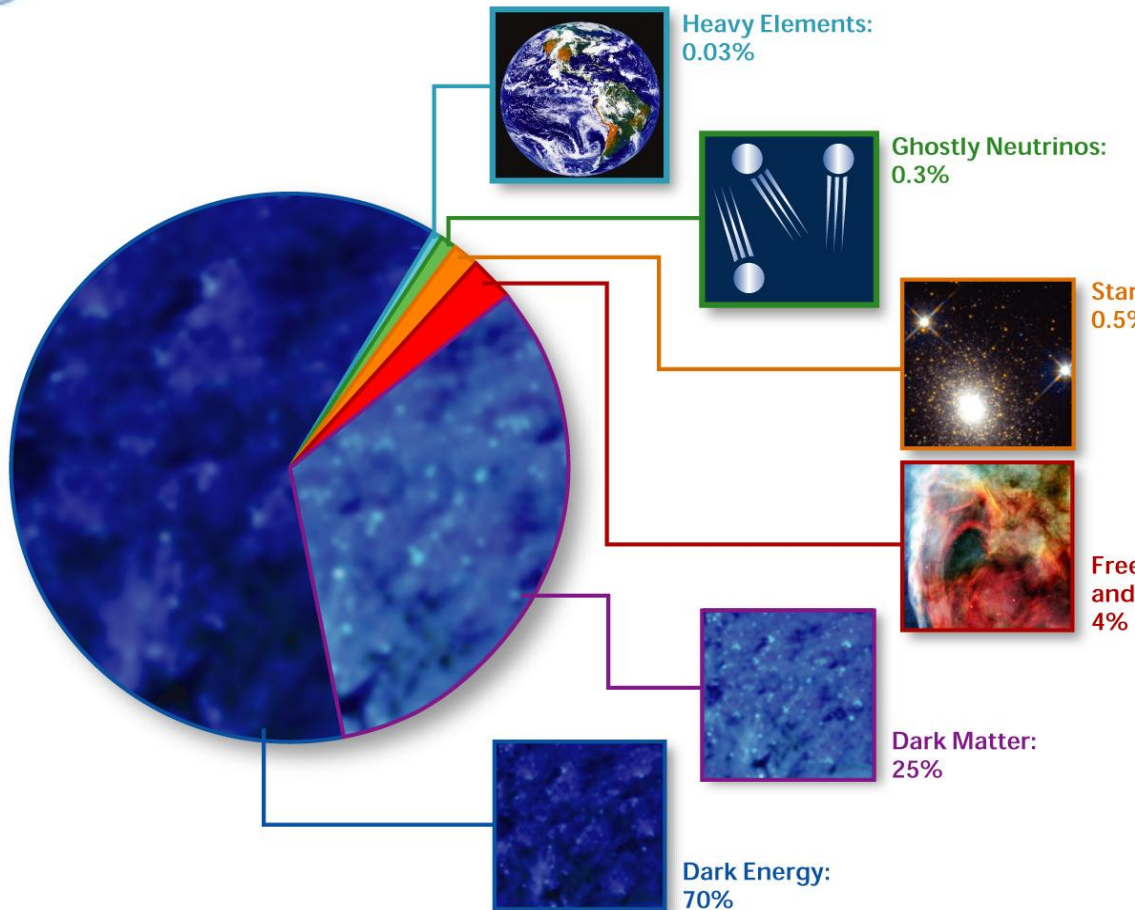


Is Einsteins theorie nog
steeds correct onder deze
extreme condities? Of wacht
ons nieuwe fysica?

WETENSCHAPPELIJKE DOELSTELLING



WAT IS DIE MYSTERIEUZE DONKERE ENERGIE DIE HET HEELAL UITEEN TREKT?



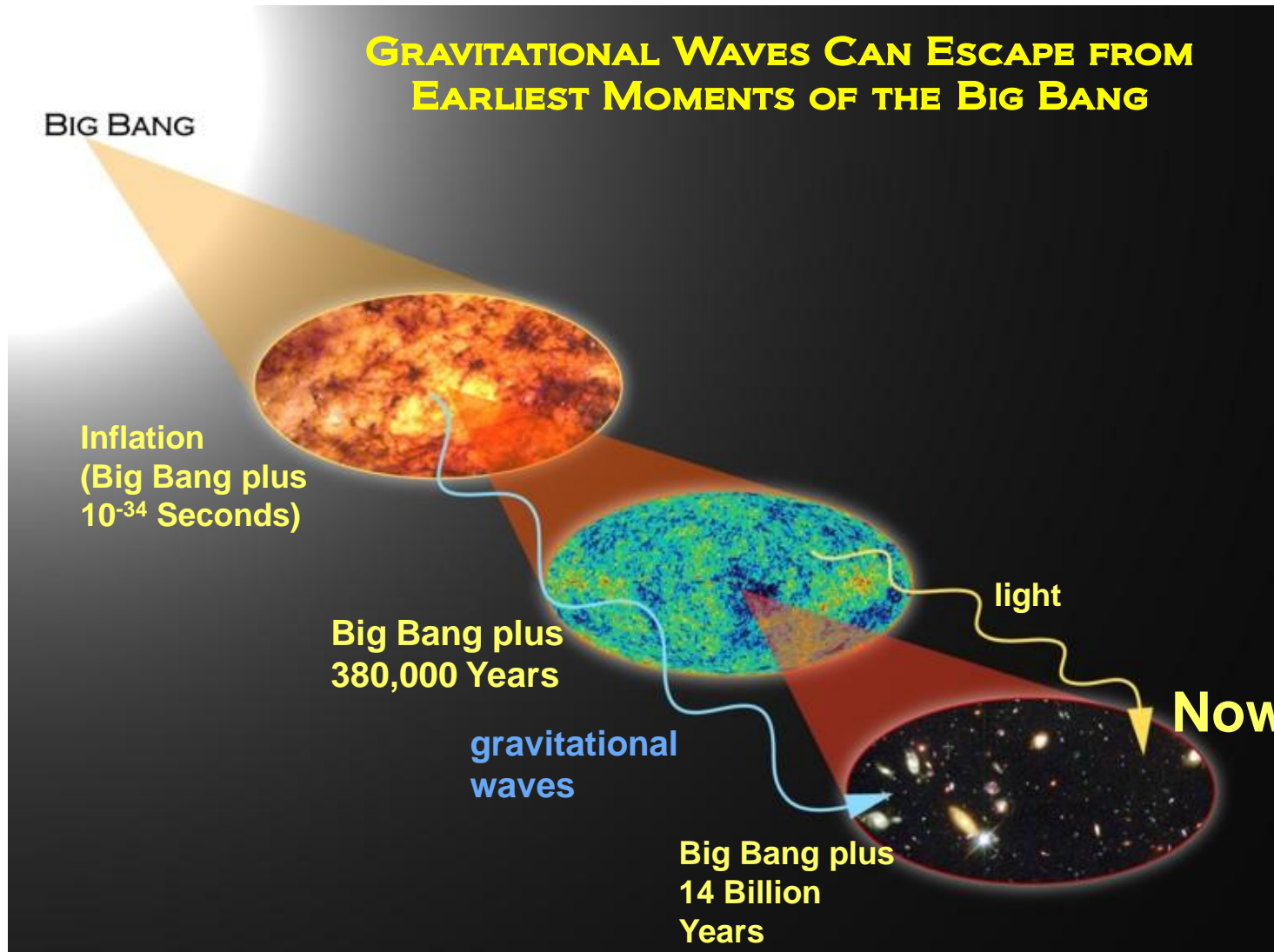
**WE WETEN NIET
WAAR 95% VAN HET
UNIVERSUM UIT
BESTAAT!**

DONKERE ENERGIE EN MATERIE VEROORZAKEN GRAVITIE

WETENSCHAPPELIJKE DOELSTELLING

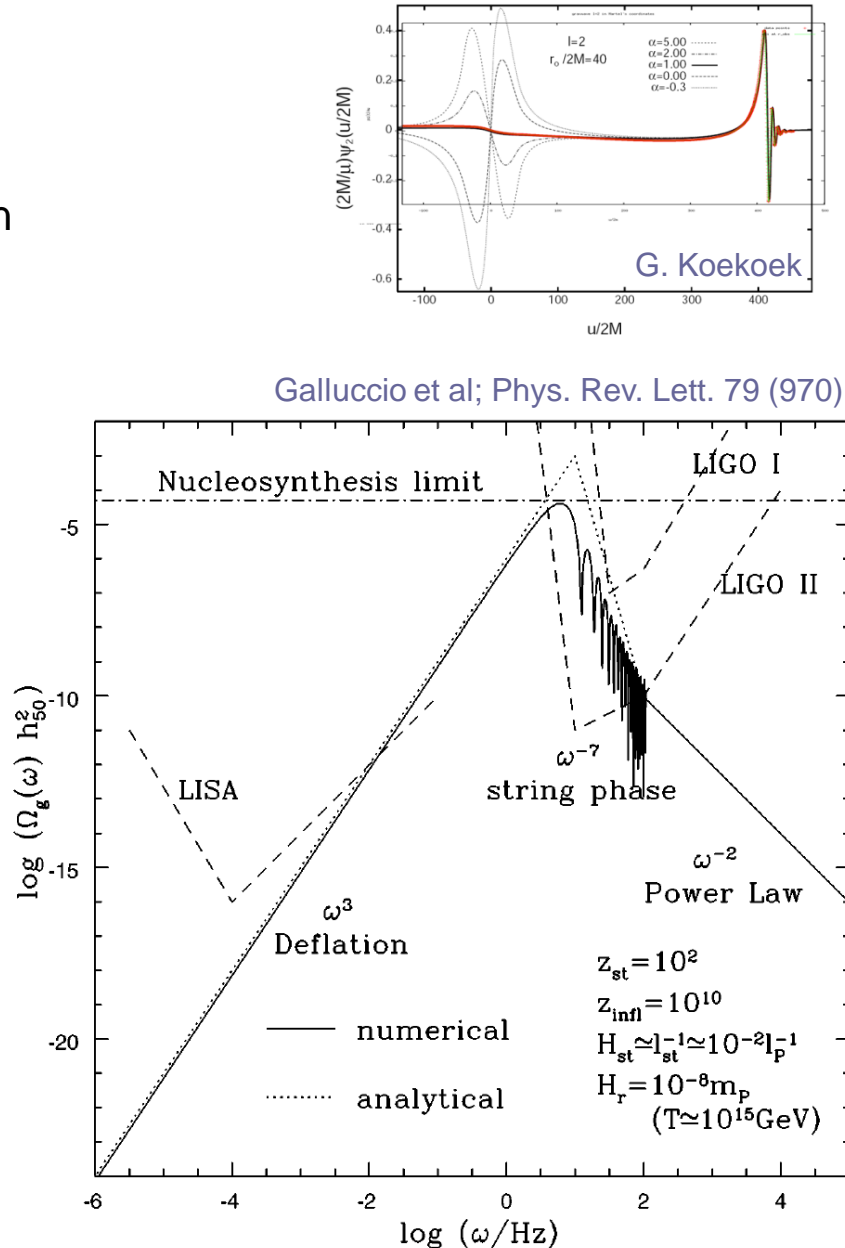
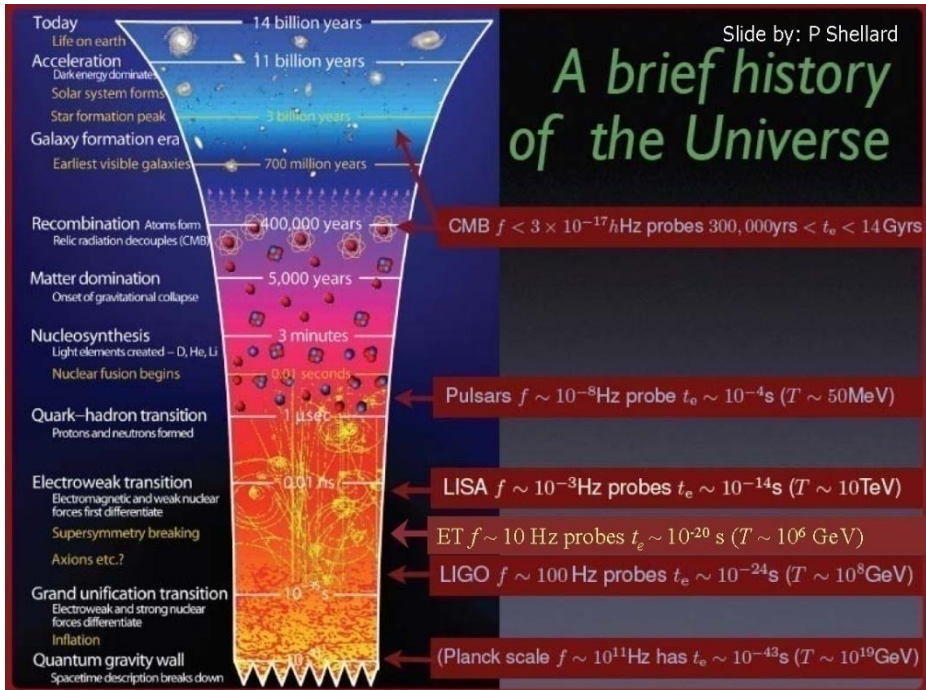


WAT GEBEURDE ER TEN TIJDE VAN DE OERKNAL?



SIGNALEN VAN INFLATIE EN FASE OVERGANGEN

- Theoretische (astro)deeltjes fysica gemeenschap
 - GW, inflatie, string theorie, kosmische defecten
- Maak templates, spectra, etc.
 - Zoek naar signalen in Virgo – LIGO data



SAMENVATTING

- **Gravitatiegolf fysica**
 - Onderdeel van het Nederlands Astrodeeltjes fysica initiatief
 - Een nieuw fysica programma
 - Belangrijke vragen
 - Lange termijn perspectief
- **VIRGO en LIGO**
 - Gevoeligheid wordt snel beter
 - Eerste wetenschappelijke metingen afgesloten
 - Advanced Virgo project is net gestart